

Markus Kivioja

**Hyperspektrikuvantaminen fotometrisessä stereossa ja sen
hyödyntäminen tietokonegrafiikassa**

Tietotekniikan pro gradu -tutkielma

10. kesäkuuta 2017

Jyväskylän yliopisto

Tietotekniikan laitos

Tekijä: Markus Kivioja

Yhteystiedot: mailkivi@jyu.fi

Ohjaajat: Ilkka Pölönen, Matti Eskelinen ja Tuomo Rossi

Työn nimi: Hyperspektrikuvantaminen fotometrisessä stereossa ja sen hyödyntäminen tietokonegraafiikassa

Title in English: Hyperspectral imaging in photometric stereo and its utilization in computer graphics

Työ: Pro gradu -tutkielma

Suuntautumisvaihtoehto: Tieteellinen laskenta

Sivumäärä: 80+38

Tiivistelmä: Tässä tutkielmassa tutkitaan hyperspektrikuvien avulla toteutetun fotometrisen stereon vaikutuksia tietokonegraafiikassa. Tutkimuksessa hyperspektrikuvien ja fotometrisen stereon avulla luotiin malleja, joista edelleen renderöitiin kuvia. Hyperspektrikuvantamisen havaittiin parantavan renderöinnin kuvanlaatua hieman, mutta heikentävän sen suorituskykyä kymmenkertaisesti. Lisäksi tutkittiin mallien luomisen nopeuttamista rinnakkaislaskennan avulla. Tuloksena pintojen muotojen määrittäminen pintojen orientaatioiden avulla saatiin grafiikkasuorittimella yli 13-kertaisesti nopeammaksi.

Avainsanat: hyperspektrikuvantaminen, fotometrinen stereo, tietokonegrafiikka, gpu, gpgpu

Abstract: In this thesis the effects of photometric stereo implemented using hyperspectral images in computer graphics are studied. In the study hyperspectral images and photometric stereo was used to create models that were further rendered into images. It was observed that hyperspectral imaging slightly improved the image quality of the rendering but decreased its performance by a factor of ten. Additionally it was studied how the model creation can be accelerated using parallel computing. As a result resolving surface shapes from surface orientations got more than 13 times as fast when a graphics processing unit was used.

Keywords: hyperspectral imaging, photometric stereo, computer graphics, gpu, gpgpu

Termiluettelo

Aallonpituusalue	Jokin rajattu ja yhtenäinen aallonpituuksien joukko.
RGB	Punaista, vihreää ja sinistä väriä vastaavat valon aallonpituusalueet (red, green, blue).
CPU	Tietokoneen keskussuoritin.
GPU	Tietokoneen grafiikkasuoritin.
CUDA	Ohjelmointirajapinta GPU:lla suoritettavan laskennan ohjelmointiin.
Matlab	Numeerisen laskennan tietokoneohjelmisto ja ohjelmointikieli.
\mathbf{v}	Vektori (pienet lihavoidut kirjaimet).
\mathbf{M}	Matriisi (isot lihavoidut kirjaimet).
\mathbf{M}^T	Matriisin transpoosi.
\mathbf{M}^{-1}	Käänteismatriisi.

Kuviot

Kuvio 1. Näkyvän valon spektri	4
Kuvio 2. Hyperspektrikuva	19
Kuvio 3. Eri kuvantamismenetelmien spektrien erot	20
Kuvio 4. Valojen sijainnit ja numerointi.....	33
Kuvio 5. Kuvausasetelma	34
Kuvio 6. Yhdistetyt kalibraatiokuvat	35
Kuvio 7. Maailman koordinaattien määrittäminen.....	49
Kuvio 8. Hyperspektrikuvien avulla renderöidyt kuvat verrattuna kontrollikuviin	57
Kuvio 9. Syvyyskarttojen avulla renderöidyt kuvat.....	58
Kuvio 10. Valonlähteen suunnan vaihtelu	59
Kuvio 11. Normaalivektoreiden elevaatiokulmat aallonpituuden suhteen	60
Kuvio 12. Normaalivektorin atsimuuttikulma aallonpituuden suhteen	60

Taulukot

Taulukko 1. Renderöityjen kuvien histogrammien keskiarvot \bar{x} ja keskihajonnat σ_x , muodossa $\bar{x} \pm \sigma_x$	58
Taulukko 2. Valojen suuntien elevaatio- ja atsimuuttikulmien keskivirheet radiaaneina. ...	59
Taulukko 3. Normaalivektoreiden elevaatio- ja atsimuuttikulmien keskineliövirheiden neliöjuuret.	61
Taulukko 4. Eri vaiheiden suoritukseen eri toteutuksien avulla käytetyt ajat sekunteina. ..	62

Sisältö

1	JOHDANTO	1
2	TEORIA	4
2.1	Valosta yleisesti	4
2.1.1	Sähkömagneettinen säteily	4
2.1.2	Radiometriikka	5
2.1.3	Fotometria	6
2.2	Valon heijastuminen	7
2.2.1	Albedo	7
2.2.2	Diffuusi heijastus ja Lambertin pinta	9
2.2.3	Kollimoidun valon heijastuminen Lambertin pinnalla	10
2.3	Fotometrinen stereo	12
2.3.1	Katsojasuuntautunut koordinaatisto ja reflektanssikartta	12
2.3.2	Albedon ja normaalin määrittäminen	13
2.3.3	Pinnan muodon määrittäminen	16
2.4	Spektroskopia	17
2.4.1	Spektrikuvantaminen	17
2.4.2	Hyperspektrikuvantaminen	18
2.4.3	Hyperspektrikameroista	20
2.5	Tietokonegrafiikka	22
2.5.1	Kolmiulotteinen tietokonegrafiikka	23
2.5.2	Varjostinohjelmat	25
2.5.3	Teksturointi	26
2.5.4	OpenGL	27
2.6	GPGPU ja numeerinen lineaarialgebra	28
2.6.1	GPGPU	28
2.6.2	OpenCL	29
2.6.3	Numeerinen lineaarialgebra	30
2.6.4	ViennaCL	31
3	HYPERSPEKTRIKUVANTAMINEN FOTOMETRISISSÄ STEREOSSA	32
3.1	Koejärjestely	32
3.1.1	Kuvausasetelma	32
3.1.2	Koelaitteisto	33
3.1.3	Koeasetukset	33
3.2	Valojen suunnat	35
3.2.1	Kalibrointi- ja maskikuvat	35
3.2.2	Suuntien määrittäminen	36
3.3	Albedo- ja normaalikarttojen luominen	38
3.3.1	Lähteen irradianssi	38
3.3.2	Albedojen ja normaalien määrittäminen	39
3.3.3	Matlab-toteutus	40

3.3.4	GPU-toteutus.....	41
3.3.5	Säikeistetty CPU-toteutus	42
3.4	Syvyyskartan luominen	42
3.4.1	Harvan yhtälöryhmän muodostaminen	42
3.4.2	Syvyyskarttojen muodostaminen Matlabilla	45
3.4.3	Syvyyskarttojen muodostaminen GPU:lla.....	46
4	HYÖDYNTÄMINEN TIETOKONEGRAFIKASSA	48
4.1	Renderöijän toteutus	48
4.1.1	Simuloidut valonlähteet	51
4.1.2	Grafiikkaliukuhinnan sovellusvaihe	51
4.1.3	Varjostinohjelmien toteutus	53
4.1.4	Kontrollikuvat.....	54
5	TULOKSET.....	56
5.1	Hyperspektrikuvantamisen vaikutus kuvanlaatuun	56
5.2	Orientaatiot aallonpituuksien funktiona	59
5.3	Toteutuksien suoritusajat.....	61
5.4	Pohdinta.....	62
5.4.1	Fotometrinen stereo ja hyperspektrikuvantaminen tietokonegrafiikassa	62
5.4.2	Hyperspektrikuvantaminen fotometrisessä stereossa	64
5.4.3	Fotometrisen stereon suorituskyky	65
6	YHTEENVETO.....	67
	LÄHTEET	68
	LIITTEET.....	75
A	Valojen suuntien laskennan Matlab-lähdekoodi	75
B	Fotometrisen stereon Matlab-toteutuksen lähdekoodi	76
C	Syvyyskartan laskennan Matlab-toteutuksen lähdekoodi	77
D	Fotometrisen stereon ViennalCL-toteutuksen lähdekoodi	79
E	Syvyyskartan laskennan ViennaCL-toteutuksen lähdekoodi	86
F	Fotometrisen stereon Armadillo-toteutuksen lähdekoodi	89
G	Renderöijän CPU-osuuden lähdekoodi.....	101
H	Renderöijän verteksivarjostinohjelma	111
I	Renderöijän kuvapistevarjostinohjelma	111

1 Johdanto

Tässä tutkielmassa tarkastellaan fotometrisen stereon toteuttamista hyperspektrikuvien avulla sekä sen tuomia hyötyjä ja haittoja tietokonegrafiikassa. Lisäksi tutkitaan hyperspektrikuvien avulla toteutettuun fotometriseen stereoon liittyvän laskennan nopeuttamista moniydin- ja grafiikkasuorittimilla suoritettavaa rinnakkaislaskentaa käyttäen. Tutkimus pyrkii vastaamaan kysymyksiin siitä, millä tavoin ja kuinka paljon hyperspektrikuvantaminen vaikuttaa fotometrisellä stereolla luoduista malleista renderöityjen kuvien kuvanlaatuun, sekä kuinka paljon rinnakkaislaskenta nopeuttaa näiden mallien luontia.

Fotometrinen stereo on tietokonenäön alaan kuuluva menetelmä, jolla kaksiulotteisten kuvien pohjalta muodostetaan tietoa kuvattujen kohteiden kolmiulotteisista muodoista ja kyvyistä heijastaa valoa. Sitä sovelletaan usein käyttäen tavallisia valokuvia, joissa on kolme värikanavaa: punainen, vihreä ja sininen. Hyperspektrikuvat sen sijaan saattavat muodostua sadoista kapeista valon aallonpituusalueista, jotka yhdessä muodostavat jatkuvan spektrin. Käyttämällä fotometrisessä stereossa hyperspektrikuvia on mahdollista luoda tietokonegrafiikassa käytettäviä kolmiulotteisia malleja, jotka sisältävät mallinnettavasta kohteesta enemmän informaatiota kuin tavallisten valokuvien avulla luodut mallit. Lisäinformaation avulla voi olla mahdollista parantaa malleista renderöityjen kuvien kuvanlaatua. Datan määrän kasvaessa myös menetelmän vaatiman laskennan määrä kasvaa, joten on tärkeää tutkia tapoja sen nopeuttamiseksi. Menetelmässä suoritettava laskenta on hyvin rinnakaistuvaa, joten on mielekästä tutkia sen nopeuttamista moniydin- ja grafiikkasuorittimella suoritettavaa rinnakkaislaskentaa hyödyntämällä.

Spektrikuvantamisen hyödyntämistä fotometrisessä stereossa on tutkittu aiemmin eri näkökulmista. Nam ja Kim (2014) esittivät tutkimuksessaan menetelmän, jossa multispektrikuvantamisen avulla voidaan fotometrisestä stereosta poistaa tutkittavan kappaleen itse aiheuttamien heijastusten vaikutus. Menetelmän avulla fotometrisen stereon tarkkuutta pystyttiin kasvattamaan huomattavasti. Ozawa, Sato ja Yamaguchi (2017) tutkivat hyperspektrikuvantamisen hyödyntämistä fotometrisessä stereossa esittämällä menetelmän, jonka avulla fotometrinen stereo on mahdollista toteuttaa ainoastaan yhtä valonlähdettä ja hyperspektrikuvaa käyttäen. Eskelinen ym. (2016) pyrkivät tutkimuksessaan arvioimaan ihmisen ihon raken-

netta yhdistämällä fotometrisen stereon ja hyperspektrikuvantamisen. Fotometrisen stereon ja hyperspektrikuvantamisen yhteiskäytön hyödyntämisestä tietokonegraafikassa ei ole aiempaa tutkimusta.

Fotometrinen stereo on laskennallisesti suhteellisen raskas menetelmä myös tavallisia valokuvia käyttäen, joten sen toteuttamista grafiikkasuorittimen avulla on tutkittu aiemminkin. Pevar ym. (2015) käsittelivät tutkimuksessaan reaaliaikaista fotometristä stereota. Tätä tarkoitusta varten he kehittivät optimoidun grafiikkasuorittintoteutuksen, joka oli 950-kertaisesti nopeampi kuin sarjallinen toteutus. Varnavas ym. (2010) kehittivät tutkimuksessaan algoritmin, joka poistaa fotometrisen stereon kanssa yleensä käytetyn oletuksen paikan suhteen vakioista valon suunnasta. Algoritmi toteutettiin grafiikkasuorittimille, koska sen laskennallinen vaativuus kasvaa lineaarisesti kuvapisteen lukumäärän suhteen. Molemmat tutkimukset toteutettiin käyttäen Nvidian CUDA-ohjelmointirajapintaa ja itse toteutettua, käyttötarjoitukseen mukautettua grafiikkasuorittimen lähdekoodia. Fotometrisen stereon toteuttamista valmiista, grafiikkasuorittinta hyödyntävää lineaarialgebrakirjastoa käyttäen ei ole tutkittu aiemmin. Lisäksi rinnakkaislaskennan hyödyntämisestä erityisesti hyperspektrikuvantamalla toteutetussa fotometrisessä stereossa ei ole aiempaa tutkimusta.

Tutkimuksessa havaittiin, että hyperspektrikuvien käyttäminen fotometrisessä stereossa parantaa sen avulla luoduista malleista renderöityjen kuvien kuvanlaatua, mutta erot ovat pieniä. Tutkimuksessa kehitetyt moniydin- ja grafiikkasuorittimen rinnakkaislaskentaa hyödyntävät hyperspektraalin fotometrisen stereon toteutukset eivät olleet sarjallista toteutusta nopeampia. Kolmiulotteisen mallin luomisen viimeisessä vaiheessa – jossa pinnan muoto määritetään sen orientaatioiden avulla – grafiikkasuorittintoteutus oli yli 13 kertaa niin nopea kuin sarjallinen toteutus.

Luvussa 2 selvennetään tutkimuksessa käytettyjä käsitteitä ja teoriaa. Alaluvut 2.1 ja 2.2 esittelevät valon voimakkuuden, sen heijastumisen sekä pintojen heijastavuuden mittaamiseen käytettäviä suureita ja menetelmiä. Alaluku 2.4 pyrkii selittämään mitä hyperspektrikuvantaminen on, mikä on sen suhde muuhun kuvantamiseen ja kuinka sitä käytännössä toteutetaan. Alaluku 2.5 selventää tietokonegraafikan yleisiä käsitteitä, toimintaperiaatteita ja työkaluja. Alaluvussa 2.6 selvitetään mitä numeerinen lineaarialgebra tarkoittaa ja kuinka sen laskennassa voidaan hyödyntää grafiikkasuorittimia.

Luku 3 kuvailee tutkimuksen osuuden, jossa tutkittavat kohteet hyperspektrikuvataan ja niistä muodostetaan kolmiulotteiset mallit. Luvun alussa esitellään tutkimuksessa käytetty asetelma ja laitteisto, sekä selvitetään kuinka valonlähteiden suunnat määritettiin. Tämän jälkeen käydään läpi fysikaalinen ja matemaattinen teoria mallien luomisen taustalla sekä sen eri toteutukset.

Luvussa 4 esitellään mallien renderöijän toteutus. Aluksi esitellään renderöinnissä käytetyt virtuaaliset valonlähteet, jonka jälkeen pyritään selittämään renderöijän lähdekoodin toimintaa ja sen toteuttamisessa käytettyjä ratkaisuja. Lopussa kerrotaan tuloksien vertailukohtina toimineiden kontrollikuvien luomisessa käytetystä teoriasta ja toteutuksesta.

Luku 5 listaa kaikkien tutkimuksessa suoritettujen mittauksien tulokset. Luvussa myös tarkastellaan tutkittavien pintojen muotojen vaihteluita aallonpituuden suhteen. Lisäksi luvussa pohditaan syitä saatuihin tuloksiin, tutkimuksessa käytettyjen oletuksien oikeutettavuutta ja kuinka tutkimusta voitaisiin tulevaisuudessa kehittää. Luvun lopussa ehdotetaan vielä lyhyesti aiheita mahdollisille tulevaisuuden tutkimuksille.

2 Teoria

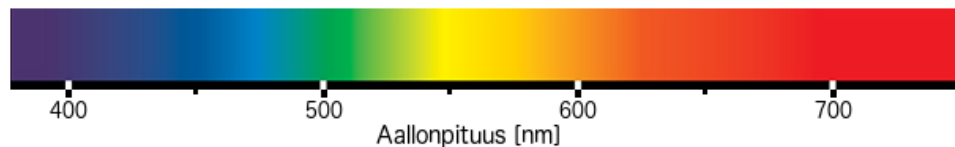
2.1 Valosta yleisesti

2.1.1 Sähkömagneettinen säteily

Sähkömagneettisen säteilyn kaikkia tunnettuja taajuuksia ja niitä vastaavia aallonpituuksia kutsutaan kollektiivisesti sähkömagneettisen säteilyn *spektri*ksi, joka on jaoteltu aallonpituuden perusteella edelleen pienempiin luokkiin. Nämä luokat ulottuvat ELF (extremely low frequency) -säteilyn satojentuhansien kilometrien kokoluokan aallonpituuksista aina gammasäteilyn pikometrin kokoluokan aallonpituuksiin.

Sähkömagneettisen säteilyn vaikutus ympäristöön riippuu sen aallonpituudesta, koska säteilyn sisältämä energia on kääntäen verrannollinen sen aallonpituuteen. Sähkömagneettisen säteilyn lyhyiden aallonpituuksien päässä noin 380 nm ja 740 nm välissä olevaa aluetta kutsutaan näkyväksi valoksi. Tällä välillä olevan säteilyn sisältämä energiamäärä kykenee aiheuttamaan ihmissilmässä molekyyli-tason muutoksen, jonka ihminen kokee näköaistimuksena. Väli on myös lähes sama kuin aallonpituusalue, jonka ilmakehä päästää auringon säteilystä lävitseen.

Myös näköaistimuksen laatu riippuu silmän vastaanottaman säteilyn aallonpituudesta. Ihminen havaitsee näkyvän valon aallonpituusalueen sisällä olevat eri aallonpituudet eri väreinä. Tätä värijakaumaa kutsutaan näkyvän valon spektriiksi, ja se kuvaa värien sekä aallonpituuksien välistä suhdetta (Tekatch 2009).



Kuvio 1. Näkyvän valon spektri.

2.1.2 Radiometriikka

Sähkömagneettisen säteilyn mittaamiseen käytettävien tekniikoiden ja suureiden kokoelmaa kutsutaan *radiometriikaksi*. Radiometriset suureet ja niiden yksiköt ovat

$$\text{säteilyn vuo} \quad \Phi \quad [W], \quad (2.1)$$

$$\text{säteilyn intensiteetti} \quad I = \frac{d\Phi}{d\omega} \quad \left[\frac{W}{sr} \right], \quad (2.2)$$

$$\text{irradianssi} \quad E = \frac{d\Phi}{dA} \quad \left[\frac{W}{m^2} \right], \quad (2.3)$$

$$\text{eksitanssi} \quad M = \frac{d\Phi}{dA} \quad \left[\frac{W}{m^2} \right] \text{ ja} \quad (2.4)$$

$$\text{radianssi} \quad L = \frac{d^2\Phi}{dA_{\text{proj}}d\omega} \quad \left[\frac{W}{m^2sr} \right], \quad (2.5)$$

missä

$$dA_{\text{proj}} = dA \cos(\theta), \quad (2.6)$$

ja θ on saapuvan säteilyn ja tarkasteltavan pinnan normaalivektorin välinen kulma (Nicodemus ym. 1977).

Säteilyn vuo mittaa emittoitun, saapuvan tai heijastuneen sähkömagneettisen säteilyn kokonaistehoa. Säteilyn vuo ilmaisee säteilyn sisältämän energian määrää aikayksikköä kohden, eli $\Phi = \frac{dQ}{dt}$, missä Q on säteilyn energia, ja t on aika. Esimerkiksi hehkulampun säteilyn vuo voidaan periaatteessa mitata summaamalla sen jokaisen yhden sekunnin aikana emittoiman fotonin energia yhteen.

Säteilyn intensiteetti on suunnan huomioon ottava suure. Se mittaa säteilyn vuon tiheyttä suhteessa avaruuskulmaan.

Irradianssi on jollekin pinnalle saapuvan säteilyn vuon tiheys suhteessa pinta-alaan. Irradianssi määritellään suhteessa johonkin pintaan, joka voi olla kuvitteellinen pinta tai useimmiten tutkittavan kohteen pinta. Kun puhutaan valon lähteen säteilemästä irradianssista, irradianssi mitataan säteilyn suuntaa vastaan kohtisuoralta kuvitteelliselta pinnalta.

Eksitanssi ilmaisee irradianssin tavoin säteilyn vuon tiheyttä suhteessa pinta-alaan. Eksitanssia käytetään kuitenkin ainoastaan mitatessa pinnalta poispäin heijastuvan säteilyn vuon

tiheyttä. Jos pinta on täydellisen heijastava, niin irradianssi ja eksitanssi ovat yhtä suuret.

Säteilyn intensiteetin tavoin myös radianssi on suunnan huomioon ottava suure. Se ilmaisee säteilyn vuon tiheyttä suhteessa sekä pinta-alaan että avaruuskulmaan. Sen voidaan ajatella olevan säteilyn suuntaa vastaan kohtisuoralta pinnalta mitatun irradianssin (tai eksitanssin) tiheys suhteessa avaruuskulmaan:

$$L = \frac{dE}{d\omega \cos(\theta)}. \quad (2.7)$$

Radianssi ilmaisee kuinka suuri osa emittoidusta tai heijastuneesta sähkömagneettisesta säteilystä saapuu sitä jostakin suunnasta mittaavaan sensoriin (silmään, kameraan tai muuhun vastaavan). Valon tapauksessa se näin ollen kuvaa sitä, kuinka kirkkaalta jokin kohde näyttää. Radianssin voidaan ajatella olevan yhden valon säteen voimakkuus.

Jos radianssin määritelmän pinta-ala mitataan pinnalta, johon säteily saapuu, niin avaruuskulma on säteilyn lähteen muodostama avaruuskulma tältä pinnalta katsottuna. Jos taas pinta-alalla viitataan säteilyn lähteen pinta-alaan niin avaruuskulma on säteilyn mittaavan sensorin muodostama avaruuskulma lähteestä katsottuna (Horn ja Sjoberg 1979).

Kaikki edellä kuvatut suureet ovat käytännössä aina riippuvaisia myös säteilyn aallonpituudesta. Aallonpituuden funktiona olevia suureita kutsutaan *spektraalisiksi* suureiksi, ja ne on määritelty suureiden osuutena infinitesimaalisen leveää aallonpituusaluetta kohden eli suureiden derivaattana aallonpituuden suhteen. Spektraalisia suureita merkitään yleisesti alaindeksillä λ (Palmer ja Carroll 1999). Esimerkiksi *spektraalinen radianssi*

$$L_\lambda = L_\lambda(\lambda) = \frac{d^3\Phi}{dA_{\text{proj}}d\omega d\lambda} \left[\frac{W}{m^2 sr nm} \right]. \quad (2.8)$$

2.1.3 Fotometria

Radiometriikka käsittelee puhtaasti fysikaalisia suureita eikä näin ollen ota huomioon ihmillisiä havaitsemiseen liittyviä tekijöitä. Fotometria taas on radiometriikkaan hyvin läheisesti liittyvä ala, jossa suureet on kiinnitetty ihmissilmän herkkyyteen. Fotometria mittaa valoa, eli sähkömagneettisen säteilyn näkyvää aallonpituusaluetta, jolloin se on rajoitettu suurin piirtein aallonpituuksien 380 nm ja 740 nm välille. Se mittaa valoa yksiköissä, jotka on painotettu ihmissilmän visuaalisella valonvasteella.

Ihmissilmän valonherkkyys riippuu valon aallonpituudesta, jolloin esimerkiksi kaksi saman suuruista mutta eri aallonpituusalueiden radianssia eivät näytä yhtä kirkkailta. Tästä syystä fotometriassa kaikki radiometriikan suureet on painotettu aallonpituudesta riippuvalla funktiolla, jota kutsutaan *CIE fotometriseksi käyräksi*. Se on tilastollisin menetelmin kehitetty, muodoltaan Gaussin jakaumaa muistuttava funktio, jonka maksimi on noin 555 nm kohdalla. Myös fyysikaalisien säteilysensorien kuten kameroiden havaitsemisherkkyys riippuu aallonpituudesta, jolloin niilläkin on niille ominaiset spektraalisen herkkyuden painofunktiot.

Fotometria eroaakin radiometriikasta ainoastaan siinä, että sen yksiköt on painotettu aallonpituudesta riippuvalla funktiolla ja että tarkasteltava aallonpituusalue on kapeampi (Ashdown 2002).

2.2 Valon heijastuminen

2.2.1 Albedo

Radiometriikassa säteilyn heijastumista pinnalla kuvataan *kaksisuuntaisheijastusjakaumafunktiolla* BRDF (bidirectional reflectance distribution function). BRDF on pinnalta johonkin tiettyyn suuntaan heijastuneen differentiaalisen radianssin suhde pinnalle jostakin tietyistä suunnasta saapuvaan differentiaaliseen irradianssiin. BRDF on siis sekä saapuvan (viitataan jatkossa alaindeksillä i) että heijastuvan (viitataan alaindeksillä r) suunnan funktio ja sitä merkitään symbolilla f_r .

$$\text{BRDF} = f_r(\theta_i, \phi_i; \theta_r, \phi_r) = \frac{dL_r(\theta_i, \phi_i; \theta_r, \phi_r)}{dE_i(\theta_i, \phi_i)} \left[\frac{1}{\text{sr}} \right], \quad (2.9)$$

missä θ_i ja ϕ_i ovat saapuvan irradianssin pallokoordinaateissa ilmaistun suunnan elevaatio- ja atsimuuttikulmat tässä järjestyksessä. θ_r ja ϕ_r ovat heijastuvan radianssin suunnan vastaavat kulmat (Nicodemus ym. 1977). Kulmat ovat ilmaistu *lokaalissa* koordinaatistossa, missä karteesisen koordinaatiston z -akseli on samansuuntainen pinnan normaalin kanssa sekä θ määritelty suhteessa siihen ja ϕ suhteessa x -akseliin (Horn ja Sjöberg 1979). Jatkossa on aina käytössä lokaali koordinaatisto kunnes toisin ilmoitetaan.

Kuten luvussa 2.1.2 esitettiin, irradianssi ja radianssi ovat aallonpituuden funktioita, joten

BRDF voidaan ilmaista myös näiden spektraalisten suureiden avulla. Näin saadaan *spektraalinen kaksisuuntaisheijastusjakaumafunktio* (Schaepman-Strub ym. 2006)

$$\text{BRDF}_\lambda = f_{r_\lambda}(\theta_i, \phi_i; \theta_r, \phi_r; \lambda) = \frac{dL_{\lambda_r}(\theta_i, \phi_i; \theta_r, \phi_r; \lambda)}{dE_{\lambda_i}(\theta_i, \phi_i; \lambda)} \left[\frac{1}{sr} \right]. \quad (2.10)$$

BRDF:n arvot eivät ole mitattavissa, koska BRDF on differentiaalisten suureiden suhde ja suureet voidaan mitata käytännössä vain joidenkin nolaa suurempien intervallien yli (Nicodemus ym. 1977). BRDF:stä voidaan kuitenkin johtaa useita relevantteja mitattavia suureita ottamalla saapuvissa ja/tai heijastuvissa suunnissa huomioon nolaa suuremmat äärelliset avaruuskulmat ja integroimalla niiden yli (Schaepman-Strub ym. 2006). Osaa näistä suureista kutsutaan *reflektansseiksi*. Reflektanssit kuvaavat pinnalta heijastuvan säteilyn vuon suhdetta pinnalle saapuvaan säteilyn vuohon ja niitä merkitään symbolilla ρ (Nicodemus ym. 1977):

$$\rho = \frac{d\Phi_r}{d\Phi_i}. \quad (2.11)$$

Reflektanssit ovat yksiköttömiä ja saavat energiaperiaatteen nojalla arvoja vain väliltä $[0, 1]$.

Yksi tällaisista reflektansseista on *kaksoispuolipalloinen reflektanssi* BHR (BiHemispherical Reflectance)(Nicodemus ym. 1977) eli *albedo* (Martonchik, Bruegge ja Strahler 2000). Se on pinnalta koko puolipallon kokoiseen avaruuskulmaan heijastuvan säteilyn vuon suhde pinnalle koko puolipallon kokoisesta avaruuskulmasta saapuvaan säteilyn vuohon. Albedoa merkitään jatkossa symbolilla a , ja

$$a = \rho(2\pi; 2\pi) = \frac{d\Phi_r(2\pi; 2\pi)}{d\Phi_i(2\pi)}. \quad (2.12)$$

Sulkujen sisällä ensimmäinen 2π tarkoittaa, että saapuvaa säteilyä integroidaan puolipallon kokoisen avaruuskulman yli ja jälkimmäinen heijastuvaa.

Radianssin ja irradianssin suhteesta (2.7) seuraa, että

$$dM_r = L_r \cos(\theta_r) d\omega_r, \text{ ja} \quad (2.13)$$

$$dE_i = L_i \cos(\theta_i) d\omega_i. \quad (2.14)$$

Nyt radiometrinen suureiden määritelmistä (2.3), (2.4) ja (2.5) sekä integroimalla yhtälön (2.13) heijastuvan suunnan suhteen ja yhtälön (2.14) saapuvan suunnan suhteen, molemmat

puolipallojen yli, saadaan seuraavaa:

$$\begin{aligned}
 a &= \frac{d\Phi_r(2\pi; 2\pi)}{d\Phi_i(2\pi)} \\
 &= \frac{dA M_r(2\pi; 2\pi)}{dA E_i(2\pi)} \\
 &= \frac{\iint_{\omega_r=2\pi} L_r(2\pi; \theta_r, \phi_r) \cos(\theta_r) d\omega_r}{\iint_{\omega_i=2\pi} L_i(\theta_i, \phi_i) \cos(\theta_i) d\omega_i}.
 \end{aligned} \tag{2.15}$$

Lisäksi BRDF:n määritelmästä (2.9) ja yhtälöstä (2.14) seuraa, että

$$dL_r = f_r dE_i = f_r L_i \cos(\theta_i) d\omega_i. \tag{2.16}$$

Integroimalla edellisen yhtälön puolittain saapuvan suunnan suhteen puolipallon yli ja sijoittamalla tulokseen (2.15) saadaan albedo kirjoitettua BRDF:n ja saapuvan radianssin avulla seuraavasti:

$$a = \frac{\iint_{2\pi} \iint_{2\pi} f_r(\theta_i, \phi_i; \theta_r, \phi_r) L_i(\theta_i, \phi_i) \cos(\theta_i) d\omega_i \cos(\theta_r) d\omega_r}{\iint_{2\pi} L_i(\theta_i, \phi_i) \cos(\theta_i) d\omega_i}. \tag{2.17}$$

Spektraalisen BRDF:n ja spektraalisen saapuvan radianssin avulla saadaan spektraalinen albedo

$$a_\lambda = \frac{\iint_{2\pi} \iint_{2\pi} f_{\lambda_r} L_{\lambda_i} \cos(\theta_i) d\omega_i \cos(\theta_r) d\omega_r}{\iint_{2\pi} L_{\lambda_i} \cos(\theta_i) d\omega_i}. \tag{2.18}$$

2.2.2 Diffuusi heijastus ja Lambertin pinta

Kun valo heijastuu joltakin pinnalta täydellisesti, se heijastuu ainoastaan yhteen suuntaan siten, että heijastuneen valon suunnan ja pinnan välinen kulma on yhtä suuri kuin saapuvan valon suunnan ja pinnan välinen kulma. Käytännössä valo kuitenkin heijastuu lähes aina yhden suunnan sijaan useisiin eri suuntiin, jolloin sitä kutsutaan *diffuusiksi* heijastukseksi.

Vaikka yksisuuntainen heijastus edellyttääkin täysin sileää pintaa, ei diffuusi heijastus yleisesti johdu pinnan rosoisuudesta. Yleisin syy diffuusille heijastukselle on valon tunkeutuminen pinnan läpi ja siroaminen pinnanalaisissa sisärakenteissa täysin satunnaisesti ennen paluutaan takaisin pinnan ulkopuolelle. Tämän lisäksi myös pinnan mahdolliset mikroskooppiset epätasaisuudet aiheuttavat diffuusista heijastusta (Hanrahan ja Krueger 1993).

Jos pinnalta heijastuva radianssi on suunnan suhteen vakio, niin pinta heijastaa täydellisen diffuusisti ja pintaa kutsutaan *Lambertin pinnaksi*. Lambertin pinta on ideaalinen mattapinta. Radianssin ja irradianssin suhteesta 2.7 nähdään, että jos heijastuva radianssi on elevaatio-kulman θ suhteen vakio, niin pinnalta heijastuneelle irradianssille eli eksitanssille täytyy päteä $M = M_0 \cos(\theta)$, missä M_0 on pintaa vastaan kohtisuoran suunnan eksitanssi. Toisin sanoen Lambertin pinnalta heijastunut eksitanssi noudattaa Lambertin *kosinilakia*. Koska Lambertin pinnalta heijastunut radianssi ei riipu suunnasta, myös pinnan BRDF on vakio (Akenine-Möller, Haines ja Hoffman 2008, 110-111).

Jos pinta ei absorboi valoa lainkaan, vaan heijastaa kaiken sille saapuneen valon ja heijastus on täydellisen diffuusista, niin pintaa kutsutaan *ideaaliseksi Lambertin pinnaksi* (Martonchik, Bruegge ja Strahler 2000).

Jos pinta ei heijasta Lambertin pinnan tavoin vaan heijastunut radianssi riippuu heijastussuunnasta, niin heijastus on *spekulaarista* (Akenine-Möller, Haines ja Hoffman 2008, sivu 105).

2.2.3 Kollimoidun valon heijastuminen Lambertin pinnalla

Koska Lambertin pinnalta heijastuva radianssi on vakio, ei se, eikä sen myötä myöskään BRDF riipu saapuvan radianssin suunnasta. Näin ollen kun albedo esitetään BRDF:n ja saapuvan radianssin avulla tuloksen (2.17) mukaisesti, niin BRDF voidaan siirtää saapuvan suunnan suhteen suoritettavan integraalin ulkopuolelle ja saadaan

$$\begin{aligned}
 a &= \frac{\iint_{2\pi} f_r(\theta_i, \phi_i; \theta_r, \phi_r) \iint_{2\pi} L_i(\theta_i, \phi_i) \cos(\theta_i) d\omega_i \cos(\theta_r) d\omega_r}{\iint_{2\pi} L_i(\theta_i, \phi_i) \cos(\theta_i) d\omega_i} \\
 &= \frac{\iint_{2\pi} L_i(\theta_i, \phi_i) \cos(\theta_i) d\omega_i \iint_{2\pi} f_r(\theta_i, \phi_i; \theta_r, \phi_r) \cos(\theta_r) d\omega_r}{\iint_{2\pi} L_i(\theta_i, \phi_i) \cos(\theta_i) d\omega_i} \\
 &= \iint_{2\pi} f_r(\theta_i, \phi_i; \theta_r, \phi_r) \cos(\theta_r) d\omega_r.
 \end{aligned} \tag{2.19}$$

Lambertin pinnalta heijastuva radianssi ja siten BRDF:kään ei riipu myöskään heijastumissuunnasta, joten integroitavaksi jää ainoastaan $\cos(\theta_r)$. Tämä integraali saadaan määritettyä esittämällä differentiaalinen avaruuskulma pallokoordinaattien avulla seuraavasti:

$$d\omega_r = \sin(\theta_r) d\theta_r d\phi_r. \tag{2.20}$$

Integroimalla sekä elevaatio- että atsimuuttikulmien suhteen saadaan

$$\begin{aligned}
 a &= f_r \iint_{2\pi} \cos(\theta_r) d\omega_r \\
 &= f_r \int_0^{2\pi} \int_0^{\pi/2} \cos(\theta_r) \sin(\theta_r) d\theta_r d\phi_r \\
 &= f_r \pi,
 \end{aligned} \tag{2.21}$$

josta edelleen

$$f_r = \frac{a}{\pi}. \tag{2.22}$$

Jos valonlähteen etäisyys tarkasteltavasta pinnasta on suuri verrattuna valonlähteen kokoon, voidaan valo olettaa pistemäiseksi eli *pistevaloksi* (point light), tai jos etäisyys on lisäksi suuri verrattuna tarkasteltavan pinnan kokoon, voidaan se olettaa *suuntaisvaloksi* (directional light). Näissä tapauksissa pinnalle saapuva valo on *kollimoitua* eli se saapuu yhteen pisteeseen ainoastaan yhdestä suunnasta. Lisäksi suuntaisvalon tapauksessa valonsuunta on vakio myös kaikissa tarkasteltavissa pisteissä (Gustavson 2017, 39-40). Tällaiset valonlähteet eivät ole reaali maailmassa mahdollisia, koska koko säteilyn vuo saapuisi nollan kokoisesta avaruuskulmasta, jolloin sitä vastaava radianssi olisi ääretön (Horn ja Sjoberg 1979). Kollimoidun valon radianssia voidaan kuitenkin kuvata Diracin deltafunktioiden avulla, jolloin integraalit niiden yli ovat äärellisiä. Horn ja Sjoberg (1979) kutsuvat tätä esitystapaa kollimoidun lähteen radianssin “tupladelta”-esitykseksi ja se on

$$L_i = \frac{E_0}{\sin(\theta_0)} \delta(\theta_i - \theta_0) \delta(\phi_i - \phi_0), \tag{2.23}$$

missä θ_0 ja ϕ_0 ovat saapuvan valon suunnan elevaatio- ja atsimuuttikulmat tässä järjestyksessä, E_0 saapuva irradianssi tätä suuntaa vastaan kohtisuoralta pinnalta mitattuna ja δ on Diracin deltafunktio.

Näin ollen kollimoidun valonlähteen Lambertin pinnalta heijastunut radianssin saadaan sijoittamalla “tupladelta”-esitys (2.23) sekä tulos (2.22) BRDF:n yhtälöön (2.16) ja integroimalla saapuvan suunnan suhteen puolipallon yli:

$$\begin{aligned}
 L_r &= \iint_{2\pi} \frac{a}{\pi} \frac{E_0}{\sin(\theta_0)} \delta(\theta_i - \theta_0) \delta(\phi_i - \phi_0) \cos(\theta_i) d\omega_i \\
 &= \frac{a}{\pi} E_0 \int_0^{2\pi} \int_0^{\pi/2} \delta(\theta_i - \theta_0) \delta(\phi_i - \phi_0) \frac{\sin(\theta_i)}{\sin(\theta_0)} \cos(\theta_i) d\theta_i d\phi_i \\
 &= \frac{a}{\pi} E_0 \cos(\theta_0).
 \end{aligned} \tag{2.24}$$

Spektraalisten suureiden avulla ilmaistuna

$$L_{\lambda_r} = \frac{a_{\lambda}}{\pi} E_{\lambda_0} \cos(\theta_0). \quad (2.25)$$

2.3 Fotometrinen stereo

2.3.1 Katsojasuuntautunut koordinaatisto ja reflektanssikartta

Kuten luvussa 2.2.1 esitettiin, on tähän asti ollut käytössä ainoastaan lokaali koordinaatisto. Näin sen vuoksi, että BRDF, albedo ja muut reflektanssit ovat määritelty tässä koordinaatistossa, joten yksinkertaisuuden ja esittämisen selkeyden vuoksi myös saapuvan valon suunta on esitetty samassa koordinaatistossa. Todellisuudessa lokaali koordinaatisto on kuitenkin epäkäytännöllinen, koska yleensä tarkasteltavat pinnat ovat epätasaisia, jolloin lokaalin koordinaatiston orientaatio muuttuu paikan funktiona, mikä tekee globaalien jakaumien kuten valonlähteen radianssin määrittelemisestä hankalaa. Tästä syystä sopivampaa on käyttää paikan suhteen kiinteää koordinaatistoa. Yksi tällainen koordinaatisto on *katsojasuuntautunut* (viewer-oriented) koordinaatisto, jossa z -akseli on samansuuntainen katsomissuunnan kanssa. Katsojasuuntautuneessa koordinaatistossa elevaatiokulma θ on määritelty suhteessa katsomissuuntaan ja atsimuuttikulma ϕ katsomissuuntaa vastaan kohtisuoralla pinnalla suhteessa x -akseliin (Horn ja Sjoberg 1979).

Jos pinnan normaalin suunnan vastaavat kulmat ovat θ_n ja ϕ_n , niin kollimoidun valon irradianssin ja sen Lambertin pinnalta heijastuneen radianssin suhteelle (2.24) saadaan katsojasuuntautuneessa koordinaatistossa seuraavaa (Horn ja Sjoberg 1979):

$$L_r = \frac{a}{\pi} E_0 \cos(\theta_n) \cos(\theta_0) + \sin(\theta_n) \sin(\theta_0) \cos(\phi_0 - \phi_n). \quad (2.26)$$

Jos oletetaan, että valonlähde on tasainen suuntaisvalo, niin irradianssi E_0 ja kulmat θ_0 sekä ϕ_0 ovat paikan suhteen vakioita. Jos lisäksi oletetaan, että albedo a on tunnettu, niin edellisen yhtälön mukaisesti, heijastunut radianssi L_r riippuu ainoastaan pinnan normaalin kulmista θ_n ja ϕ_n . Toisin sanoen pinnan kirkkaus sisältää tiedon pinnan lokaalista muodosta. Tämän tiedon esittämiseksi B. K. P. Horn (1977) sekä Horn ja Sjoberg (1979) määrittelevät *reflektanssikartan* R , joka kuvaa pinnalta heijastuvan radianssin pinnan gradientin funktiona

katsojasuuntautuneessa koordinaatistossa:

$$R = R(p, q) \left[\frac{W}{m^2 sr} \right], \text{ missä } p = \frac{\delta z}{\delta x} \text{ ja } q = \frac{\delta z}{\delta y}. \quad (2.27)$$

z on pinnan korkeus suhteessa katsomissuuntaa vastaan kohtisuoraan vertailutasoon ja x sekä y etäisyydet tällä tasolla vastaavien ortogonaalisten koordinaattiakselien suuntaisesti mitattuna. Horn ja Sjöberg (1979) esittävät, että jos pinnan gradientit p ja q ilmaistaan pinnan normaalin suuntakulmien θ_n ja ϕ_n avulla sekä valon suunnan vastaavat arvot p_0 ja q_0 sen suuntakulmien θ_0 ja ϕ_0 avulla, saadaan

$$\begin{aligned} p &= -\cos(\phi_n) \tan(\theta_n), & q &= -\sin(\phi_n) \tan(\theta_n), \\ p_0 &= -\cos(\phi_0) \tan(\theta_0), & q_0 &= -\sin(\phi_0) \tan(\theta_0), \end{aligned} \quad (2.28)$$

jolloin näistä ja yhtälöstä (2.26) saadaan kollimoidun valon ja Lambertin pinnan reflektanssikartalle (Horn ja Sjöberg 1979)

$$R(p, q) = \frac{a}{\pi} E_0 \frac{p_0 p + q_0 q}{\sqrt{1 + p^2 + q^2} \sqrt{1 + p_0^2 + q_0^2}}. \quad (2.29)$$

Näin ollen pinnan normaali ja valon suunta voidaan lisäksi esittää normalisoitujen sarakevektorien $\mathbf{n} = [-p, -q, 1]^T / \sqrt{1 + p^2 + q^2}$ ja $\mathbf{l} = [-p_0, -q_0, 1]^T / \sqrt{1 + p_0^2 + q_0^2}$ avulla tässä järjestyksessä, jolloin reflektanssikartta voidaan kirjoittaa lyhyesti käyttäen niiden pistetuloa (Woodham 1980):

$$R(p, q) = \frac{a}{\pi} E_0 \mathbf{n} \bullet \mathbf{l}. \quad (2.30)$$

2.3.2 Albedon ja normaalin määrittäminen

Jos jokin kohde kuvataan kameralla, niin reflektanssikartta on käytännöllinen kohteen geometrian, sen heijastavuuden ja käytetyn valonlähteen yhdistävä malli. Mutta vaikka se mahdollistaa kuvan radianssiarvon ilmaisemisen kuvattavan kohteen pinnan orientaation funktiona, se ei kuitenkaan skalaariarvoisena kahden muuttujan funktiona ole kääntyvä. Näin ollen pinnan lokaalia asentoa ei pystytä määrittämään mitatusta radianssista ilman lisätietoa. Tähän perustuen Woodham (1980) esitti *fotometriseksi stereoksi* kutsutun menetelmän, jossa kohteesta otetaan vähintään kaksi kuvaa siten, että valonlähteestä saapuvaa valon suuntaa muutetaan kuvien välillä, pitäen kuitenkin kuvaussuunnan ja kohteen paikan sekä asennon

vakiona. Osoittautuu, että näin saadaan tarpeeksi informaatiota kohteen pinnan muotojen määrittämiseksi.

Jatkossa oletetaan, että kuvattava kohde heijastaa Lambertin pinnan mukaisesti ja että kohdetta valaistaan suuntaisvalolla, jonka irradianssi $E_0 = \pi \frac{W}{m^2}$, jolloin yhtälöstä (2.30) saadaan reflektanssikartaksi

$$R(p, q) = a \mathbf{n} \bullet \mathbf{l}. \quad (2.31)$$

Näin ollen, jos on olemassa kaksi kuvaa, joiden radianssit pisteessä (x, y) ovat $L_1(x, y)$ sekä $L_2(x, y)$, ja ne on kuvattu muuttamalla valonlähteen suuntaa siten, että ensimmäisessä kuvassa valon suunta on \mathbf{l}_1 ja toisessa \mathbf{l}_2 , niin niitä vastaaville reflektanssikartoille $R_1(p, q)$ sekä $R_2(p, q)$ pätevät riippumattomat lineaariset yhtälöt

$$\begin{aligned} L_1(x, y) &= R_1(p, q) = a \mathbf{n} \bullet \mathbf{l}_1, \\ L_2(x, y) &= R_2(p, q) = a \mathbf{n} \bullet \mathbf{l}_2, \end{aligned} \quad (2.32)$$

joissa \mathbf{n} on pinnan gradientista p ja q riippuva vektori. Jos valon suuntien \mathbf{l}_1 ja \mathbf{l}_2 elevaatiokulmat θ_1 ja θ_2 ovat eri suuret ja aiemmin esitetty oletus tunnetusta albedosta pätee, niin tällä yhtälöparilla on yksikäsitteinen ratkaisu (Woodham 1980).

Jos myös albedo on tuntematon, niin voidaan lisäksi suunnasta \mathbf{l}_3 valaisemalla ottaa kolmas kuva, jonka radianssit ovat $L_3(x, y)$ ja vastaava reflektanssikartta $R_3(p, q)$, jolloin saadaan kolmas lineaarinen ja riippumaton yhtälö

$$L_3(x, y) = R_3(p, q) = a \mathbf{n} \bullet \mathbf{l}_3. \quad (2.33)$$

Muodostuneesta kolmen yhtälön lineaarisesta yhtälöryhmästä voidaan ratkaista sekä pinnan gradientit p ja q että albedo a .

Jos kolmen kuvan radianssiarvoista muodostetaan sarakevektori $\mathbf{i} = [L_1, L_2, L_3]^T$ ja rivivektoreiksi muutetuista valojen suunnista \mathbf{l}^T matriisi \mathbf{L} , siten että

$$\mathbf{L}_{3 \times 3} = \begin{bmatrix} l_{1_x} & l_{1_y} & l_{1_z} \\ l_{2_x} & l_{2_y} & l_{2_z} \\ l_{3_x} & l_{3_y} & l_{3_z} \end{bmatrix}, \quad (2.34)$$

niin edellä mainittu lineaarinen yhtälöryhmä voidaan esittää matriisimuodossa

$$\mathbf{L} \mathbf{a} \mathbf{n} = \mathbf{i}. \quad (2.35)$$

Matriisi \mathbf{L} on kääntyvä, jos ja vain jos sen rivivektorit ovat lineaarisesti riippumattomia eli valojen suunnat eivät ole samassa tasossa. Tässä tapauksessa yhtälöryhmälle saadaan yksikäsitteinen ratkaisu

$$\mathbf{a} \mathbf{n} = \mathbf{L}^{-1} \mathbf{i}. \quad (2.36)$$

Koska normaali \mathbf{n} on normalisoitu, eli $|\mathbf{n}| = 1$, niin albedo a saadaan ratkaisuvektorin pituutena

$$a = |\mathbf{a} \mathbf{n}|, \quad (2.37)$$

josta edelleen normaali

$$\mathbf{n} = \frac{\mathbf{a} \mathbf{n}}{a}. \quad (2.38)$$

Albedon tavoin myös tällä menetelmällä määritetty normaalivektori voi vaihdella aallonpituuden funktiona.

Käytännössä käy usein niin, että jokin kuvattava kohta on varjossa ainakin yhteen valonlähteeseen nähden, jolloin sekä normaalin että albedon määrittämiseen ei ole tarpeeksi informaatiota. Tätä ja muita mittauksesta johtuvia epätarkkuuksia voidaan korjata ottamalla useampia kuin kolme kuvaa, jolloin saadaan ylimääritelty yhtälöryhmä, joka voidaan ratkaista pienimmän neliösumman menetelmällä (Barsky ja Petrou 2003):

$$\mathbf{a} \mathbf{n} = (\mathbf{L}^T \mathbf{L})^{-1} \mathbf{L}^T \mathbf{i}. \quad (2.39)$$

Edellä otettiin huomioon ainoastaan Lambertin pinnan heijastus, mutta fotometrinen stereo soveltuu myös monimutkaisempien BRDF:ien omaaville pinnoille käyttämällä niille ominaisia reflektanssikarttoja (Woodham 1980). Tällaisten pintojen BRDF:t omaavat katsomissuunnasta riippuvan eli spekulaarisen komponentin.

Fotometristä stereota on sovellettu muuan muassa kolmiulotteisessa kasvojen tunnistuksessa (Gao 2016), paperin ja kartongin valmistuksen laadunvalvonnassa (Löyttyniemi ym. 2017) sekä materiaalien tunnistamisessa (Kampouris ym. 2016). Fotometriseen stereoon liittyvä

uudempi tutkimus on käsitellyt muuan muassa pyrkimyksiä parantaa sen toimivuutta varjojen (Chandraker, Agarwal ja Kriegman 2007) ja spekulaaristen heijastuksien kanssa (Chung ja Jia 2008).

2.3.3 Pinnan muodon määrittäminen

Tähän mennessä on saatu määritettyä kuvatun kohteen pinnan lokaali asento kaikissa kuvan pisteissä. Näiden avulla myös pinnan kolmiulotteinen muoto eli kunkin pisteen kolmiulotteinen karteellinen koordinaatti (x, y, z) saadaan määritettyä.

Luvussa 2.3.1 esitetyn normaalivektorin \mathbf{n} määritelmän mukaisesti

$$\mathbf{n}_x = -\frac{p}{|\mathbf{n}|}, \quad \mathbf{n}_y = -\frac{q}{|\mathbf{n}|}, \quad \mathbf{n}_z = \frac{1}{|\mathbf{n}|}, \quad (2.40)$$

mistä seuraa, että

$$p = -\mathbf{n}_x |\mathbf{n}| = -\frac{\mathbf{n}_x}{\mathbf{n}_z}, \quad q = -\mathbf{n}_y |\mathbf{n}| = -\frac{\mathbf{n}_y}{\mathbf{n}_z}, \quad (2.41)$$

eli osittaisderivaattojen avulla ilmaistuna

$$\frac{\delta z}{\delta x} = -\frac{\mathbf{n}_x}{\mathbf{n}_z}, \quad \frac{\delta z}{\delta y} = -\frac{\mathbf{n}_y}{\mathbf{n}_z}. \quad (2.42)$$

Kun tämä osittaisdifferentiaaliyhtälöpari ratkaistaan joillakin reunaehdoilla, saadaan ratkaisuna pinnan korkeus paikan funktiona $z(x, y)$.

Koska kuvat muodostuvat diskreeteistä pisteistä, voidaan osittaisderivaatat kirjoittaa mitattavan suuruisten differenssien osamäärinä seuraavasti:

$$\frac{\Delta z_x}{\Delta x} = -\frac{\mathbf{n}_x}{\mathbf{n}_z}, \quad \frac{\Delta z_y}{\Delta y} = -\frac{\mathbf{n}_y}{\mathbf{n}_z}. \quad (2.43)$$

Valitsemalla koordinaatisto siten, että kahden vierekkäisen kuvapisteen välinen etäisyys sekä x - että y -suunnassa on yksi ($\Delta x = \Delta y = 1$), saadaan

$$\Delta z_x = z_{x+1,y} - z_{x,y} = -\frac{\mathbf{n}_x}{\mathbf{n}_z}, \quad \Delta z_y = z_{x,y+1} - z_{x,y} = -\frac{\mathbf{n}_y}{\mathbf{n}_z}. \quad (2.44)$$

Soveltamalla näitä yhtälöitä jokaiseen kuvapisteeseen syntyy ylimääritelty lineaarinen yhtälöryhmä, jossa on $2N$ yhtälöä ja N tuntematonta, joissa N on kuvapisteiden lukumäärä. Yhtälöryhmä saadaan ratkaistua pienimmän neliösumman menetelmällä, ja ratkaisuna on N -pituinen vektori, joka muodostuu kuvapisteiden syvyysarvoista z .

On huomioitava, että tuloksena saadut pisteet (x, y, z) ovat kuvakoordinaatistossa, jossa ykkösen pituinen siirtymä joka akselilla vastaa vierekkäisten kuvapisteen välistä etäisyyttä. Jos kameran linssin vaaka- sekä pystykuvakulmien suuruudet ja kameran etäisyys kohteesta tunnetaan, voidaan pisteet muuntaa reaali maailmaa vastaavaan koordinaatistoon (Wu 1978).

Jälleen on syytä huomioida, että normaalivektorin aallonpituusriippuvuuden myötä myös syvyysarvot z ovat aallonpituuden funktioita.

2.4 Spektroskopia

Sähkömagneettisen säteilyn ja materian välisen vuorovaikutuksen tutkimista kutsutaan *spektroskopiaksi*. Spektroskopiassa tutkittavan kohteen säteilemää, heijastamaa tai absorboimaa sähkömagneettista säteilyä tarkastellaan säteilyn aallonpituuden tai taajuuden funktiona. Termillä viitataan yleensä kokeellisiin spektroskopiisiin mittaamenetelmiin, joissa sähkömagneettisesta säteilystä eritellään sen eri aallonpituudet tai taajuudet eli tuotetaan säteilyn spektri.

Spektrin tuottamiseen ja mittaamiseen käytettävät laitteet ovat *spektrometrejä*. *Optisilla* spektrometreillä mitataan erityisesti valon voimakkuutta aallonpituuden tai taajuuden funktiona. Optisissa spektrometreissä valon eri aallonpituudet tai taajuudet voidaan eritellä käyttäen prismaa ja valon taittumista tai hilaa ja diffraktiota. Optiset spektrometrit voidaan toteuttaa myös käyttäen *interferometriä*, joka hyödyntää usean valoallon superpositioperiaatetta erottaen eri aallonpituudet konstruktivisten ja destruktiivisten interferenssien avulla (Harvey 2012).

2.4.1 Spektrikuvantaminen

Spektrikuvantaminen on spektroskopian ala, jossa spektroskopia yhdistetään valokuvaukseen. Spektrikuvantamisessa kuvan jokaiseen kuvapisteeseen kerätään sähkömagneettisen säteilyn spektri, joka on normaalin kameran keräämää spektriä laajempi ja huomattavasti erottelukykyisempi (Garini, Young ja McNamara 2006). Spektrikuvantamisella on paljon eri sovelluskohteita, joista esimerkkeinä tähtitiede (Pasquini ym. 2002), kaukokartoitus (Teke ym. 2013) ja lääketiede (Lu ja Fei 2014).

Spektrikuvantaminen jaetaan kerättävän spektrin leveyden ja jatkuvuuden sekä spektraalisen erottelukyvyn perusteella alaluokkiin, joita ovat mm. *multispektrikuvantaminen* ja *hyperspektrikuvantaminen*.

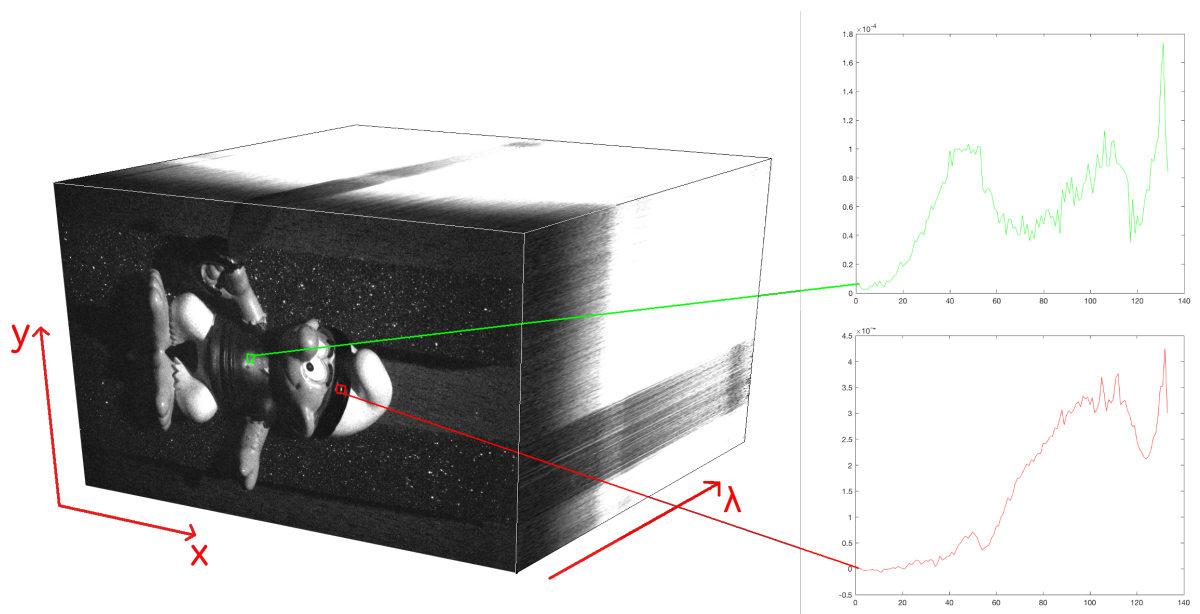
Multispektrikuvantamisessa sähkömagneettisen säteilyn spektri jaetaan kapeisiin aallonpituusalueisiin ja kuvapisteisiin kerätään useamman kuin kolmen eri aallonpituusalueen säteilyn voimakkuus. Multispektrikuvantamisessa kerättävät aallonpituusalueet voivat olla erillään toisistaan jättäen väliinsä keräämättömiä aallonpituusalueita, jolloin kerättävä spektri on epäjatkua. Aallonpituusalueet voivat olla myös näkyvän valon alueen ulkopuolella, ja multispektrikuvat usein sisältävätkin infrapuna-alueen aallonpituuksia (Coffey 2012).

2.4.2 Hyperspektrikuvantaminen

Hyperspektrikuvantamisessa kuvan jokaiseen kuvapisteeseen kerätään joltain aallonpituusväliltä koko valon jatkuva spektri suurella spektraalisella erottelukyvyllä.

Tavallisen kameran kerätessä kolme leveää aallonpituusaluetta (sininen, vihreä ja punainen) hyperspektrikameran kuvat voivat muodostua sadoista kapeista aallonpituusalueista. Hyperspektrikuvien voidaan ajatella olevan kolmiulotteisia kuutioita, jotka muodostuvat useista kaksiulotteisista, eri aallonpituusalueita vastaavista kuvista. Tällaisen kuution kuvapisteisiin viitataan kolmiulotteisilla koordinaateilla (x, y, λ) , joissa x ja y ovat kuvan avaruudelliset koordinaatit ja λ aallonpituuskoordinaatti, jonka yksi arvo käsittää jonkin kapean aallonpituusalueen (Smith 2012). Hyperspektrikuvien voidaan ajatella olevan myös kaksiulotteisia kuvia, joiden kuvapisteiden arvot ovat m -pituisia vektoreita, missä m on kerättyjen aallonpituusalueiden lukumäärä. Kuvio 2 pyrkii havainnollistamaan molempia lähestymistapoja.

Hyperspektrikuvantaminen eroaa multispektrikuvantamisesta kapeampien aallonpituusalueiden ja aallonpituusalueiden suuremman lukumäärän vuoksi. Näin ollen hyperspektrikuvantamisen spektraalinen erottelukyky on suurempi. Tämän lisäksi hyperspektrikuvantaminen eroaa merkittävästi multispektrikuvantamisesta siten, että hyperspektrikuvantamalla kerätyt spektrit ovat aina jatkuvia. Toisin sanoen kerätyt aallonpituusalueet ovat yhtenäisiä (todellisuudessa lisäksi osittain päällekkäisiä), jolloin niiden väliin ei jää keräämättömiä aallonpituusalueita (Govender ym. 2008). Kuviossa 3 on esitettyä tavallisen valokuvan, multispekt-

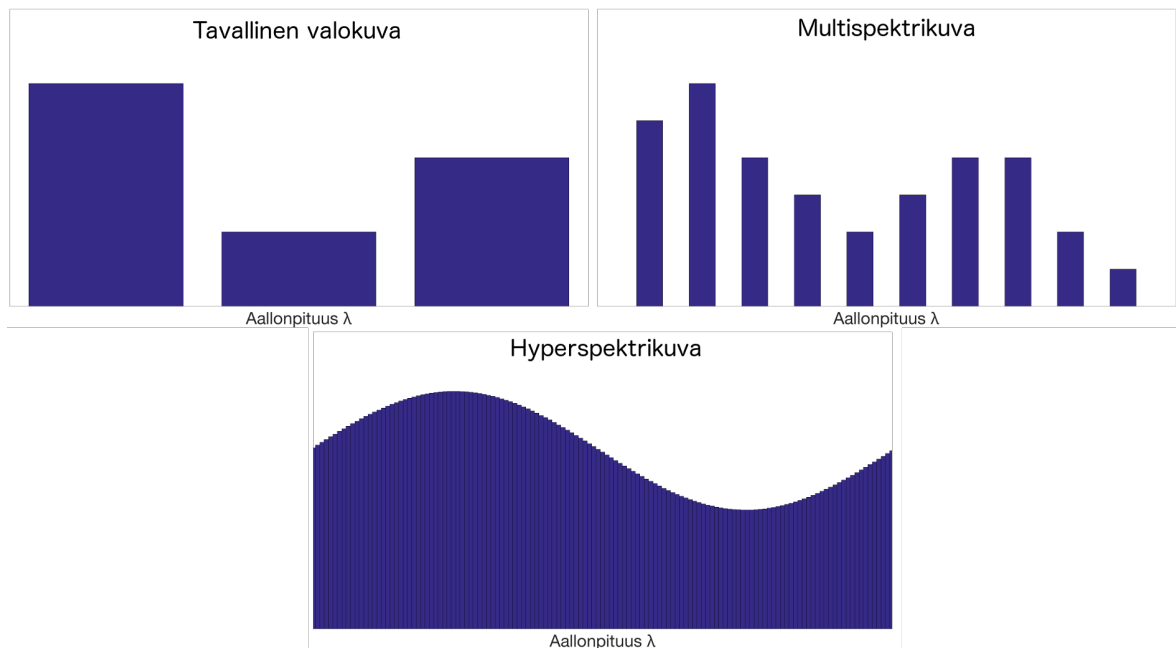


Kuvio 2. Hyperspektrikuvaa vastaava kuutio ja kahden kuvapisteen arvot aallonpituuden funktiona.

rikuvan ja hyperspektrikuvan yhteen kuvapisteeseen kerättyjen aallonpituusalueiden erot.

Eri materiaaleilla on erilaiset niille ominaiset spektrit eli niin sanotut *spektraaliset sormenjäljet*. Näin ollen hyperspektrikuvien avulla on mahdollista tunnistaa kuvatun kohteen materiaali vertaamalla hyperspektrikameran keräämää spektriä eri materiaalien spektraalisiin sormenjälkiin. Hyperspektrikuvantaminen kehitettiin alunperin kaivosteollisuuden ja geologian tarpeisiin (Yuen ja Richardson 2010).

Hyperspektrikameroiden viimeaikainen kehittyminen on mahdollistanut hyperspektraalisen kaukokartoituksen tekemisen myös miehittämättömien ilma-alusten avulla (Saari ym. 2013). Tekniikan kehitys on lisäksi mahdollistanut hyperspektrikuvantamisen leviämisen laajalti myös muihin sovelluskohteisiin kuten rikospaikkatutkintaan (Kuula ym. 2012), taidemaalauksen aitouden todentamiseen (Polak ym. 2017) ja ihosyövän diagnosointiin (Zheludev ym. 2015).



Kuvio 3. Eri kuvantamismenetelmien spektrien erot.

2.4.3 Hyperspektrikameroista

Hyperspektrikameroiden toiminta perustuu yleensä useiden kaksiulotteisten osakuvien ottamiseen jollakin menetelmällä ja osakuvien yhdistämiseen lopulliseksi kolmiulotteiseksi hyperspektrikuvaksi. Hyperspektrikamerat jakautuvat toimintaperiaatteeltaan neljään eri kategoriaan sen perusteella mistä datasta niiden kaksiulotteiset osakuvat muodostuvat. Kategoriat ovat avaruudellisspektraalisesti (spatiospectral) skannaavat, avaruudellisesti skannaavat, skannaamattomat ja spektraalisesti skannaavat hyperspektrikamerat.

Avaruudellisspektraalisesti skannaavat hyperspektrikamerat kuvaavat useita kaksiulotteisia kuvia ja yhdistävät ne jälkikäteen. Yhden tällaisen kaksiulotteisen osakuvan jokainen vaakarivi vastaa eri aallonpituusalueita, jolloin osakuvan aallonpituus on avaruudellisen y -koordinaatin funktio ($\lambda = \lambda(y)$). Koko kolmiulotteisen hyperspektrikuvan muodostaminen vaatii usean osakuvan ottamista, kameran siirtämistä niiden välillä ja osakuvien yhdistämistä ohjelmallisesti. Avaruudellisspektraalisesti skannaavalla hyperspektrikameralla kuvattuna kuvion 2 kuutio muodostuu $y\lambda$ -suuntaisen kyljen diagonaalisesti leikkaavista osittain päällekkäin olevista suorakulmioista.

Avaruudellisesti skannaavat kamerat kuvaavat yhden vaakarivin kuvapisteen vuorollaan keräten kyseisten kuvapisteiden koko spektrin kerralla. Yhden tällaisen kaksikulotteisen osakuvan kuvapisteiden koordinaatit ovat siis (x, λ) . Koko kolmiulotteinen hyperspektrikuva muodostetaan kuvaamalla useita vaakarivejä ja yhdistämällä ne. Avaruudellisesti skannaavalla hyperspektrikameralla kuvattuna kuvion 2 kuutio muodostuu y -akselin suunnassa päällekkäin olevista kaksikulotteisista suorakulmioista. Eri vaakarivit kuvataan eri aikaan ja niiden välillä kameraa siirretään. Avaruudellisesti skannaavat hyperspektrikamerat ovat yleisiä kaukokartoituksessa, koska kaukokartoituksessa kameran liikuttaminen on mielekästä.

Skannaamattomat hyperspektrikamerat keräävät kaksikulotteiselle valoherkälle kennolle kaiken kolmiulotteisen (x, y, λ) hyperspektrikuvan muodostamiseen tarvittavan datan kerralla. Yksi tällainen kaksikulotteinen datajoukko voidaan tulkita hyperspektrikuvaan vastaavan kuution perspektiiviprojektiona, josta kolmiulotteinen rakenne voidaan rekonstruoida tietokoneen avulla.

Spektraalisesti skannaavat hyperspektrikamerat kuvaavat useita kaksikulotteisia monokromaattisia kuvia, jotka yhdistetään kolmiulotteiseksi hyperspektrikuvaksi. Yksi kaksikulotteinen osakuva sisältää molemmat avaruudelliset vapausasteet x ja y aallonpituuskoordinaatin λ ollessa vakio. Spektraalisesti skannaavalla hyperspektrikameralla kuvattuna kuvion 2 kuutio muodostuu λ -akselin suunnassa vierekkäin olevista suorakulmioista. Spektraalisesti skannaavat kamerat pidetään koko spektrin keräämisen ajan paikoillaan. Eri osakuvien ottamisen välillä aallonpituussuodatinta säädetään tai se vaihdetaan kokonaan (Garini, Young ja McNamara 2006).

Teknologian tutkimuskeskus VTT Oy on kehittänyt spektraalisesti skannaavan hyperspektrikameran, jonka toiminta perustuu pietsosähköisellä aktuaattorilla säädettävään Fabry-Perot-interferometriin. Fabry-Perot-interferometrit ovat säädettäviä aallonpituussuodattimia, joita voidaan valmistaa erittäin pienikokoisina ja kevyinä. Näin ollen ne ovat mahdollistaneet hyperspektrikameran miniatyrisoinnin käsikäyttöiseksi. Teknologia on myös kustannustehokas, mikä mahdollistaa hyperspektrikameroiden sarjavalmistuksen.

Fabry-Perot-interferometri muodostuu kahdesta samansuuntaisesta, valoa osittain läpäisevästä peilistä. Peilien heijastavat pinnat ovat vastakkain ja niiden välissä on kapea ilmarako.

Kun peilejä valaistaan ulkopuolelta, osa valosta pääsee kulkeutumaan suoraan peilien läpi ja osa jää heijastelemaan peilien väliin kunnes se jonkin heijastuskertojen määrän jälkeen läpäisee jälkimmäisen peilin. Peilien välillä heijastelleet valoaalot interferoivat peilien välistä aiemmin poistuneiden valoaaltojen kanssa siten, että tiettyjen aallonpituuksien aallot vahvistavat toisiaan, kun taas muiden aallonpituuksien aallot vaimentavat. Näin ollen peilien läpi tulevan valon spektriin muodostuu vahvistavien interferenssien aallonpituuksien kohdalle piikkejä ja Fabry-Perot-interferometri toimii aallonpituussuodattimena. Suodattimen läpi pääsevien piikkien aallonpituudet riippuvat peilien välisen ilmaraon suuruudesta.

VTT:n kehittämässä kamerassa peilien välisen raon suuruutta säädetään erittäin nopeasti ja tarkasti pietsosähköisen aktuaattorin avulla (Rissanen ja Saari 2014). Säättäminen voidaan tehdä niin nopeasti, että kaksiulotteiset osakuvat voidaan ottaa lähes välittömästi toistensa jälkeen. Nopeutta rajoittavina tekijöinä onkin kamerasen valoherkän kennon nopeus sekä valotusaika. Raon suuruutta voidaan säätää siten, että suodattimen läpi tulevan spektrin maksimikohtat pystytään määräämään alle yhden nanometrin tarkkuudella.

Fabry-Perot-interferometrin läpi pääsevien piikkien maksimikohtien aallonpituuksille pätee likimääräisesti

$$\lambda_n = \frac{2d}{n}, \quad (2.45)$$

missä d on peilien välisen raon suuruus ja $n \in \mathbb{N} = \{1, 2, 3, \dots\}$. Raon suuruus voidaan säätää siten, että tarkasteltavalle aallonpituusvälille osuu aina vain yhdestä kolmeen suodattimen läpi pääsevän spektrin piikkiä. Kamera kerää suodattimen läpi tulevan spektrin Bayer-suodattimella varustetulla RGB-valoherkällä kennolla. Näin ollen spektrin kaikkien piikkien (1-3 kpl) intensiteetit voidaan määrittää, koska RGB-kennon punaista, vihreää ja sinistä vastaavilla kuvapisteillä on eri spektraalinen herkkyysjakauma. Yhdellä Fabry-Perot-interferometrin raon suuruudella saadaan siis kuvattua yhdestä kolmeen aallonpituusalueetta eli hyperspektrikuvan osakuvaa kerralla (Saari ym. 2013).

2.5 Tietokonegrafiikka

Tietokonegrafiikka on laaja tietotekniikan ala, joka käsittelee digitaalisten kuvien tuottamista ja muokkaamista ohjelmallisesti tietokoneen avulla. Se käsittää useita aihepiirejä graafisista

käyttöliittymistä ja kuvankäsittelystä aina tietokoneanimaatioon sekä konenäköön saakka.

Tietokonegrafiikka voidaan jakaa karkeasti kahteen eri osa-alueeseen: kaksi- ja kolmiulotteiseen tietokonegrafiikkaan. Kolmiulotteinen tietokonegrafiikka on yleistynyt viime aikoina huomattavasti teknologian kehittymisen myötä (Hearn ja Baker 2003, 3-33).

2.5.1 Kolmiulotteinen tietokonegrafiikka

Kolmiulotteisessa tietokonegrafiikassa kolmiulotteisesta geometriadatasta eli *mallista* luodaan kaksiulotteinen kuva käyttäen kolmiulotteiseksi *renderöinniksi* kutsuttua prosessia. Luotuja kuvia voidaan näyttää reaaliajassa tai tallentaa myöhempää esittämistä varten. Kolmiulotteista grafiikkaa käytetään laajalti eri sovelluskohteissa, joita ovat muuan muassa tietokoneavusteinen suunnittelu, tietokonepelit ja elokuvat.

Kolmiulotteisessa tietokonegrafiikassa kuvan luominen muodostuu pääosin kolmesta eri vaiheesta: mallintamisesta, sijoittelusta ja renderöinnistä. Mallintamisessa jostakin kohteesta luodaan malli, joka koostuu kolmiulotteisesta geometriadatasta ja materiaalia mallintavista tekstuureista. Mallin voi luoda artisti, tai se voidaan luoda automaattisesti käyttäen esimerkiksi kolmiulotteista skanneria tai proseduaalisesti mallintavaa tietokoneohjelmaa. Sijoittelussa mallit sijoitetaan renderöitävään näkymään halutussa koossa ja haluttuihin paikkoihin sekä asentoihin. Renderöinnissä kolmiulotteisista malleista luodaan tietokoneen avulla kaksiulotteinen kuva. Renderöintimenetelmiä on useita erilaisia, ja ne voidaan jakaa niiden suoritusajojen perusteella kahteen pääluokkaan: reaaliaikaisiin ja ei-reaaliaikaisiin renderöintimenetelmiin.

Ei-reaaliaikaisia menetelmiä käyttäen voi yhden kuvan renderöintiin kulua useita päiviä. Ei-reaaliaikaisten menetelmien tuottama kuvanlaatu on yleisesti ottaen kuitenkin huomattavasti korkeampi kuin reaaliaikaisten menetelmien. Ei-reaaliaikaisiin menetelmiin lukeutuu muun muassa *säteenseuranta*. Ei-reaaliaikaisten menetelmien renderöimät kuvat tallennetaan muistiin, josta ne voidaan myöhemmin ladata ja näyttää nopeasti.

Interaktiivisissa kolmiulotteisen tietokonegrafiikan sovelluskohteissa kuten tietokonepeleissä ja simulaatioissa on välttämätöntä käyttää reaaliaikaisia renderöintimenetelmiä. Niissä kuvaa saatetaan päivittää 60 kertaa sekunnissa, jolloin yhden kuvan renderöintiin on käy-

tettävissä korkeintaan noin 16,7 millisekuntia. Vaikka reaaliaikaiset renderöintimenetelmät eivät kuvanlaadullisesti yllä ei-reaaliaikaisten menetelmien tasolle, on niiden tuottamien kuvien fotorealistsuus kasvanut viime aikoina huomattavasti. Tähän on itse menetelmien kehittymisen lisäksi syynä niille osoitetun laitteistotuen kehittyminen. Yleisin nykyisin käytetty reaaliaikainen renderöintimenetelmä on *rasterointi*. Menetelmän eri vaiheita ja niiden järjestyksestä kuvaa *grafiikkaliukuhihnaksi* (graphics pipeline) kutsuttu malli, joka on nykyaikaisissa grafiikkasuorittimissa toteutettu laitteistotasolla. Grafiikkaliukuhinnan kolme päävaihetta ovat: sovellus-, geometria- ja rasterointivaihe.

Grafiikkasovellus, esimerkiksi tietokonepeli, suorittaa grafiikkaliukuhinnan sovellusvaiheen. Se suoritetaan keskussuorittimella, ja kehittäjällä on sen toteutuksen suhteen täysi kontrolli. Sovellusvaiheen vastuuna on suorittaa kolmiulotteisten mallien sijoittelu ja päättää mitä renderöidään. Sovellusvaiheen viimeinen ja tärkein tehtävä on syöttää renderöitävät geometriat geometriavaiheelle. Syötettävät geometriat muodostuvat *renderöinti primitiiveistä*, jotka ovat pisteitä, viivoja tai yleensä kolmioita.

Geometriavaihe suorittaa syötteenä saatujen primitiivien kulmapisteille eli *vertekseille* erilaisia operaatioita. Geometriavaihe jakaantuu itsessään viiteen pienempään alivaiheeseen: malli- ja näkymämuunnos-, verteksivarjostus-, projektio-, leikkaus- sekä näyttökuvaus (screen mapping) -vaiheeseen. Malli- ja näkymämuunnosvaiheessa mallit sijoitellaan haluttuihin paikkoihin ja asentoihin muuntamalla niiden verteksien koordinaatit mallimuunnoksella mallin lokaalista koordinaatistosta maailman koordinaatistoon. Tämän jälkeen verteksit muunnetaan näkymämuunnoksella maailman koordinaatistosta näkymäkoordinaatistoon, joka vastaa virtuaalisen kameran, sen hetkisen sijainnin ja orientaation mukaista näkymää. Verteksivarjostusvaiheessa on mahdollista muokata vertekseihin liittyviä tietoja kuten värejä, tekstuurikoordinaatteja ja normaalivektoreita, jonka jälkeen ne lähetetään rasterointivaiheelle. Projektiovaiheessa verteksien koordinaatit projisoidaan kolmesta ulottuvuudesta kahteen. Projektio on yleensä suora ortogonaaliprojektio tai perspektiivin huomioon otettava perspektiiviprojektio. Leikkausvaiheessa kuvan ulkopuolelle jäävät primitiivit ja verteksit poistetaan. Näyttökuvausvaiheessa primitiivien koordinaatit skaalataan renderöitävän kuvan kuvakoordinaatteihin.

Rasterointivaihe määrittää kuvakoordinaateissa olevien geometrioiden peittämät kuvapistet

ja niiden värit. Vaihe jakaantuu neljään alivaiheeseen: kolmiojärjestely, kolmioiden läpikäynti, kuvapistevarjostus ja yhdistäminen. Kolmiojärjestelyvaiheessa kolmiopinnoille lasketaan gradientit ja muita tietoja, joita käytetään myöhemmin vertekseiin liitettyjen tietojen kuvapistekohtaisessa interpoloinnissa. Kolmioiden läpikäyntivaiheessa kaikki kuvapisteeet käydään läpi ja tarkistetaan, onko niiden keskipiste jonkin kolmion sisällä. Kolmion kolmeen verteksiin liitetyt tiedot interpoloidaan jokaiselle kolmion sisään jäävälle kuvapisteelle. Kuvapistevarjostusvaiheessa jokaisen renderöitävän kuvapisteen väri määritetään interpoloituja tietoja käyttäen. Kuvapisteiden värit kirjoitetaan *väripuskuriin*, ja yhdistämisvaiheen tehtävänä on yhdistää kuvapistevarjostusvaiheen tuloksena syntyneet värit väripuskurissa jo valmiina olevien värien kanssa. Yhdistämisvaiheen tehtävänä on myös verrata sillä hetkellä renderöitävän ja väripuskurissa jo valmiina olevan kuvapisteen syvyysarvoja ja sen perusteella määrittää renderöitävän kuvapisteen näkyvyys (Akenine-Möller, Haines ja Hoffman 2008, 11-25).

2.5.2 Varjostinohjelmat

Osa edellä esitellyistä grafiikkaliukuhinnan vaiheista on toteutettu laitteistotasolla siten, että kehittäjällä ei ole niihin ollenkaan kontrollia tai kehittäjä pystyy kontrolloimaan niitä ainoastaan ennalta määrättyjen konfiguraatiovaihtoehtojen avulla. Moderneissa grafiikkasuorittimissa malli- ja näkymämuunnos-, verteksivarjostus- sekä kuvapistevarjostusvaiheet ovat kuitenkin täysin kehittäjän vapaasti ohjelmoitavissa.

Malli- ja näkymämuunnos- sekä verteksivarjostusvaiheita ohjelmoidaan grafiikkasuorittimella suoritettavan *verteksivarjostinohjelman* avulla. Muiden kuin ortogonaaliprojektoiden tapauksessa myös osa projektiovaiheesta suoritetaan verteksivarjostinohjelmassa. Verteksivarjostinohjelma suoritetaan jokaiselle renderöitävälle verteksille ja yleensä usealle verteksille yhtäaikaaisesti. Se saa syötteenä yhden verteksin paikkakoordinaatit ja muut verteksiin mahdollisesti liitetyt tiedot. Yksi verteksivarjostinohjelman suoritusinstanssi ei voi saada tietoja muista verteksistä kuin sen itsensä käsittelemästä. Sovellusvaihe voi kuitenkin syöttää verteksivarjostusohjelmille vertekseistä riippumattomia vakiotietoja, jotka on jaettu kaikkien eri suoritusinstanssien kesken. Tällaisia vakiotietoja voivat olla esimerkiksi koordinaatistomuunnosmatriisit. Verteksivarjostinohjelman on aina palautettava vähintään verteksin paik-

kakoordinaatit, mutta se voi palauttaa myös muita tietoja. Palautetut tiedot interpoloidaan rasterointivaiheessa jokaiselle kuvapisteelle.

Modernien grafiikkasuorittimien ohjelmoitava kuvapistevarjoitusvaihe toteutetaan *kuvapistevarjoitusohjelman* avulla. Kuvapistevarjoitusohjelma suoritetaan jokaiselle kuvapisteelle ja yleensä usealle kuvapisteelle yhtäaikaisesti. Kuvapistevarjoitusohjelma saa syötteenään verteksivarjoitusohjelman palauttamien ja rasterointivaiheen kuvapisteelle interpoloidut tiedot. Kuvapistevarjoitusohjelma ei voi saada tietoja muista kuvapisteistä kun sen itse käsittelemistä. Kuvapistevarjoitusohjelmilla on kuitenkin mahdollisuus lukea sovellusvaiheen niille syöttämiä kuvapisteistä riippumattomia jaettuja vakiotietoja. Tällaisia vakiotietoja voivat olla esimerkiksi valojen sijainnit ja luvussa 2.5.3 esiteltävät *tekstuurit*. Kuvapistevarjoitusohjelma palauttaa yleensä kuvapisteen värin, jonka yhdistämisvaihe voi kirjoittaa väripuskuriin (Bailey ja Cunningham 2009, 39-49).

Kuvapistevarjoitusohjelman on usein tarkoituksena simuloida virtuaalisten valonlähteiden säteilemien irradianssien heijastuminen renderöitävän kohteen pinnalta ja laskea kuvapisteeseen heijastuneen irradianssin arvo. Esimerkiksi jos kuvapistevarjoitusohjelma saa syötteenä normaalivektorin, albedon, valonlähteen sijainnin sekä irradianssi ja renderöitävän kohteen materiaali heijastaa Lambertin pinnan mukaisesti, niin kuvapisteeseen saapuva irradianssi voidaan laskea yhtälöstä 2.25. Koska irradianssi, albedo ja heijastunut irradianssi ovat aallonpituuden funktioita, ne ovat tavallisesti ilmaistu kolmekomponenttisina vektoreina, joissa yksi komponenteista vastaa punaista, yksi vihreää ja yksi sinistä aallonpituusalueita (Akenine-Möller, Haines ja Hoffman 2008, 110-116).

2.5.3 Teksturointi

Tekstuurit ovat pohjimmiltaan kaksiulotteisia datataulukkoja. Ne voivat olla väridataa sisältäviä kuvia tai muuta lokaalia dataa sisältäviä *karttoja*. Ne muodostavat renderöitävien mallien materiaalit. Tekstuurit liitetään renderöitäviin geometrioihin yleensä tekstuurikoordinaattien avulla siten, että mallinnusvaiheessa jokaiselle verteksille annetaan omat kaksiulotteiset tekstuurikoordinaatit. Rasterointivaihe interpoloi tekstuurikoordinaatit kuvapisteille, jonka jälkeen kuvapistevarjoitusvaihe voi niiden avulla lukea tekstuurista juuri sillä hetkellä

prosessoitavaan kuvapisteeseen liittyvän elementin.

Yksi yleisimmin käytetyistä tekstuureista on *albedokartta*, jonka jokainen elementti sisältää mallin vastaavan kohdan lokaalin albedon, yleensä kolmekomponenttisena, kolmea eri aallonpituusaluetta vastaavana vektorina. Albedokartta on käytännössä siis mallin värejä sisältävä kuva.

Kun mallin lokaaleja pinnan muotoja halutaan valaistuksen yhteydessä kuvata tarkemmalla tasolla kuin mitä vertekseihin liitetyt sijainnit ja normaalivektorit mahdollistavat, malliin voidaan liittää *normaalikartaksi* kutsuttu tekstuuri. Normaalikartan jokainen elementti sisältää mallin vastaavan kohdan kolmekomponenttisen normaalivektorin.

Toinen mallin lokaalien muotojen tarkentamisen mahdollistava tekstuuri on *syvyyskartta*. Syvyyskartan elementit sisältävät tiedon mallin pinnan lokaalista syvyydestä suhteessa renderöintiin, esimerkiksi kolmion määräämään tasoon. Elementtien arvot ovat näin ollen skalaareja. Syvyysarvoja voidaan hyödyntää pisteen sijainnin ja näin ollen myös esimerkiksi valon suunnan tarkemmassa arvioinnissa (Akenine-Möller, Haines ja Hoffman 2008, 147-183).

2.5.4 OpenGL

OpenGL (Open Graphics Library) on ohjelmointikieli- ja alustariippumaton grafiikkaohjelmointirajapinta, jonka avulla kolmiulotteisista malleista voidaan renderöidä kaksiulotteisia kuvia käyttäen grafiikkasuorittimen laitteistotason tukea. Se mahdollistaa grafiikkaliukuhinnan sovellusvaiheen ja muiden ohjelmoitavien vaiheiden toteuttamisen sekä laitteistotasolla toteutettujen vaiheiden konfiguroimisen (Khronos Group 2016a). OpenGL on tilakone, joka muodostuu joukosta funktioita, joilla voidaan muuttaa sen tilaa. OpenGL tarjoaa ainoastaan rajapinnan määrittelyyn. Toteutuksen toimittaa grafiikkasuoritinvalmistaja, käyttöjärjestelmä tai jokin muu kolmas osapuoli. OpenGL on käytössä laajalti eri aloilla kuten tieteellisessä visualisoinnissa, tietokoneavusteisessa suunnittelussa ja tietokonepeleissä (Puhakka 2008, 355-357). Rajapinnan ensimmäinen versio, versio 1.0 julkaistiin vuonna 1992 (Khronos Group 2016a) ja viimeisin, versio 4.5, vuonna 2014 (Khronos Group 2016b).

OpenGL:n ensimmäisissä versioissa grafiikkaliukuhinnan geometria- ja rasterointivaiheiden

ohjelmoitavat alivaiheet oli toteutettava matalan tason ARB assembly -ohjelmointikielellä. Kuitenkin vuonna 2004 julkaistusta versiosta 2.0 lähtien OpenGL on mahdollistanut verteksi- ja kuvapistevarjojstinohjelmien toteuttamisen C-ohjelmointikieleen perustuvalla korkean tason ohjelmointikielellä GLSL (OpenGL Shading Language). Se tukee lähes kaikkia C-kielen kontrollirakenteita ja operaattoreita paitsi osoittimia ja rekursiota. GLSL-ohjelmat käännetään konekielelle OpenGL-rajapinnan ja grafiikkasuoritinvalmistajien kehittämien ajureiden avulla (Bailey ja Cunningham 2009, 25-31). GLSL:n viimeisin versio on vuonna 2014 julkaistu 4.50 (Khronos Group 2016b).

2.6 GPGPU ja numeerinen lineaarialgebra

2.6.1 GPGPU

Koska varjojstinohjelmiä on tarve suorittaa useille verteksille ja kuvapisteille yhtäaikaaisesti, on nykyaikaisten grafiikkasuorittimien kehitys keskittynyt laskennan rinnakkaistamiseen. Verteksi- ja kuvapistevarjojstinohjelmille oli aiemmin käytössä omat erilliset suoritinyksikönsä mutta nykyaikaisissa grafiikkasuorittimissa molemmat suoritetaan käyttäen samoja suoritinytimiä. Uusimmissa grafiikkasuorittimissa tällaisia ohjelmoitavia suoritinytimiä voi olla satoja tai jopa tuhansia.

GPGPU (General-purpose computing on graphics processing units) on ohjelmistokehitysmenetelmä, jossa grafiikkasuorittimen erittäin suurta suoritinytimien lukumäärää hyödynnetään grafiikan renderöinnin sijaan yleiseen, normaalisti keskussuorittimella suoritettavaan laskentaan. Vaikka keskussuorittimien kellotaajuus, sarjallisten operaatioiden suorituskyky ja toimintojen määrä on yleensä grafiikkasuorittimia korkeampi, muodostuvat keskussuorittimet vain muutamista peräkkäisiin operaatioihin optimoiduista suoritinytimistä (Ghorpade ym. 2012). Näin ollen tietynlaisten, hyvin rinnakkaistuvien ongelmien ratkaiseminen grafiikkasuorittimella voi keskussuorittimeen verrattuna olla kymmeniä tai jopa satoja kertoja nopeampaa (Pevar ym. 2015).

GPGPU:n rinnakkaislaskenta toteutetaan käyttäen *virtausprosessointi* (stream processing) -ohjelmointiparadigmaa, joka mahdollistaa useiden suoritinytimien yhtäaikaisten käytön, ilman eksplisiittistä allokoinnin, synkronoinnin ja suoritinytimien välisen kommunikoinnin

hallintaa. Virtausprosessoinnissa suoritettavan rinnakkaislaskennan mahdollisuudet on rajoitettu siten, että se yksinkertaistaa siihen tarvittavaa ohjelmistoa ja laitteistoa. Tyypillisesti virtausprosessoinnissa suoritetaan jonkin datajoukon jokaiselle elementille sama joukko operaatioita. Tämä on mahdollista moderneilla grafiikkasuorittimilla, koska ne kuuluvat rinnakkaistietokoneiden *SIMD* (single instruction, multiple data) -luokkaan. SIMD-luokan tietokoneet suorittavat samat operaatiot useille eri data-alkioille samanaikaisesti. Näin ollen ne toteuttavat datatason rinnakkaisuuden, jossa yhdellä ajanhetkellä käsitellään useita data-alkioita, mutta suoritetaan vain yhtä käskyä (Kapasi ym. 2003).

GPGPU:ta sovelletaan useilla eri aloilla, joihin lukeutuu muun muassa fysikaalinen simulointi (Unnc, Inoue ja Asar 2009) ja konenäkö (Varnavas ym. 2010).

2.6.2 OpenCL

GPGPU-menetelmää sovellettiin alussa käyttäen grafiikkarenderointiin tarkoitettuja ohjelmointirajapintoja ja tapoja kuten verteksi- sekä kuvapistevärjostinohjelmia. Menetelmän avulla ratkaistavat ongelmat oli muunnettava ensin muotoon, joka oli esitettävissä grafiikkarenderoinnissa käytettävien käsitteiden avulla. Näin ollen GPGPU on ollut alusta lähtien yleinen erityisesti matriiseihin ja vektoreihin liittyvissä ongelmissa, joita grafiikkasuorittimet tukevat natiivisti.

GPGPU:n yleistyttyä ja paremman käyttörajapinnan tarpeen kasvettua menetelmälle on kehitetty useita omia ohjelmistokehyksiä. Yksi yleisimmistä on laitteistoriippumaton OpenCL. Se tukee grafiikkasuorittimen lisäksi myös muita kohdelaitteita kuten keskussuorittimia ja digitaalisia signaaliprosessoreja. OpenCL muodostuu isäntälaitteella suoritettavan osuuden toteuttamiseen tarkoitettusta ohjelmointirajapinnasta sekä kohdelaitteella suoritettavan osuuden toteuttamiseen tarkoitettusta ohjelmointikielestä. Tällä ohjelmointikielellä toteutetaan niin sanottuja *ydinfunktioita*, joita suoritetaan useille eri datajoukoille yhtäaikaisesti (Du ym. 2012).

OpenCL:n ensimmäinen versio julkaistiin vuonna 2008. Viimeisin versio on vuonna 2017 julkaistu 2.2 (Khronos Group 2017).

2.6.3 Numeerinen lineaarialgebra

Numeerinen lineaarialgebra on matematiikan ja tietotekniikan ala, joka käsittelee lineaarialgebran laskentaan liittyviä algoritmeja, ja erityisesti suurten lineaaristen yhtälöryhmien ratkaisemista tietokoneella. Se on tärkeä osa useita laskennallisten tieteiden aloja, ja sitä sovelletaan laajalti myös käytännössä.

Monissa laskennallisten tieteiden ongelmissa syntyy lineaarisia yhtälöryhmiä, joissa voi olla useita miljoonia yhtälöitä ja muuttujia. Tällöin on erityisen tärkeää, että yhtälöryhmän ratkaisemisessa käytetty menetelmä on mahdollisimman nopea. Tällaisia menetelmiä on kehitetty useita ja ne jakautuvat kahteen luokkaan: *suoriin* ja *iteratiivisiin* menetelmiin. Suorat menetelmät antavat yhtälöryhmälle suoraan tarkan ratkaisun, kun taas iteratiiviset menetelmät lähtevät liikkelle jostakin ratkaisun alkuarvauksesta ja parantavat likimääräistä ratkaisua iteratiivisesti, kunnes sille ollaan saavutettu haluttu tarkkuus (Layton ja Sussman 2014).

Suorat menetelmät ovat iteratiivisia menetelmiä luotettavampia, ja niiden suoritusajat ovat helpommin ennakoitavissa. Niiden vaatimat muistin määrät ja suoritusajat saattavat kuitenkin kasvaa kohtuuttomat suuriksi, kun ratkaistavien yhtälöryhmien koko kasvaa (Hartikainen ja Kouhia 2010). Eräs tunnettu suora menetelmä on *QR-ratkaisija*, joka hyödyntää yhtälöryhmän kerroinmatriisista muodostettua QR-hajotelmaa, ja joka soveltuu myös *ylimääritelyjen* yhtälöryhmien ratkaisemiseen (MathWorks 2017). Yhtälöryhmä on ylimääritely kun yhtälöiden lukumäärä on suurempi kuin muuttujien.

Iteratiiviset menetelmät voivat erittäin suurten yhtälöryhmien tapauksissa olla suorita menetelmiä nopeampia ja käyttää niitä vähemmän muistia. Yksi erityisesti *positiivisesti definiittien* matriisien kanssa yleisesti käytetty iteratiivinen menetelmä on *konjugaattigradienttimenetelmä* (Hartikainen ja Kouhia 2010). Reaalinen matriisi \mathbf{M} on positiivisesti definiitti, jos $\mathbf{z}^T \mathbf{M} \mathbf{z} > 0$ kaikilla nollasta poikkeavilla sarakevektoreilla \mathbf{z} .

Iteratiiviset menetelmät soveltuvat erityisen hyvin *harvojen* kerroinmatriisien omaavien yhtälöryhmien ratkaisemiseen. Matriisi on harva, jos suuri osa sen alkioista on nollija. Tarkalleen ottaen kun nollasta poikkeavien alkoiden lukumäärä riippuu lineaarisesti yhtälöiden lukumäärästä (Hartikainen ja Kouhia 2010). Harvoille matriiseille voidaan käyttää niille erityisesti mukautettuja tietorakenteita, jotka tallentavat ainoastaan nollasta poikkeavat alkioita ja

voivat näin ollen säästää muistia huomattavan paljon.

Iteratiivisten menetelmien tuottamat likiarvoiset ratkaisut saattavat joidenkin yhtälöryhmien tapauksessa konvergoida erittäin hitaasti. Suppenemista voidaan nopeuttaa käyttämällä *pohjustinoperaatiota*, jossa alkuperäisen yhtälöryhmän $\mathbf{Ax} = \mathbf{b}$ sijaan ratkaistaan sen kanssa ekvivalentti, pohjustettu yhtälöryhmä $\mathbf{M}_1^{-1}\mathbf{A}\mathbf{M}_2^{-1}\mathbf{x} = \mathbf{M}_1^{-1}\mathbf{b}$, missä \mathbf{M}_1^{-1} ja \mathbf{M}_2^{-1} ovat vaseman- ja oikeanpuoleiset *pohjustinmatriisit* tässä järjestyksessä (Hartikainen ja Kouhia 2010). Pohjustinmatriisien muodostamiseen on useita menetelmiä ja yksi positiivisesti definiittien kerroinmatriisien omaavien yhtälöryhmien kanssa yleisesti käytetty on *Chow-Patel-ICHol0* (TUWien 2016b).

2.6.4 ViennaCL

ViennaCL on avoimeen lähdekoodiin perustuva numeerisen lineaarialgebraan erikoistunut ohjelmointikirjasto. Se on mahdollista konfiguroida käyttämään sisäisessä toteutuksessaan OpenCL-kirjastoa, jolloin se voi hyödyntää laskennassaan kaikkia OpenCL:n tukemia kohdelaitteita, joista erityisesti mainittakoon grafiikkasuorittimet. ViennaCL-kirjasto muodostuu ohjelmointirajapinnasta, joka tukee C++-, Python- ja Matlab-ohjelmointikieliä. Kirjaston uusin versio on vuonna 2016 julkaistu 1.7.1.

ViennaCL-kirjaston toteuttamat lineaaristen yhtälöryhmien ratkaisualgoritmit ovat keskittyneet erityisesti iteratiivisiin menetelmiin. Siitä löytyy toteutus muun muassa edellisessä luvussa mainitulle konjugaattigradienttimenetelmälle. Lisäksi se tukee pohjustinoperaatioita, ja sen avulla voidaan muodostaa Chow-Patel-ICHol0-pohjustinmatriiseja. Kirjastossa on toteutettu myös harvan matriisin tietorakenne ja harvojen matriisien muodostamien yhtälöryhmien ratkaiseminen.

ViennaCL tarjoaa valmiiden toteutuksien lisäksi mahdollisuuden toteuttaa myös omia, mukautettuja ydinohjelmia (TUWien 2016a).

3 Hyperspektrikuvantaminen fotometrisessä stereossa

Tässä tutkimuksessa tarkasteltiin fotometrisen stereon toteuttamista hyperspektrikameralla otettujen kuvien avulla. Fotometristä stereota sovellettiin erikseen jokaiseen hyperspektrikuvan aallonpituusalueeseen. Jokaiselle aallonpituusalueelle muodostettiin sitä vastaava albedokartta sekä pinnan muodon määrittävät normaali- ja syvyyskartat.

Tutkimuksessa hyperspektrikuvattiin kolme eri kohdetta: Smurffi-hahmo, jääkaappimagneetti ja Lego-rakennelma. Kohteet valittiin niiden diffuusin heijastavuuden sekä vaihtelevien muotojen ja värien perusteella. Valinnat tehtiin kuitenkin niin, että muotojen vaihtelut olivat tarpeeksi maltilliset, jotta kohteet eivät varjosta liikaa itseään eivätkä omaa liikaa syvyydellisiä epäjatkuvuuskohtia.

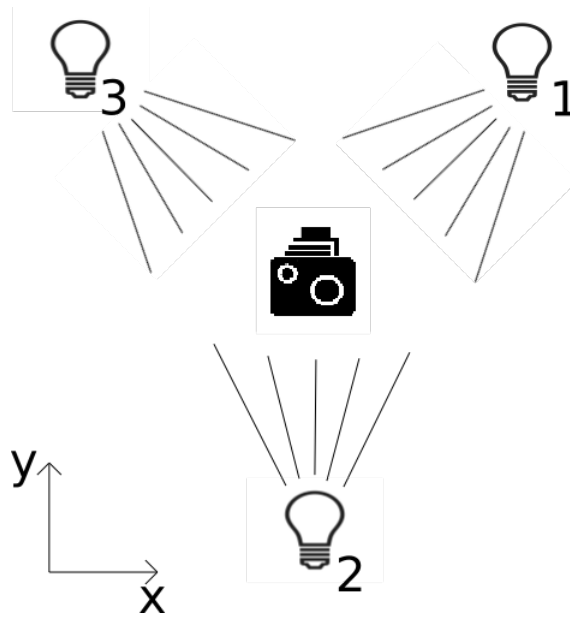
3.1 Koejärjestely

3.1.1 Kuvausasetelma

Tutkimuksessa kohteet kuvattiin käyttäen kolmea valonlähdettä. Jokaisesta kohteesta otettiin kolme hyperspektrikuvaa valaisten kohdetta kunkin kuvan kohdalla yhdellä valonlähteellä kerrallaan, luvussa 2.3.2 esitetyn menetelmän mukaisesti. Kuvat otettiin näiden valonlähteiden säteilemää valoa lukuunottamatta täysin pimeässä huoneessa varmistaen näin, että kohteen pinnalle saapuva irradianssi on peräisin ainoastaan halutusta valonlähteestä.

Kuviossa 4 on merkitty valonlähteiden suurpiirteiset sijainnit suhteessa kameraan ja näin ollen myös kuvion samassa kohdassa sijaitsevaan kuvattavaan kohteeseen. Sijainnit on esitetty tutkimuksessa käytetyn, luvussa 3.2.2 esiteltävän koordinaatiston xy -suuntaiselle tasolle projisoituna. Kuvio esittää myös valonlähteiden järjestysnumerot, joihin tullaan viittaamaan jatkossa.

Kameran etäisyys kuvattavasta kohteesta oli noin 29 cm ja valonlähteiden noin 150 cm. Kuviossa 5 on tutkimuksessa käytetty kuvausasetelma valonlähteen 1 ollessa kytkettynä päälle.



Kuvio 4. Valojen sijainnit ja järjestysnumerot.

3.1.2 Koelaitteisto

Tutkimuksessa käytettiin luvussa 2.4.3 esitelytä Teknologian tutkimuskeskus VTT Oy:n kehittämää hyperspektrikameraa, jonka toiminta perustuu pietsosähköisellä aktuaattorilla säädettyyn Fabry–Perot-interferometriin. Kameran valoherkkä kenno on tavallinen Bayer-suodattimella varustettu CMOS-tyyppinen RGB-kenno. Tällöin yhdellä valotuksella ja interferometrin raon suuruudella saadaan kuvattua maksimissaan kolme aallonpituusalueita kerrallaan. Kennon koko on 1920×1200 kuvapistettä. Kameran spektraalista erottelukykyyä kuvaavat aallonpituusalueiden puoliarvovälyydet ovat väliltä $7,00 - 25,00$ nm. Kamera kykenee havaitsemaan aallonpituusalueet väliltä $400,00 - 1000,00$ nm. Tutkimuksessa käytetty hyperspektrikamera on nähtävissä kuviossa 5.

Hyperspektrikamerassa käytetyn linssin polttoväli on 35 mm ja aukkosuhde $f/1,4$. Linssin vaakasuuntaisen kuvakulman suuruus on $20,9^\circ$ ja pystysuuntaisen $15,8^\circ$.

3.1.3 Koeasetukset

Tutkimuksen hyperspektrikuvat otettiin käyttäen kameran suurinta mahdollista resoluutiota, jolloin kuvissa on 1920×1200 kuvapistettä jokaista aallonpituusalueetta kohden. Jatkossa



Kuvio 5. Kuvausasetelma.

yhtä tällaista aallonpituusaluetta vastaavien kuvapisteiden joukkoa kutsutaan hyperspektrikuvan *siivuksi*.

Tutkimuksessa otetuissa hyperspektrikuviissa on 133 siivua väliltä 456,00 – 840,00 nm. Aallonpituusalueiden puoliarvoveydet ovat väliltä 11,79 – 16,64 nm ja niiden keskiarvo on 14,07 nm. 133 aallonpituusaluetta kerättiin käyttäen 81 eri interferometrin raon suuruutta. Yhdellä raon suuruudella tehdyn valotuksen valotusaika oli 150 ms, jolloin yhden hyperspektrikuvan ottamiseen kulunut kokonaisaika oli 12,15 s.

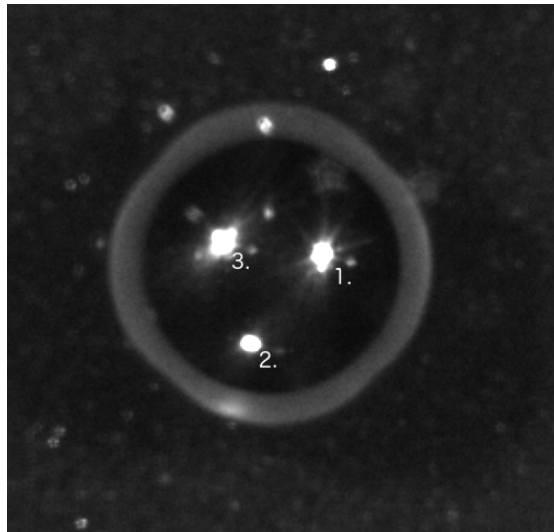
Hyperspektrikameran raakakuvista interpoloidut tutkimuksen toteutuksessa käytetyt kuvat tallennettiin ENVI-formaatissa. Kuvapisteet kirjoitettiin ENVI-tiedostoihin BSQ (Band Sequential Format) -muodossa, jossa tiedostot alkavat ensimmäisen siivun ylimmän vaakarivin kuvapisteiden arvoilla. Niitä seuraa saman siivun seuraavan vaakarivin kuvapisteiden arvot ja näin jatkuen alimpaan vaakariviin saakka, jonka jälkeen alkaa seuraava siivu ylimmästä vaakarivistä. Kuvapisteiden arvot on kirjoitettu kaskinkertaisen tarkkuuden liukulukuina siten, että liukuluvun eniten merkitsevät tavut on tallennettu liukuvun alimpiin muistiosoitteisiin.

3.2 Valojen suunnat

3.2.1 Kalibrointi- ja maskikuvat

Jotta luvussa 2.3.2 esitetty yhtälöryhmä (2.35) voitaisiin ratkaista, on valojen suuntavektorit l tunnettava. B. K. Horn (1989) ehdotti niiden määrittämiseksi menetelmää, jossa spekulaaarisesti heijastava pallo kuvataan samoissa asetelmissa kuin tutkittava kohde, jolloin valojen spekulaaaristen heijastuksien huippukohdista saadaan ratkaistua valojen suunnat. Kyseistä menetelmää käytettiin tässä tutkimuksessa.

Valojen suuntien määrittämistä varten otetuissa kalibrointikuvissa käytettiin kromipalloa, joka heijastaa valoa lähes ainoastaan spekulaaarisesti. Pallosta otettiin kolme kuvaa valaisten sitä samoista etäisyyksistä ja suunnista kuin tutkittavaa kohdetta, yhdestä suunnasta kerrallaan. Kuvat otettiin samalta etäisyydeltä kuin tutkittavasta kohteesta ja samoilla kameran asetuksilla.



Kuvio 6. Kaikkien kolmen kalibraatiohyperspektrikuvan 67. aallonpituusalue yhdistettynä.

Kuviossa 6 on yhdistettynä kolmen hyperspektrikuvan 67. aallonpituusalue, jonka spektraalisen herkkyyden huipun aallonpituus on 615,05 nm ja puoliarvoleveys 15,69 nm. Näin ollen kaikkien kolmen valon spekulaaaristen heijastuksien huippukohdat ovat näkyvissä samassa kuviossa. Kuviossa huippukohdat on merkitty niitä vastaavien valonlähteiden numeroilla, luvussa 3.1.1 esitetyllä numeroimistavalla.

Jotta huippukohtien sijainnit suhteessa kromipalloon saatiin määritettyä automaattisesti, oli ohjelman pystyttävä erottamaan kromipallo kuvasta. Tätä varten luotiin kuvankäsittelyohjelmalla manuaalisesti maskikuva, joka on saman kokoinen kuin hyperspektrikuvien yksi siivu ja jossa kuvapisteen arvot ovat kaikkialla muualla nolla paitsi pallon kohdalla yksi. Kromipallon erottaminen kuvasta olisi mahdollista myös automaattisesti, jos kuvatessa huolehdittaisiin, että pallo erottuu tarpeeksi selkeästi taustastaan.

3.2.2 Suuntien määrittäminen

Kalibrointikuvia otettaessa kameran etäisyys suhteessa kromipallon halkaisijaan oli suuri, joten kameran projektio oletettiin ortogonaaliseksi. Lisäksi tutkimuksen jokaisessa vaiheessa käytetään *oikeakätistä* koordinaatistoa, jossa x -akseli osoittaa vasemmalta oikealle, y -akseli alhaalta ylös ja z -akseli kohti kameraa.

Valojen suuntien määrittäminen toteutettiin Matlab-ohjelmointikielellä ja sen lähdekoodi on liitteenä A.

Toteutuksessa ensimmäisenä ladataan edellisessä luvussa esitelty maskikuva, josta valitaan niiden kuvapisteen joukko, joiden arvo on nolasta poikkeava. Etsimällä tämän joukon kuvakoordinaattien maksimit ja minimi sekä vaakaa- että pystysuunnassa määritetään kromipallon keskipiste ja säde kuvassa. Vaakasuunnan mittayksikkönä on kuvapisteen leveys ja pystysuunnassa vastaavasti kuvapisteen korkeus.

Tämän jälkeen jokaisen valon suunta määritetään yksi kerrallaan käyttämällä aiemmin määritettyä pallon kuvan keskipistettä ja sädettä.

Jokaisen valonlähteen kohdalla sen vastaavasta hyperspektrikuvasta tarkastellaan yhtä siivua kerrallaan, ja siitä etsitään kaikista suurimman radianssiarvon omaava kuvapiste sekä sen vastaavat kuvakoordinaatit. Seuraavaksi määritetään kolmiulotteinen suuntavektori pallon keskipisteestä pallon pinnan kirkkaimpaan pisteeseen laskemalla suurimman radianssin omaavan kuvapisteen etäisyys pallon kuvan keskipisteestä ja asettamalla tämän etäisyyden vaakasuuntainen komponentti suuntavektorin x -komponentiksi ja pystysuuntainen komponentti suuntavektorin y -komponentiksi. Koska tämän suuntavektorin pituus tiedetään olevan yhtä suuri kuin pallon säde, niin jos suuntavektori on \hat{n} , määritetään sen z -komponentti seu-

raavasti:

$$\hat{n}_z = \sqrt{r^2 - \hat{n}_x^2 - \hat{n}_y^2}, \quad (3.1)$$

missä r on pallon säde.

Vektori \hat{n} on samansuuntainen pallon kirkkaimman kohdan normaalivektorin kanssa, joten normaali \mathbf{n}_p määritetään normalisoimalla \hat{n} .

$$\mathbf{n}_p = \frac{\hat{n}}{|\hat{n}|}, \quad (3.2)$$

missä alaindeksi p viittaa palloon.

Koska kameran projektiio oletettiin ortogonaaliseksi, on kaikkien pisteiden kameran suunta oikeakätisessä koordinaatistossa $\mathbf{v} = [0, 0, 1]^T$. Valon suunta määritetään asettamalla pallon kirkkaimmasta kohdasta täydellisesti heijastuneen säteen suunnaksi kameran suunta ja ratkaisemalla heijastuvan suunnan yhtälöstä valon lähteen suunta. Jos hyperspektrikuvan m . aallonpituusalueesta määritettyä pallon kirkkaimman kohdan normaalivektoria merkitään symbolilla \mathbf{n}_{p_m} , niin sitä vastaava valon suunta

$$\mathbf{l}_m = 2 \mathbf{v} \bullet \mathbf{n}_{p_m} \mathbf{n}_{p_m} - \mathbf{v}. \quad (3.3)$$

Lopullinen valon suunta \mathbf{l} määritetään laskemalla kaikkia 133 aallonpituusaluetta vastaavat valon suunnat yhteen ja normalisoimalla näin saatu summavektori:

$$\mathbf{l} = \frac{\sum_{m=1}^{133} \mathbf{l}_m}{|\sum_{m=1}^{133} \mathbf{l}_m|}. \quad (3.4)$$

Valonlähteet oletetaan tutkimuksessa suuntaisvaloiksi, jolloin edellä määritetyt suunnat ovat riippumattomia käsiteltävästä kuvapisteestä.

Valojen suuntien määrittäminen on suhteellisen yksinkertaista ja nopeaa, joten sen toteuttamista muulla kuin Matlab-ohjelmointikielellä ei nähty tarpeelliseksi.

3.3 Albedo- ja normaalikarttojen luominen

3.3.1 Lähteen irradianssi

Luvussa 2.3.2 pinnalle saapuva irradianssi oletettiin yhtälöiden selkeyttämiseksi tietyn suuriseksi, mutta tutkimuksessa lähteen irradianssi on määritettävä.

Irradianssin määrittämiseksi hyperspektrikameralla otettiin kolme *valkoreferenssikuvaa*, tasisesta kameran suuntaa vastaan kohtisuorasta valkoisesta mattapintaisesta tasosta. Tähän tarkoitukseen käytettiin tavallista tulostuspaperia. Kuvausasetelma oli sama kuin kalibraatio-kuvissa ja jokaisessa kuvassa pintaa valaistiin ainoastaan sillä valolla, jonka irradianssi sen kuvan avulla oli tarkoitus selvittää. Pinnan oletettiin olevan ideaalinen Lambertin pinta, toisin sanoen se heijastaa valoa ainoastaan diffuusisti ja sen albedo on kaikilla aallonpituuksilla yksi.

Koska kuvattava taso oli kohtisuorassa kameran suuntaa vastaan ja käytetään ortogonaali-projektiota sekä oikeakätistä koordinaatistoa, niin pinnan normaali on kaikissa kuvapisteissä $\mathbf{n}_v = [0, 0, 1]^T$ (alaindeksi v viittauksena valkoreferenssiin). Nyt kun pinnan orientaatio, pinnan albedo sekä valon suunta tunnetaan ja jos lisäksi pinnalta heijastunut spektraalinen radianssi oletetaan tunnetuksi, niin spektraalinen irradianssi voidaan ratkaista yhtälöstä (2.25):

$$E_{\lambda_0} = \frac{\pi}{a_\lambda \cos(\theta_0)} L_{\lambda_r} = \frac{\pi}{\mathbf{l} \bullet \mathbf{n}_v} L_{\lambda_r}. \quad (3.5)$$

Koska spektraaliset suureet ovat osamääriä differentiaalisen aallonpituusalueen suhteen, niitä ei voida mitata tarkasti käytännössä. Valkoreferenssihyperspektrikuvan kuvapisteen arvo onkin pinnalta heijastunut spektraalinen radianssi painotettuna kameran ominaisella spektraalisella havaitsemisherkkyydellä, integroituna kuvan siivua vastaavan aallonpituusalueen Λ yli. Merkitään valkoreferenssihyperspektrikuvan m . aallonpituusaluetta symbolilla Λ_m ja sitä vastaavan siivun kuvapisteen arvoa seuraavasti:

$$\hat{L}_{v_m} := \int_{\Lambda_m} H(\lambda) L_{\lambda_v} d\lambda, \quad (3.6)$$

missä $H(\lambda)$ on kameran spektraalinen havaitsemisherkkyyys aallonpituuden funktiona, L_{λ_v} valkoreferenssitilalta heijastunut spektraalinen radianssi ja $m = 1, 2, \dots, 133$. Näin ollen aallonpituusalueen yli integroitu spektraalisella herkkyydellä painotettu lähteen irradianssi

saadaan yhtälöstä (3.5):

$$\int_{\Lambda_m} HE_{\lambda_0} d\lambda = \frac{\pi}{\mathbf{l} \bullet \mathbf{n}_v} \int_{\Lambda_m} HL_{\lambda_v} d\lambda = \frac{\pi}{\mathbf{l} \bullet \mathbf{n}_v} \hat{L}_{v_m}. \quad (3.7)$$

Tutkimuksen toteutuksessa tämä arvo määritetään luvulla $\frac{1}{\pi}$ skaalattuna, koska se on käytännöllinen valinta luvun 3.3.2 albedojen ja normaalien määrittämiseen. Jos tätä skaalattua arvoa merkitään symbolilla \hat{E}_m , niin

$$\hat{E}_m := \frac{\int_{\Lambda_m} HE_{\lambda_0} d\lambda}{\pi} = \frac{\hat{L}_{v_m}}{\mathbf{l} \bullet \mathbf{n}_v}. \quad (3.8)$$

3.3.2 Albedojen ja normaalien määrittäminen

Kuten valkoreferenssikuvien tapauksessa, myös tutkittavan kohteen hyperspektrikuvien kuvapisteiden arvot ovat samalla painofunktiolla $H(\lambda)$ kerrottujen heijastuneiden spektraalisten radianssien integraaleja. Merkitään niitä $\hat{L}_m := \int_{\Lambda_m} HL_{\lambda_r} d\lambda$. Tutkimuksessa oletettiin, että albedo ja normaalivektori ovat vakioita hyperspektrikuvan pisteessä, minkä tahansa aallonpituusalueen Λ_m yli, ja niitä merkitään a_m ja \mathbf{n}_m tässä järjestyksessä. Näin ollen yhtälöstä (2.25) ja määritelmästä (3.8) saadaan

$$\int_{\Lambda_m} HL_{\lambda_r} d\lambda = \int_{\Lambda_m} \frac{a_m \mathbf{l} \bullet \mathbf{n}}{\pi} HE_{\lambda_0} d\lambda = \frac{a_m \mathbf{l} \bullet \mathbf{n}_m}{\pi} \int_{\Lambda_m} HE_{\lambda_0} d\lambda = a_m \mathbf{l} \bullet \mathbf{n}_m \hat{E}_m, \quad (3.9)$$

josta edelleen

$$\frac{\hat{L}_m}{\hat{E}_m} = a_m \mathbf{l} \bullet \mathbf{n}_m. \quad (3.10)$$

Tätä osamäärää merkitään $i_m := \frac{\hat{L}_m}{\hat{E}_m}$. Se määritetään jokaiselle kolmelle valolle, ja niistä muodostetaan yhtälöryhmän (2.35) vektori $\mathbf{i}_m = [i_m^1, i_m^2, i_m^3]^T$, missä yläindeksien numerointi vastaa luvun 3.1.1 valojen numerointia.

Yhtälöryhmä (2.35) ratkaistaan jokaiselle hyperspektrikuvan aallonpituusalueelle Λ_m muodostamalla sarakevektoreista \mathbf{i}_m matriisi

$$\mathbf{I}_{3 \times 133} = \begin{bmatrix} i_1^1 & \dots & i_{133}^1 \\ i_1^2 & \dots & i_{133}^2 \\ i_1^3 & \dots & i_{133}^3 \end{bmatrix} \quad (3.11)$$

ja tuloista $a_m \mathbf{n}_m$ matriisi

$$\mathbf{N}_{3 \times 133} = \begin{bmatrix} a_1 n_{1x} & \dots & a_{133} n_{133x} \\ a_1 n_{1y} & \dots & a_{133} n_{133y} \\ a_1 n_{1z} & \dots & a_{133} n_{133z} \end{bmatrix}, \quad (3.12)$$

jolloin

$$\mathbf{L}_{3 \times 3} \mathbf{N}_{3 \times 133} = \mathbf{I}_{3 \times 133}. \quad (3.13)$$

Tämä yhtälöryhmä ratkaistaan jokaiselle tutkittavan kohteen hyperspektrikuvan kuvapisteele, jolloin ratkaisumatriisin m . sarakevektorin pituus on kyseisen kuvapisteen aallonpituusalueen Λ_m vastaava albedo a_m . Tätä aallonpituusaluetta vastaava normaalivektori \mathbf{n}_m taas määritetään normalisoimalla m . sarakevektori.

3.3.3 Matlab-toteutus

Matlab-toteutus noudattaa hyvin suoraviivaisesti edellisessä luvussa esitettyä menetelmää ja sen lähdekoodi on liitteenä B.

Valkoreferenssien ja tutkittavan kohteen hyperspektrikuvat ladataan kolmiulotteisiin $1200 \times 1920 \times 133$ -kokoisiin *kuutiomatriiseihin*, joiden alkiot ovat yksinkertaisen tarkkuuden liukulukuja, jolloin yksi kuutiomatriisi varaa muistia noin 1,14 Gt. Hyperspektrikuvien suuren muistintarpeen vuoksi joka hetkellä pyritään muistissa säilyttämään vain minimimäärä kuutiomatriiseja. Tutkittavan kohteen kaikki kolme kuutiomatriisia on pidettävä samaan aikaan muistissa, mutta valkoreferenssikuutiomatriiseja tarvitaan vai yhtä kerrallaan, jolloin kaikki valkoreferenssikuvat ladataan vuorotellen samaan muistialueeseen. Tämä muistialue vapautetaan, kun viimeistäkään valkoreferenssikuutiomatriisia ei enää tarvita.

Valkoreferenssikuutiomatriisit jaetaan niitä vastaavilla luvuilla $\mathbf{l} \bullet \mathbf{n}_v$, jolloin kuutiomatriisien alkiot ovat suureita \hat{E}_m . Tämän jälkeen tutkittavan kohteen kuutiomatriisit jaetaan alkioitain \hat{E}_m -kuutiomatriiseilla, jolloin tuloksena saadun kuutiomatriisin alkiot vastaavat lukuja i_m .

Ennen fotometrisen stereon yhtälöryhmien ratkaisua normaalikartoille varataan muistista $1200 \times 1920 \times 3 \times 133$ -kokoinen neliulotteinen matriisi ja albedo-kartoille $1200 \times 1920 \times 133$ -kokoinen kuutiomatriisi. Tämän jälkeen 1200×1920 kuvapistettä käydään yksi ker-

rallaan läpi muodostaen tarvittavat matriisit ja ratkaisten yhtälöryhmät käyttäen Matlabin \-operaattoria. Lisäksi jokaisen kuvapisteen kohdalla erotetaan ratkaisumatriisien sarakevektoreista albedot sekä normaalivektorit ja sijoitetaan ne aiemmin luotuihin matriiseihin.

Normaalien alkiot normalisoidaan välille $[0, 1]$ ja kirjoitetaan yksinkertaisen tarkkuuden liukulukuina 133 eri tiedostoon – jokainen eri aallonpituusaluetta vastaava normaalikartta omaansa. Albedot kirjoitetaan skaalaamattomina vastaavasti omiin albedokarttatiedostoihinsa käyttäen yksinkertaisen tarkkuuden liukulukuja.

3.3.4 GPU-toteutus

GPU:lla suoritettava versio albedo- ja normaalikarttojen luomisesta toteutettiin C++-ohjelmointikielellä ja avoimen lähdekoodin lineaarialgebrakirjastolla ViennaCL. Käytetty ViennaCL-kirjaston versio oli 1.7.1, ja se asetettiin käyttämään sisäisessä GPU-toteutuksessaan OpenCL-kirjastoa sekä sen versiota 1.2. Tässä luvussa esitettävän toteutuksen lähdekoodit ovat liitteenä D.

ViennaCL-kirjasto ei tue kuutiomatriiseja, joten hyperspektrikuvat kopioidaan näytönohjaimen muistiin käyttäen kaksiulotteisia 11520×13300 -kokoisia matriiseja. Yksi hyperspektrikuva varaa kaksi tällaista matriisiä. Kun kuvattavan kohteen sekä sen vastaavan valkoreferenssin hyperspektrikuvat on ladattu näytönohjaimen muistiin, lukujen i_m määrittämiseen vaadittavat jakolaskut suoritetaan GPU:lla.

Ennen yhtälöryhmien ratkaisemista matriisista L muodostetaan GPU:lla LU-hajotelma, joka ylikirjoittaa näytönohjaimen muistissa alkuperäisen matriisin. Tämä tehdään vain kerran, koska valot oletettiin suuntaisvaloiksi, joten matriisi L on kuvapisteiden suhteen vakio. Lisäksi albedojen ja normaalien tallentamiseen varataan keskusmuistista yksiulotteinen taulukko, jonka alkiot ovat rakenteita, jotka sisältävät neljä yksinkertaisen tarkkuuden liukulukua.

Matlab-toteutuksen tavoin hyperspektrikuvan yhtä siivua vastaava määrä kuvapisteitä käydään läpi. Jokaisen pisteen kohdalla muodostetaan matriisi I ja kopioidaan se näytönohjaimen muistiin, jonka jälkeen yhtälöryhmä ratkaistaan GPU:lla käyttäen aiemmin luotua LU-hajotelmaa. Ratkaisumatriisin sarakevektoreista saadut albedot ja normaalivektorit kirjoitetaan aiemmin varattuun yksiulotteiseen taulukkoon. Normaalivektori kirjoitetaan taulukon

alkion rakenteen kolmeen ensimmäiseen jäsenmuuttujaan ja albedo viimeiseen.

3.3.5 Säikeistetty CPU-toteutus

Fotometrisen stereon säikeistetty CPU-toteutus luotiin käyttäen C++-ohjelmointikieltä ja Armadillo-lineaarialgebrakirjastoa. Armadillo linkitettiin edelleen OpenBLAS-kirjastoon, jolloin se hyödyntää sisäisessä toteutuksessaan säikeistystä. Lähdekoodi on liitteenä F.

Armadillo lukee ja kirjoittaa matriisit sarakkeittain, joten hyperspektrikuvat oli muunnettava ensin vastaavaan muotoon. Muuten Armadillon toiminnallisuus vastaa hyvin tarkasti Matlabia, joten kielten välisiä syntaktisia eroavaisuuksia lukuunottamatta fotometrisen stereon Armadillo- ja Matlab-toteutukset ovat lähes identtiset. Armadillo ei kuitenkaan tue neli- tai suurempiulotteisia matriiseja, joten normaalikartat kirjoitetaan 133 erilliseen muistialueeseen. Nämä muistialueet ovat yksiulotteisia taulukoita, joiden alkiot ovat kolmen yksinkertaisen tarkkuuden liukuluvun muodostamia rakenteita.

3.4 Syvyyskartan luominen

3.4.1 Harvan yhtälöryhmän muodostaminen

Tutkimuksen menetelmällä muodostetut syvyysarvot riippuvat valon aallonpituudesta ollen kuitenkin vakioita jokaisen hyperspektrikuvan aallonpituusalueen Λ_m yli. Aiemmin käytetyn merkitsemistavan mukaisesti, myös syvyysarvoissa m . aallonpituusväliin viitataan alaindeksillä m .

Yhtälöitä (2.44) sovelletaan jokaiseen hyperspektrikuvan kuvapisteeseen siten, että Δz_{m_x} mitataan suhteessa tarkasteltavana olevan kuvapisteen oikealla puolella ensimmäisenä sijaitsevaan kuvapisteeseen ja Δz_{m_y} suhteessa alapuolella ensimmäisenä sijaitsevaan kuvapisteeseen. Tällöin oikeakätisessä koordinaatistossa

$$\Delta z_{m_x} = z_m(x, y) - z_m(x + 1, y) = \frac{\mathbf{n}_{m_x}(x, y)}{\mathbf{n}_{m_z}(x, y)}, \quad \Delta z_{m_y} = z_m(x, y) - z_m(x, y - 1) = -\frac{\mathbf{n}_{m_y}(x, y)}{\mathbf{n}_{m_z}(x, y)}. \quad (3.14)$$

Jos tämä ei ole mahdollista sen takia, että kuvapisteen oikealla tai alapuolella ei ole ku-

negatiivisen alkion sarakeindeksi on suurempi kuin positiivisen alkion, rivi vastaa syvyyseroa oikealla puolella olevaan kuvapisteeseen verrattuna, muuten vasemmalla. Vastaavasti jos parillisen rivin negatiivisen alkion sarakeindeksi on suurempi kuin positiivisen alkion, rivi vastaa syvyyseroa alapuolella olevaan kuvapisteeseen verrattuna, muuten yläpuolella. Parillisten rivien nolasta poikkeavien alkioiden välissä on aina $w - 1$ nollaa. Parittoman rivin negatiivisen alkion sarakeindeksi on pienempi kuin positiivisen alkion kun rivi-indeksi on $k2w - 1$, missä $k = 1, 2, \dots, h$. Pienin parillinen rivi-indeksi, jonka vastaavalla rivillä negatiivisen alkion sarakeindeksi on pienempi kuin positiivisen alkion, on $2(N - w + 1)$.

Näin muodostetun matriisin aste $\text{rank}(\hat{\mathbf{M}}) = N - 1$, eli se ei ole täysiasteinen, jolloin matriisi $\hat{\mathbf{M}}^T \hat{\mathbf{M}}$ ei ole kääntyvä. Tämä ongelma ratkaistaan asettamalla reunaehto siten, että oikeassa alakulmassa olevan kuvapisteen alapuolella olevaa kuvitteellista kuvapistettä vastaava syvyysarvo asetetaan nolaksi. Näin ollen saadaan täysiasteinen matriisi \mathbf{M} , eli jolle $\text{rank}(\mathbf{M}) = N$. Tämä eroaa matriisista $\hat{\mathbf{M}}$ ainoastaan siten, että sen alimmalla rivillä ei ole lainkaan negatiivista alkiota, vaan se on korvattu nolalla.

Muodostetaan myös vektori $\boldsymbol{\delta}_m$ siten, että

$$\boldsymbol{\delta}_m = \begin{bmatrix} \mathbf{n}_{m_x}(1,1)/\mathbf{n}_{m_z}(1,1) \\ \mathbf{n}_{m_y}(1,1)/\mathbf{n}_{m_z}(1,1) \\ \vdots \\ \mathbf{n}_{m_x}(w,1)/\mathbf{n}_{m_z}(w,1) \\ \mathbf{n}_{m_y}(w,1)/\mathbf{n}_{m_z}(w,1) \\ \vdots \\ \mathbf{n}_{m_x}(1,h)/\mathbf{n}_{m_z}(1,h) \\ \mathbf{n}_{m_y}(1,h)/\mathbf{n}_{m_z}(1,h) \\ \vdots \\ \mathbf{n}_{m_x}(w,h)/\mathbf{n}_{m_z}(w,h) \\ \mathbf{n}_{m_y}(w,h)/\mathbf{n}_{m_z}(w,h) \end{bmatrix}_{2N}. \quad (3.18)$$

Lisäksi muodostetaan $2N$ -pituisen sarakevektori \mathbf{s} , jonka jokainen parittoman rivin alkio on 1, lukuun ottamatta rivejä, joiden rivi-indeksi on $k2w - 1$, missä $k = 1, 2, \dots, h$, jolloin alkio on -1 . Jokainen vektorin \mathbf{s} parillisen rivin alkio on -1 , lukuun ottamatta rivejä, joiden rivi-indeksi on suurempi tai yhtä suuri kuin $2(N - w + 1)$, jolloin alkio on 1.

Tällöin aallonpituusaluetta Λ_m vastaava ylimääriteltä lineaarinen yhtälöryhmä on muodos-

tettujen vektorien ja matriisin avulla ilmaistuna

$$\mathbf{M}\mathbf{z}_m = \mathbf{s} \circ \boldsymbol{\delta}_m, \quad (3.19)$$

missä \circ on vektoreiden alkiokohtainen tulo.

Lisäksi jos vektoreista \mathbf{z}_m muodostetaan matriisi $\mathbf{Z} = [\mathbf{z}_1, \mathbf{z}_2, \dots, \mathbf{z}_{133}]$ ja alkiokohtaisista tulosta $\mathbf{s} \circ \boldsymbol{\delta}_m$ matriisi $\boldsymbol{\Delta} = [\mathbf{s} \circ \boldsymbol{\delta}_1, \mathbf{s} \circ \boldsymbol{\delta}_2, \dots, \mathbf{s} \circ \boldsymbol{\delta}_{133}]$, niin kaikkia eri aallonpituusalueita Λ_m vastaavat lineaariset yhtälöryhmät voidaan esittää yhtenä ylimääriteltynä yhtälöryhmänä:

$$\mathbf{M}_{2N,N}\mathbf{Z}_{N,133} = \boldsymbol{\Delta}_{2N,133}. \quad (3.20)$$

3.4.2 Syvyyskarttojen muodostaminen Matlabilla

Syvyyskarttojen muodostamisen sarjallinen versio toteutettiin Matlab R2016b:llä ja sen lähdekoodi on liitteenä C.

Ensimmäisenä toteutuksessa muodostetaan vektori \mathbf{s} ja matriisi \mathbf{M} . Vektori \mathbf{s} ja matriisi \mathbf{M} muodostetaan vain kerran, koska ne ovat aallonpituudesta riippumattomia vakioita. Matriisi \mathbf{M} luodaan Matlabin sparse-funktiolla, jolloin matriisi tallennetaan muistiin käyttäen harvan matriisin pakattua tietorakennetta. Tämä on erityisen tärkeää, koska tiheän matriisin muodossa tallennettuna \mathbf{M} varaisi muistia yli puoli miljoonaa -kertaisen määrän harvan matriisin tallennusmuotoon verrattuna. Matlabin harva matriisi muodostetaan kolmesta vektorista, joista ensimmäinen koostuu matriisin nolasta poikkeavien alkioiden rivi-indekseistä, toinen sarakeindekseistä ja kolmas itse alkioista.

Tämän jälkeen kaikki aallonpituusalueet Λ_m käydään läpi ja jokaisen kohdalla muodostetaan vektori $\boldsymbol{\delta}_m$ sekä alkiioittainen tulo $\mathbf{s} \circ \boldsymbol{\delta}_m$. Lisäksi jokaisen siivun kohdalla ratkaistaan ylimääritetty yhtälöryhmä (3.19) käyttäen pienimmän neliösumman menetelmää, normalisoidaan näin saadut syvyysarvot ja kirjoitetaan ne yksinkertaisen tarkkuuden liukulukuina syvyyskarttatiedostoon. Tutkimuksessa käytetty Matlabin versio käyttää näiden yhtälöryhmien ratkaisemiseen sisäisessä toteutuksessaan QR-ratkaisijaa.

Tutkimuksessa yritettiin ratkaista myös kaikki yhtälöryhmät kerralla käyttäen yhtälöä (3.20), mutta jokaisella yrityksellä Matlabin versio R2016b sulkeutui ilman virheilmoitusta kesken operaation.

3.4.3 Syvyyskarttojen muodostaminen GPU:lla

GPU:lla suoritettavaan syvyyskarttojen muodostamiseen käytettiin fotometrisen stereon GPU-toteutuksen tavoin C++-ohjelmointikieltä ja ViennaCL- sekä OpenCL-kirjastojen yhdistelmää. Lisäksi käytettiin OpenBLAS-kirjastoon linkitettyä Armadillo-kirjastoa. Syvyyskarttojen muodostamisen GPU-toteutuksen lähdekoodi on liitteenä E.

Armadillon ja Matlabin ohjelmointirajapintojen samankaltaisuuden vuoksi GPU-toteutuksen vektorin \mathbf{s} sekä matriisin \mathbf{M} muodostamiseen käytettiin Armadillo-kirjastoa. Tämä eroaa Matlab-toteutuksesta kielen syntaksin lisäksi ainoastaan kahdella tavalla: Armadillo käyttää nollasta alkavaa indeksointia, Matlabin yhdestä alkavan sijaan, Armadillon harva matriisi luodaan yhdestä tiheästä matriisista ja yhdestä vektorista, Matlabin kolmen vektorin sijaan. Harvan matriisin luontiin käytettävä tiheä matriisi muodostuu kahdesta sarakevektorista, joista ensimmäinen koostuu harvan matriisin nollasta poikkeavien alkioiden rivi-indekseistä ja toinen sarakeindekseistä. Harvan matriisin luontiin käytettävä vektori muodostuu harvan matriisin nollasta poikkeavista alkiosta.

ViennaCL-kirjasto tukee ainoastaan kääntyvien kerroinmatriisien omaavien yhtälöryhmien ratkaisemista, joten se ei sellaisenaan sovellu tutkimuksen ylimääräisille yhtälöryhmille (3.19). Tästä syystä määritetään transpoosi \mathbf{M}^T ja matriisitulo $\mathbf{M}^T\mathbf{M}$, joista jälkimmäinen on asetetun reunaehdon vuoksi kääntyvä. $\mathbf{M}^T\mathbf{M}$ on lisäksi symmetrinen ja positiivisesti definiitti matriisi. \mathbf{M}^T ja $\mathbf{M}^T\mathbf{M}$ käyttävät molemmat harvan matriisin tallennusmuotoa, ja ne luodaan vain kerran. $\mathbf{M}^T\mathbf{M}$ kopioidaan näytönohjaimen muistiin, ja koska matriisia \mathbf{M} ei sellaisenaan enää tarvita, sen varaama muisti vapautetaan.

Yhtälöryhmät (3.19) ratkaistaan GPU:lla käyttäen iteratiivista menetelmää, joten iteraatioiden suppenevuuden parantamiseksi käytetään pohjustinoperaatiota. Pohjustinoperaatioon käytettävä pohjustinmatriisi muodostetaan matriisista $\mathbf{M}^T\mathbf{M}$, joten myös tämä suoritetaan vain kerran. Empiirisesti havaittiin, että iteraatioiden nopein suppenevuus taataan käyttämällä ViennaCL-kirjaston vaihtoehtoisia symmetrisille, positiivisesti definiiteille matriiseille soveltuvaa Chow-Patel-ICHol0-pohjustinmatriisia.

Seuraavaksi totetuksessa käydään läpi kaikki aallonpituusalueet Λ_m muodostaen keskussuoritinta käyttäen vektorin $\boldsymbol{\delta}_m$ ja määrittäen vektorin $\mathbf{s} \circ \boldsymbol{\delta}_m$. Jokaiselle aallonpituusalueelle

määritetään myös tulo $\mathbf{M}^T \mathbf{s} \circ \boldsymbol{\delta}_m$, joka kopioidaan näytönohjaimen muistiin. Määritettyjen matriisien ja vektorien avulla jokaiselle aallonpituusalueelle ratkaistaan GPU:ta käyttäen pienimmän neliösumman menetelmän yhtälöryhmä $\mathbf{M}^T \mathbf{M} \mathbf{z}_m = \mathbf{M}^T \mathbf{s} \circ \boldsymbol{\delta}_m$. Yhtälöryhmät ratkaistaan käyttäen iteratiivista konjugaattigradienttimenetelmää, joka soveltuu symmetrisille, positiivisesti definiiteille kerroinmatriiseille. Empiirisillä kokeilla havaittiin 100 iteraation riittävän tarpeeksi tarkkaan ratkaisuun, jonka jälkeen tulos ei enää silmin nähden muutu.

Kuten Matlab-toteutuksessa, syvyysarvot lisäksi normalisoidaan, ja kirjoitetaan yksinkertaisen tarkkuuden liukulukuja käyttäen eri aallonpituusalueita vastaaviin syvyyskarttatiedostoihin.

4 Hyödyntäminen tietokonegrafiikassa

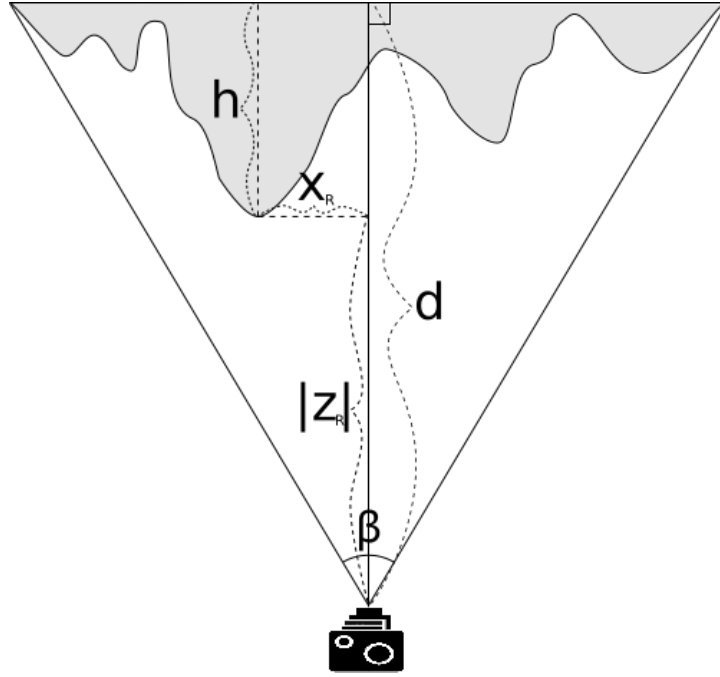
Tässä tutkimuksessa tarkasteltiin myös hyperspektrikuvien avulla toteutetun fotometrisen stereon hyödyntämistä tietokonegrafiikassa ja hyperspektrikuvantamisen tuomaa kuvanlaadullista lisäarvoa. Hyperspektrikuvista muodostettujen albedo-, normaali- ja syvyyskarttojen avulla kuvattavasta kohteesta muodostettiin malli, josta edelleen renderöitiin kuvia reaaliaikaisesti. Renderöinnin yhteydessä mallin valaisua simuloitiin käyttäen erilaisia virtuaalisia valonlähteitä. Nämä valonlähteet erosivat toisistaan niiden säteilemien spektrien osalta.

4.1 Renderöijän toteutus

Kuvattavasta kohteesta muodostetaan malli luomalla kahdesta kolmiosta nelikulmiota vastaava geometria ja asettamalla se kohtisuorasti kameran suuntaa vastaan siten, että se ortogonaalisella projektiomatriisilla renderöitynä, täyttää 1920×1200 -kokoisen kuva-alueen. Geometria teksturoidaan hyperspektrikuvista muodostetuilla albedo-, normaali- ja syvyyskartoilla siten, että tekstuurien vasemman alakulman kuvapiste sijoittuu renderöitävän kuva-alueen vasempaan alakulmaan. Vastaavasti tekstuurien oikean yläkulman kuvapiste sijoittuu renderöitävän kuva-alueen oikeaan yläkulmaan.

Jokaiselle hyperspektrikuvan aallonpituusalueelle on omat albedo-, normaali- ja syvyyskarttansa. Yhtä aallonpituusaluetta vastaava albedokartta eroaa tavanomaisesta siinä, että sen elementit ovat skalaareja, eivätkä kolmekomponenttisiä RGB-vektoreita. Kaikkien aallonpituusalueiden kartat voidaan ajatella myös yhdistettynä niin, että albedo- ja syvyyskarttojen elementit ovat 133-komponenttisiä vektoreita ja normaalikartan elementit 133×3 -kokoisia matriiseja.

Kohteen pinnan kuvakoordinaatit muutetaan renderöinnin yhteydessä reaali maailmaa vastaavaan koordinaatistoon ottaen samalla huomioon kameran perspektiivin. Reaali maailmaa vastaavassa koordinaatistossa kamera on sijoitettu origoon, ja koordinaattiakselien suunnat vastaavat edelleen oikeakätistä koordinaatistoa. Kuvakoordinaatit skaalataan ensin välille $[-1, 1]$ sekä vaaka- että pystysuunnassa, mikä yksinkertaistaa niiden suhdetta reaali maailman koordinaatteihin.



Kuvio 7. Kohteen pinnan kuvakoordinaattien muuntaminen reaali maailmaa vastaavaan koordinaatistoon x - ja z -suunnissa.

Jos kuvapisteen vastaavaa kohteen pinnan paikkaa reaali maailman koordinaatistossa merkitään koordinaateilla (x_R, y_R, z_R) , niin kuvioista 7 nähdään, että kuvion merkinnöillä

$$z_R = -d + h, \quad x_R = |z_R| \tan\left(\frac{\beta}{2}\right) x_s, \quad (4.1)$$

missä x_s on edellä mainittu välille $[-1, 1]$ skaalattu vaakasuuntainen kuvakoordinaatti ja h edellisessä luvussa muodostetun syvyyskartan kuvapisteen arvo skaalattuna reaali maailman koordinaatistoon. Reaali maailman y -suuntaiselle koordinaatille saadaan täysin vastaavasti

$$y_R = |z_R| \tan\left(\frac{\gamma}{2}\right) y_s, \quad (4.2)$$

missä γ on kameran pystysuuntaisen kuvakulman suuruus. Syvyyskartan kuvapisteen arvo ja siten myös h riippuvat tarkasteltavasta aallonpituusalueesta Λ_m . Tällöin myös reaali maailman koordinaatit riippuvat siitä, jolloin koordinaatteja merkitään $(x_{R_m}, y_{R_m}, z_{R_m})$. Reaali maailman koordinaatiston etäisyyden yksiköksi on valittu cm.

Mallin valaisun simulointia varten virtuaalisten valonlähteiden spektrit diskretoitiin jakamalla koko hyperspektrikameran kattama aallonpituusalue 133 yhtä suureen osaan. Saapuva

spektraalinen irradianssi asetettiin vakioksi jokaisella näin luodulla osavälillä. Spektraalisen irradianssin arvo yhdellä osavälillä on yhtä suuri kuin spektraalinen irradianssi sen osavälin alussa, eli m . osavälin spektraaliselle irradianssille pätee

$$E_{\lambda_0}(\lambda) = E_{\lambda_0}(\lambda_m) =: E_{0_m}, \quad \text{kun } \lambda \in \Lambda_m = [\lambda_m, \lambda_m + \Delta\lambda_m], \quad (4.3)$$

missä $\Delta\lambda_m$ on aallonpituusalueen Λ_m leveys. Tutkimuksessa on toteutettu kaksi eri spektrin omaavaa pistemäistä valonlähdettä.

Tutkimuksen toteutuksessa simuloidaan tyypillistä kameraa, joka omaa kolme värikanavaa: sinisen, vihreän ja punaisen. Jokaisen värikanavan spektraalista herkkyyttä mallinnetaan normaalijakaumalla. Eri värikanavien normaalijakaumilla on eri odotusarvot ja keskihajonnat, jotka valittiin suurpiirteisesti vertaamalla oikeiden kameroiden spektraalisiin herkkyyksiin. Värikanavien spektraaliset herkkyydet diskretoitiin vastaavasti kuin valonlähteiden irradianssit

$$H_k(\lambda) = H_k(\lambda_m) =: H_{k_m}, \quad \text{kun } \lambda \in \Lambda_m = [\lambda_m, \lambda_m + \Delta\lambda_m], \quad (4.4)$$

missä $k = 1, 2, 3$. $k = 1$ vastaa sinistä värikanavaa, jolle $m = 1, \dots, 38$, $k = 2$ vihreää värikanavaa, jolle $m = 18, \dots, 53$ ja $k = 3$ punaista värikanavaa, jolle $m = 48, \dots, 93$. Värikanavat ovat siis aallonpituuden suhteen osittain päällekkäin.

Simuloituun kameraan saapuva, spektraalisella herkkyydellä painotettu värikanavan irradianssi $\hat{L}_k := \int_{\Lambda_k} H L_{\lambda_r} d\lambda$ saadaan yhtälöstä 2.25 kertomalla molemmat puolet kameran spektraalisella herkkyydellä ja integroimalla puolittain:

$$\hat{L}_k = \int_{\Lambda_k} H \frac{a_\lambda}{\pi} E_{\lambda_0} \mathbf{l} \bullet \mathbf{n} d\lambda. \quad (4.5)$$

Tämä määritetään numeerisesti käyttämällä edellä määritettyä diskretoitua spektraalista herkkyyttä sekä diskretoitua valonlähteen spektraalista irradianssia ja muuntamalla integraali summaksi

$$\hat{L}_k = \sum_{m=m_{\min}(k)}^{m_{\max}(k)} H_{k_m} \frac{a_m}{\pi} E_{0_m} \mathbf{l}_m \bullet \mathbf{n}_m \Delta\lambda_m, \quad (4.6)$$

missä

$$\mathbf{l}_m = \frac{\mathbf{l}_{\text{pos}} - [x_{R_m}, y_{R_m}, z_{R_m}]^T}{|\mathbf{l}_{\text{pos}} - [x_{R_m}, y_{R_m}, z_{R_m}]^T|}. \quad (4.7)$$

\mathbf{l}_{pos} on pistemäisen valonlähteen paikka aiemmin määritellyssä reaali maailman koordinaatistossa.

4.1.1 Simuloidut valonlähteet

Tutkimuksessa on toteutettu kaksi eri spektrin omaavaa, joka suuntaan yhtä paljon säteilevää pistemäistä valonlähdeä. Valonlähteistä ensimmäinen simuloi auringon ja toinen hehkulampun säteilevää spektriä.

Simuloidut valonlähteet säteilevät mustan kappaleen tavoin noudattaen Planckin lakia. Auringon valoa simuloivaa valonlähdeä vastaavan mustan kappaleen absoluuttinen lämpötila on $T_a = 5500$ K. Simuloidun hehkulampun vastaava lämpötila on $T_h = 2700$ K.

Valonlähteiden kaikki – eri aallonpituusalueita Λ_m vastaavat – 133 spektraalista irradianssia lasketaan käyttäen skaalattua Planckin lain lauseketta

$$E_{0_m}(\lambda_m) = \frac{8\pi hc}{\lambda_m^5} \frac{1}{e^{hc/\lambda_m k_B T} - 1} k_s, \quad (4.8)$$

missä k_s on tutkimuksen toteutuksessa käytetty skaalauskerroin, h Planckin vakio, c valonnopeus, k_B Boltzmannin vakio ja T mustan kappaleen absoluuttinen lämpötila, joka saa arvoksi T_a tai T_h .

4.1.2 Grafiikkaliukuhinnan sovellusvaihe

Hyperspektrikuvista muodostettujen karttojen renderöijän keskussuorittimella suoritettavan sovellusvaiheen toteutukseen käytettiin C++-ohjelmointikieltä ja OpenGL-grafiikkaohjelmointikirjaston versiota 4.1. Toteutuksen lähdekoodi on liitteenä G.

Tarkoituksena oli toteuttaa reaaliaikainen renderöijä, ja empiiristen kokeiden avulla havaittiin, että se ei suorituskykyongelmien vuoksi ole 32-bittisiä tekstuuriin värikanavia käyttäen mahdollista. 8-bittiset värikanavat sen sijaan hävittävät niin paljon tietoa, että tutkimuksen mielekkyys kyseenalaistuu. Näin ollen parhaimman kuvanlaadun ja suorituskyvyn tasapainon takaamiseksi OpenGL-tekstuurit luodaan käyttäen 16-bittisiä värikanavia. Muistin ja muistikaistan tarpeen vähentämiseksi, yhtä hyperspektrikuvan siivua vastaava albedo-, normaali- ja syvyyskartta pakataan kaikki samaan tekstuuriin. Tekstuurissa on neljä kanavaa

yhtä kuvapistettä kohden, jolloin yksi kuvapiste varaa 64 bittiä muistia. Tekstuurin kahteen ensimmäiseen kanavaan tallennetaan normaalivektorin x - ja y -komponentit, kolmanteen kanavaan albedo ja viimeiseen syvyys. Kanavat on tallennettu puolitarkkuuden liukulukuina.

Kaikki 133 edellä kuvatun kaltaista tekstuuria varaavat yhteensä yli 2,25 gigatavua muistia. Renderöijän toteuttamiseen ja testaamiseen käytetyn tietokoneen näytönohjaimessa oli muistia vain kaksi gigatavua. Tästä syystä renderöijä toteutettiin siten, että vain yksi kolmesta värikanavasta renderöidään kerrallaan. Yhtä värikanavaa kohden käytetään maksimissaan 45 tekstuuria, ja niistä luodaan tekstuuritaulukko. Jokaista eri värikanavaa renderöitäessä käytetään samaa kohdetekstuuria, mutta sen eri kanavaa, jolloin kolmen renderöintikerran lopputuloksena on kaikki värikanavat omaava kuva.

Ennen renderöinnin aloittamista jokaisen kolmen värikanavan vastaavat kameran spektraaliset herkkyydet alustetaan omiin taulukoihinsa. Herkkyydet lasketaan käyttäen normaalijakauman lauseketta. Odotusarvona käytetään värikanavalle valittujen aallonpituusalueiden keskimmäisen alueen spektraalisen herkkyyden huipun aallonpituutta. Normaalijakaumien keskihajonnat valittiin siten, että integroitaessa spektraalisia herkkyyksiä värikanaville valittujen aallonpituusalueiden yli numeerisesti tulokset ovat mahdollisimman lähelle yksi. Taulukoihin tallennettavat spektraalisen herkkyyden arvot kerrotaan lisäksi niitä vastaavien aallonpituusalueiden leveyksillä. Tällöin yhtälön (4.6) kerroin $\Delta\lambda$ on jo sisällytetty spektraaliseen herkkyyteen, eikä tuloa tarvitse laskea enää varjostinohjelmassa.

Myös simuloitujen valonlähteiden eri aallonpituusalueita vastaavat irradianssit alustetaan taulukoihin siten, että jokaisella kolmella värikanavalla on oma taulukkonsa. Lähteiden irradianssit skaalataan empiirisesti sopiviksi havaituilla kertoimilla niin, että renderöinnin tuloksena syntyvät väriarvot ovat välillä $[0, 1]$.

Alustusten jälkeen ohjelma renderöi jatkuvasti uusia kuvia suurimmalla nopeudella, johon ohjelmaa suorittava tietokone kykenee. Jokaisella renderöintikierröksellä lasketaan simuloitun valonlähteen uusi paikka, jonka jälkeen laskettu paikka kopioidaan näytönohjaimen muistiin. Liitteenä olevassa versiossa valonlähde on asetettu kiertämään xy -tasolla ympyrää, jonka säde on 20 cm ja keskipiste $(0, 0, -10)$, reaali maailman koordinaateissa ilmaistuna. Lisäksi renderöintikierröksen aikana punaisen värikanavan spektraaliset herkkyydet, saapu-

vat irradianssit ja tekstuuritaulukko kopioidaan näytönohjaimen muistiin sekä annetaan näytönohjaimelle käskyt renderöidä punainen värikanava. Nämä vaiheet toistetaan myös ensin vihreälle ja sen jälkeen siniselle värikanavalle.

4.1.3 Varjostinohjelmien toteutus

Renderöijän grafiikkasuorittimella suoritettava osuus toteutettiin käyttäen OpenGL-kirjaston varjostinohjelmakieltä GLSL ja sen versiota 4.10. Toteutukset ovat liitteinä I ja H.

Renderöijä renderöi aina ainoastaan yhden mallin eikä kameraa ole mahdollista liikuttaa. Tästä syystä toteutettu verteksivarjostinohjelma on erittäin yksinkertainen, eikä se suorita grafiikkaliukuhinnan malli- ja näkymämuunnosvaihetta ollenkaan. Verteksivarjostinohjelma toteuttaa grafiikkaliukuhinnan verteksivarjostusvaiheen saamalla syötteenä yhden mallin verteksin kaksiulotteisissa koordinaateissa ilmaistuna ja laskemalla sen avulla sitä vastaavat tekstuurikoordinaatit. Tämän jälkeen ohjelma palauttaa lasketut tekstuurikoordinaatit ja syötteenä saadun verteksin sellaisenaan sekä muunnettuna nelialkioiseksi, homogeenisissä koordinaateissa ilmaistuksi vektoriksi. Verteksivarjostinohjelma ei suorita myöskään projektiovaihetta vaan asettaa homogeenisten koordinaattien w -komponentin ykköseksi, jolloin grafiikkasuoritin suorittaa käytännössä ortogonaaliprojektion. Verteksivarjostinohjelma suoritetaan yhtäaikaaisesti mallin kuudelle eri verteksille.

Grafiikkaliukuhinnan kuvapistevarjoistusvaihe on toteutettu kuvapistevarjoistinohjelmassa, joka saa syötteenä verteksivarjostinohjelman palauttamien interpoloidun verteksin kaksiulotteiset paikkakoordinaatit ja tekstuurikoordinaatit. Näiden lisäksi se pystyy lukemaan näytönohjaimen muistiin kopioidut tekstuurit, valonlähteen paikkakoordinaatit ja irradianssit sekä kameran spektraalisen herkkyuden arvot.

Ohjelma käy läpi kaikki kyseisellä suorituskerralla renderöitävän värikanavan vastaavat aallonpituusalueet. Jokaisella iteraatiolla tekstuurista luetaan tekstuurikoordinaattia ja aallonpituusalueesta vastaava nelialkioinen kuvapisteen arvo. Arvon kaksi ensimmäistä alkioita ovat luvussa 3.3.3 normalisoidut normaalivektorin x - ja y -komponentit, jotka skaalataan ja siirretään kuvapistevarjoistinohjelmassa takaisin välille $[-1, 1]$. Normaalivektorin z -komponentti lasketaan x - ja y -komponenteista käyttäen tietoja, että vektorin pituus on yksi sekä z -komponentti

positiivinen. Kolmas alkio eli albedo luetaan sellaisenaan, mutta viimeisen alkion normalisoitu syvyysarvo skaalataan takaisin kuvakoordinaatistoon. Syvyysarvoa, syötteenä saatuja paikkakoordinaatteja ja yhtälöitä (4.1) sekä (4.2) käytten lasketaan kohteen pinnan vastaavan pisteen reaali maailman koordinaatit. Näistä koordinaateista ja valon sijainnista määritetään yhtälön (4.7) avulla valonlähteen suuntavektori. Iteraatiota vastaavan aallonpituusalueen irradianssi luetaan näytönohjaimen muistista. Tämän jälkeen lasketaan aallonpituusalueella vastaava spektraalisella herkkyydellä painotettu radianssi eli summan (4.6) yksi termi. Silmukan lopussa termi lisätään kokonaissummaan, joka palautetaan koko kuvapistevärjöstinohjelman suorituksen päätteeksi. Kuvapistevärjöstinohjelma suoritetaan kaikille renderöitävän kuvan kuvapisteille yhtäaikaaisesti.

Koska renderöitävä geometria muodostuu kahdesta aina kokonaan näkvyissä olevasta kolmiosta, grafiikkaliukuhinnan yhdistämismuoto on konfiguroitu siten, että kaikkien kuvapistevärien värit kirjoitetaan ilman näkvyystarkistusta aina väripuskuriin. Lisäksi värit ylikirjoittavat aina väripuskurissa jo valmiina olevat värit eikä niitä sekoiteta keskenään. Kuten luvussa 4.1.2 esitettiin, yksi renderöintikerta ylikirjoittaa kuitenkin vain yhden värikomponentin (punaisen, vihreän tai sinisen) jättäen väripuskurissa jo olevat muut komponentit koskemattomiksi.

4.1.4 Kontrollikuvat

Jotta hyperspektrikuvista muodostettujen albedo-, normaali- ja syvyyskarttojen avulla renderöityjen kuvien laatua ja näin ollen hyperspektrikuvantamisen tuomaa lisäarvoa pystyttiin arvioimaan, oli oltava vertailukohtia. Tätä tarkoitusta varten renderöitiin niin kutsuttuja *kontrollikuvia*.

Kontrollikuvien renderöintiä varten hyperspektrikuvat muunnettiin tavallisia kuvia vastaaviksi kolmen värikanavan kuviksi. Muuntaminen suoritettiin käyttäen luvussa 4.1 esitettyä virtuaalista kameraa. Hyperspektrikuvien arvot tulkittiin pinnalta heijastuneina spektraalisina radiansseina, ja ne painotettiin kameran värikanavien spektraalisilla herkkyyksillä. Painotetut spektraaliset radianssit integroitiin numeerisesti värikanavien aallonpituusalueiden Λ_k yli, kertomalla ne hyperspektrikuvien aallonpituusalueiden Λ_m leveyksillä $\Delta\lambda_m$ ja summaa-

malla yhteen:

$$L_{\text{ctrl}_k} = \sum_{m=m_{\min}(k)}^{m_{\max}(k)} H_{k_m} \hat{L}_m \Delta\lambda_m. \quad (4.9)$$

Näin muodostettujen - kolmen värikanavan kameraa vastaavien - kuvien avulla luotiin lukujen 3.3 ja 3.4 menetelmillä albedo-, normaali- ja syvyyskartat. Jokaista yksi kappale kutakin värikanavaa kohden. Kartat luotiin käyttäen luvun 3.3.5 fotometrisen stereon säikeistettyä CPU-toteutusta ja luvun 3.4.3 syvyyskarttojen muodostamisen GPU-toteutusta, käyttämällä aallonpituusalueiden lukumääränä luvun 133 sijasta lukua kolme.

Kontrollikuvien renderöijän alustuksessa myös valonlähteen spektraalinen irradianssi integroidaan numeerisesti. Kaikki yhtä värikanavaa vastaavat spektraaliset irradianssit summataan aallonpituusalueiden leveyksillä ja spektraalisilla herkkyyksillä painotettuna yhteen:

$$E_{0_k} = \sum_{m=m_{\min}(k)}^{m_{\max}(k)} H_{k_m} E_{0_m} \Delta\lambda_m. \quad (4.10)$$

Muodostetuista kartoista renderöidään kuvia luvussa 4.1 kuvatulla tavalla käyttäen aallonpituusalueiden lukumääränä lukua kolme, jokaista värikanavaa vastaavana spektraalisena herkkyytenä lukua yksi ja värikanavien vastaavina irradiansseina yhtälön (4.10) tuloksia. Toteutuksen lähdekoodi on yhdistettynä hyperspektraalisen renderöijän lähdekoodiin ja on siis liitteinä G ja I.

5 Tulokset

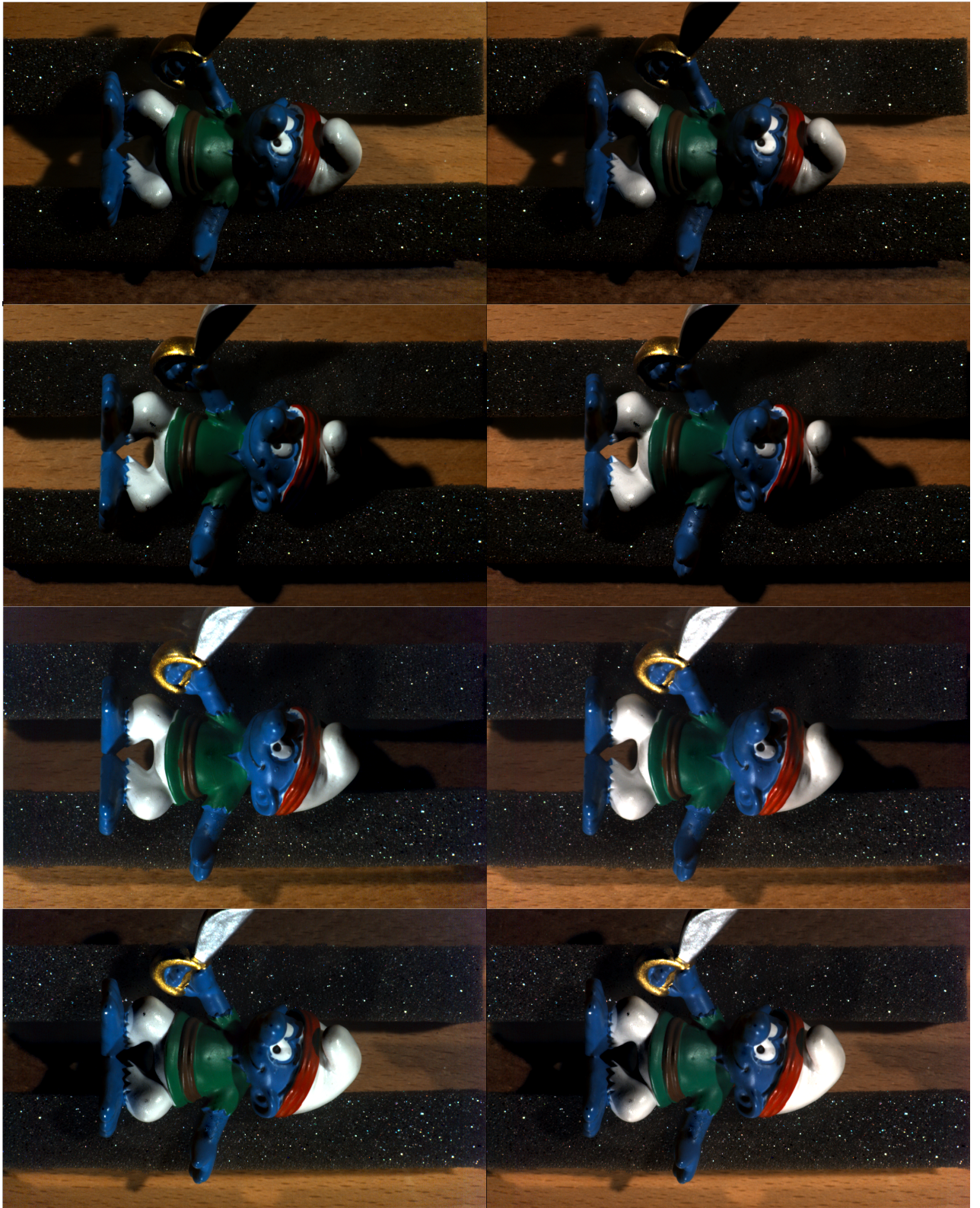
5.1 Hyperspektrikuvantamisen vaikutus kuvanlaatuun

Hyperspektrikuvantamisen tietokonegrafiikkaan tuomaa lisäarvoa tutkittiin arvioimalla subjektiivisesti sen vaikutusta kuvanlaatuun sekä mittaamalla eri värikanavien histogrammien tilastollisia tunnuslukuja. Arviointi ja mittaukset suoritettiin vertaamalla hyperspektrikuvien avulla renderöityjä kuvia luvun 4.1.4 menetelmällä renderöityihin kontrollikuviiin.

Kuvion 8 vasemmanpuoleisessa sarakkeessa on näkyvissä hyperspektrikuvien avulla renderöidyt kuvat ja oikeanpuoleisessa kontrollikuvat. Kuvia renderöitäessä on simuloitu auringon säteilemän spektrin omaavaa pistemäistä valonlähdettä, joka kiertää 20 cm:n säteistä ympyrää, yhtälön $z = -10$ määrittämällä xy -suuntaisella tasolla. Kuvion ensimmäisellä rivillä valonlähteen atsimuuttikulma ϕ on positiivisesta x -akselista positiivisen y -akselin suuntaan mitattuna $\frac{\pi}{4}$, toisella $\frac{3\pi}{4}$, kolmannella $\frac{5\pi}{4}$ ja viimeisellä $\frac{7\pi}{4}$ radiaania.

Kuviosta 8 nähdään, että ero hyperspektrikuvien avulla renderöityjen kuvien ja kontrollikuvien välillä on hyvin pieni. Kuitenkin, jos kuvia verrataan alkuperäiseen kohteeseen, ovat hyperspektrikuvien avulla renderöityjen kuvien värit luonnollisemmat ja vastaavat tarkemmin alkuperäistä. Tämä on havaittavissa erityisesti alustana olevan pöydän, hahmon päällä olevan paidan ja lakkia reunustavan nauhan sävyeroina. Taulukossa 1 on nähtävissä renderöityjen kuvien eri värikanavien histogrammien keskiarvot \bar{x} ja keskihajonnat σ_x , kun värikanavien arvot on ilmaistu välillä $[0, 255]$. Kontrollikuvien punaisen värikanavan keskiarvo ja keskihajonta ovat hyperspektraalisten kuvien vastaavia arvoja huomattavasti suuremmat. Siniseen päin siirryttäessä arvot kuitenkin lähenevät toisiaan ollen lopulta lähes samat. Tästä nähdään, että kontrollikuvat ovat hyperspektraalisia kuvia keskimäärin punasävyisempiä. Samat erot on nähtävissä myös virtuaalista hehkulamppua käyttäen renderöidyissä kuvissa.

Kuviossa 8 on havaittavissa sarakkeiden välillä pieniä eroavaisuuksia myös simuloitun valonlähteen aiheuttamissa varjostuksissa. Eroavaisuudet johtuvat siitä, että hyperspektraaliset normaali- ja syvyyskartat eroavat kontrollikuvien vastaavista kartoista. Hyperspektraalisten karttojen avulla renderöityjen kuvien varjostukset vastaavat tarkemmin reaali maailmassa



Kuvio 8. Hyperspektrikuvien avulla renderöidyt kuvat verrattuna kontrollikuviin.

	Hyperspektraalinen	Kontrolli
Punainen	38,1±45,8	43,2±51,7
Vihreä	29,6±35,2	31,0±36,6
Sininen	18,7±29,8	20,2±29,8

Taulukko 1. Renderöityjen kuvien histogrammien keskiarvot \bar{x} ja keskihajonnat σ_x , muodossa $\bar{x} \pm \sigma_x$.

syntyviä varjostuksia. Nämä erot ovat kuitenkin niin pieniä, että ne voi havaita käytännössä ainoastaan vertailemalla yksittäisten kuvapisteen numeerisia väriarvoja.

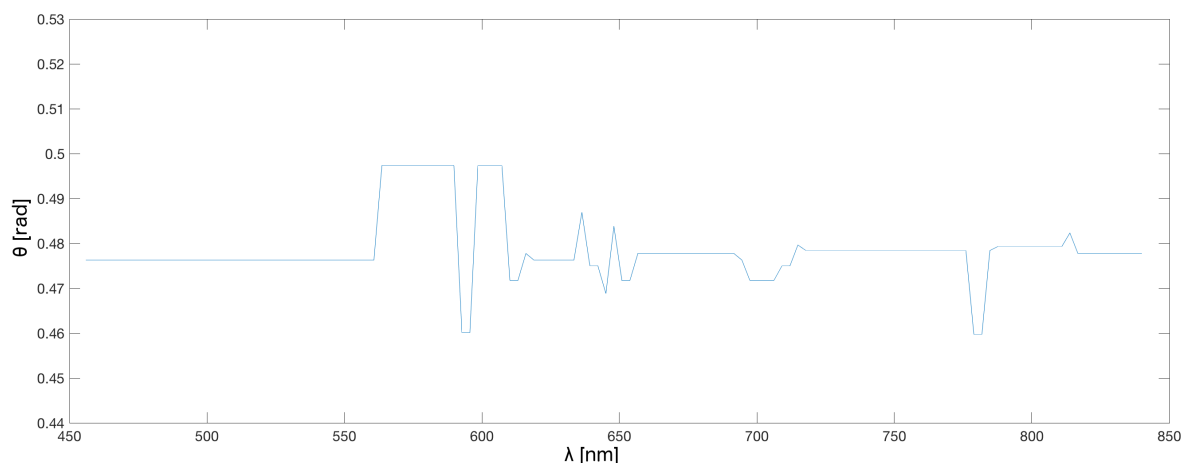
Kuviossa 9 on esitetty Smurffi-hahmon ja jääkaappimagneetin hyperspektrikuvien avulla tuotettujen syvyyskarttojen 70. aallonpituusalueesta renderöidyt kuvat.



Kuvio 9. Syvyyskarttojen 70. aallonpituusalueesta renderöidyt kuvat.

5.2 Orientaatiot aallonpituuksien funktiona

Spekulaarisesti heijastavien kohteiden tapauksessa valo heijastuu kaikilla aallonpituuksilla jo kohteen uloimmalta pinnalta, jolloin valo ei pääse siroamaan satunnaisesti kohteen sisärakenteissa. Näin ollen jos kohteen pinta on lisäksi sileä, eivät heijastumissuunnat riipu aallonpituudesta. Tästä syystä spekulaarisesti heijastavan kromipallon avulla määritettyjen valonlähteiden suuntien tulisi olla vakioita koko hypespektrikuvien kattaman kokonaisaallonpituusalueen yli. Tutkimuksessa valonlähteiden suunnissa kuitenkin havaittiin pientä vaihtelua eri aallonpituusalueiden Λ_m välillä. Tämä on nähtävissä esimerkiksi kuviossa 10 esitetyn valonlähteen 2 elevaatiokulmassa.



Kuvio 10. Valonlähteen 2 elevaatiokulma aallonpituuden suhteen.

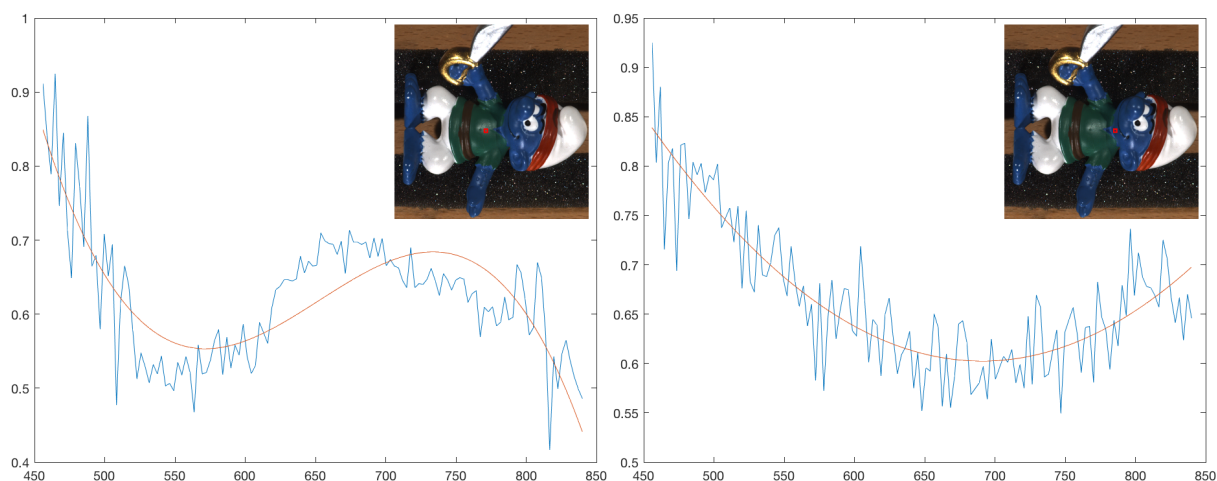
Kuviosta 10 on kuitenkin havaittavissa, että vaihtelu on satunnaista eikä noudata mitään trendiä. Näin ollen vaihtelut tulkittiin tilastollisina mittausvirheinä ja valojen suuntien elevaatio- ja atsimuuttikulmille laskettiin keskivirheet $s_{\bar{x}}$, jotka ovat nähtävissä taulukossa 2.

	Valo 1	Valo 2	Valo 3
θ -kulman $s_{\bar{x}}$	0,0014	0,0006	0,0013
ϕ -kulman $s_{\bar{x}}$	0,0036	0,0019	0,0039

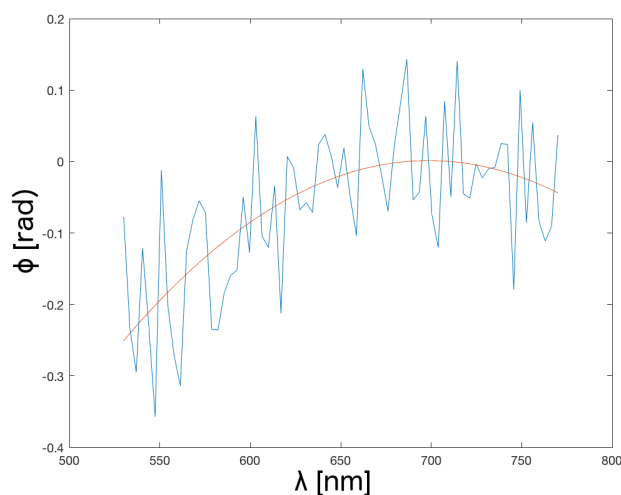
Taulukko 2. Valojen suuntien elevaatio- ja atsimuuttikulmien keskivirheet radiaaneina.

Myös tutkittavien kohteiden normaalivektoreiden aallonpituusriippuvuuksia tarkasteltiin. Kuvio 11 esittää Smurffi-hahmon avulla määritettyjen, kahden eri kuvapisteen normaalivekto-

reiden elevaatiokulmat aallonpituuden suhteen ja niihin sovitetut polynomifunktiot. Vasemmalla puolella oleva kuvaaja vastaa kuvapistettä, jonka kuvakoordinaatit ovat (850, 600) ja joka sijaitsee hahmon paidassa ollen näin väriltään vihreä. Oikean puolen kuvaaja vastaa kuvapistettä, jonka kuvakoordinaatit ovat (960, 600). Kuvapiste sijaitsee hahmon kasvoissa, joten se on väriltään sininen. Kuviossa 12 on esitetty myös kuvakoordinaatteja (850, 600) vastaavan kuvapisteen atsimuuttikulman riippuvuus aallonpituudesta.



Kuvio 11. Kahden kuvapisteen normaalivektoreiden elevaatiokulmat aallonpituuden suhteen sekä kuvapisteiden sijainnit.



Kuvio 12. Kuvapisteen normaalivektorin atsimuuttikulma aallonpituuden suhteen.

Kuten kuvioista 11 ja 12 on nähtävissä, noudattavat normaalivektoreiden elevaatio- sekä atsimuuttikulmien muutokset selvästi tiettyjä säännönmukaisuuksia. Vasemmanpuoleiseen

elevaatiokulmien pistejoukkoon on sovitettu kolmannen asteen ja oikeanpuoleiseen toisen asteen polynomifunktio. Myös atsimuuttikulmien pistejoukkoon on sovitettu toisen asteen polynomifunktio. Näiden kolmen sovitetun mallin laatua mitattiin laskemalla niiden keskineliövirheiden neliöjuuret eli RMSE:t (root-mean-square error), jotka on esitetty taulukossa 3.

	θ	ϕ
Kuvapiste (850, 600)	0,0525	0,0807
Kuvapiste (960, 600)	0,0353	

Taulukko 3. Normaalivektoreiden elevaatio- ja atsimuuttikulmien keskineliövirheiden neliöjuuret.

5.3 Toteutuksien suoritusajat

Suoritusajamittaukset suoritettiin Apple iMac (Retina 5K, 27-inch, Late 2015) -tietokoneella, jossa on 3,3GHz Intel Core i5 -keskussuoritin, 8 Gt 1867 MHz DDR3 -muistia ja AMD Radeon R9 M395 -grafiikkasuoritin. Keskussuorittimessa on neljä ja grafiikkasuorittimessa 1792 ydintä. Grafiikkasuorittimella on käytössä 2048 Mt grafiikkamuistia. Mittaukset suoritettiin jokaiselle kohteelle kolme kertaa, jolloin mittauspisteitä muodostui yhdeksän kappaletta jokaista mitattavaa arvoa kohden. Mittauksille laskettiin keskiarvot ja keskivirheet.

Taulukossa 4 on esitetty albedo-, normaali- ja syvyyskarttojen tuottamisen eri vaiheiden ja toteutuksien suoritusajamittausten tulokset. Syvyyskartan luomisen suoritusajat vastaavat hyperspektraalisen syvyyskarttakuution, yhden siivun määrittämiseen käytettyä aikaa. Näin ollen kun jokaisella mittauskerralla määritettiin 133 siivua, kertyi syvyyskarttojen luomisen suoritusajoille $133 * 9 = 1197$ mittauspistettä. Tällöin myös vaiheen kokonaissuoritusajaa määritettäessä tulee taulukossa esitetty tulos kertoa luvulla 133. Syvyyskartan luominen ei ollut mahdollista Armadillo-kirjaston avulla, joten sen tulos puuttuu. Tulokset on esitetty muodossa keskiarvo \pm keskivirhe.

Hyperspektrikuvien jakaminen luvulla \hat{E}_m oli nopeinta Matlab-toteutuksen avulla. Erot eri toteutuksien välillä olivat kuitenkin hyvin pieniä ja keskivirheet huomioon ottaen Matlab- ja Armadillo-toteutuksien suoritusajat olivat lähes samat. Fotometrisen stereon suoritusajat

	Matlab (CPU, 1 ydin)	Armadillo (CPU, 4 ydintä)	ViennaCL (GPU)
Jako luvuilla \hat{E}_m	0,42±0,08	0,59±0,08	0,71±0,04
Fotometr. stereo	321,74±11,01	329,09±9,89	3553,66±112,20
Syvyyskartta	11,77±0,92		0,87±0,01

Taulukko 4. Eri vaiheiden suoritukseen eri toteutuksien avulla käytetyt ajat sekunteina.

olivat keskivirheet huomioon ottaen Matlab- ja Armadillo-toteutuksien tapauksessa käytännössä samat, mutta ViennaCL-toteutuksen suoritusaika oli yli kymmenkertainen niihin verrattuna. Syvyyskartan luomisessa ViennaCL-toteutus oli kuitenkin yli 13 kertaa niin nopea kuin Matlab-toteutus. Tämä on merkittävä ero kun otetaan huomioon koko hyperspektraalisen syvyyskarttakuution luominen, jonka suoritusaika Matlab:lla on noin 26 minuuttia ja ViennaCL:llä alle kaksi minuuttia.

Renderöijän suorituskykyä tutkittiin mittaamalla 1000 kuvan renderöintiajat ja laskemalla niiden keskiarvo ja keskivirhe. Näin mitattuna renderöijä pystyi hyperspektraalisia karttoja käyttäen renderöimään yhden kuvan keskimäärin $0,16 \pm 0,01$ sekunnissa, jolloin reaaliaikaisen renderöijän kuvataajuus oli noin 6,25 Hz. Kontrollikuvia käyttäen renderöijän kuvataajuus oli vakio 60 Hz, johon se oli ohjelmallisesti ylhäältäpäin rajoitettu.

5.4 Pohdinta

5.4.1 Fotometrinen stereo ja hyperspektrikuvantaminen tietokonegrafiikassa

Fotometrisen stereon havaittiin olevan hyvin toteutettuna erittäin käytännöllinen menetelmä tietokonegrafiikassa käytettävien mallien automaattiseen luomiseen reaali maailman kohteista. Tässä tutkimuksessa käytetyssä perusmuodossaan se soveltuu kuitenkin ainoastaan tietynlaisten kohteiden mallintamiseen. Kuten luvun 5.1 kuviosta 9 on nähtävissä, aiheuttavat varjot ja kameran kuvaussuunnassa olevat muotojen epäjatkuvuuskohdat huomattavia virheitä normaali- ja syvyyskarttoihin. Esimerkiksi Smurffi-hahmon lakin langettama varjo aiheuttaa hahmon kasvoihin kuopan ja jääkaappimagneetin jyrkkä alareuna on menetetty mallissa kokonaan. Kuvion 8 alimmalla rivillä taas on nähtävissä, kuinka tietystä suunnasta valaisemalla varjot ovat kääntyneet vastakkaisiksi. Alueet, jotka ylemmillä riveillä eivät ole

varjossa, ovat sitä alimmalla rivillä ja päinvastoin.

Jotta menetelmää voitaisiin käyttää menestyksekkäästi myös monimutkaisten muotojen omaavien kohteiden mallintamiseen, tulisi valonlähteitä ja otettuja kuvia olla useampia kuin kolme tai käytössä jokin muu kehittyneempi fotometrisen stereon versio, joka pyrkii ratkaisemaan nämä ongelmat. Myös vaatimus Lambertin pintaa vastaavasta heijastavuudesta on kierrettävissä monimutkaisempia reflektanssikarttoja ja kehittyneempiä fotometrisen stereon versioita käyttäen. Hyperspektrikuvantamisen avulla voitaisiin lisäksi huomioida kohteen sisäiset heijastukset, joissa pinnalle saapuu valoa muualtakin kuin suoraan valonlähteestä.

Hyperspektrikuvantamisen havaittiin tuovan tietokonegrafiikkaan kuvanlaadullista lisäarvoa, mutta erot olivat hyvin pieniä suhteessa menetelmän vaatimiin resursseihin. Näin ollen se ei ainakaan tämän tutkimuksen mittakaavassa ja nykyteknologialla toteutettuna ole mielekäs lisä reaaliaikaiseen renderöintiin. Hyperspektraalisia albedo-, normaali- ja syvyyskarttoja käyttäen renderöijä kykeni ainoastaan kymmenesosaan siitä kuvataajuudesta, jota suurin osa nykyaikaisista tietokonepeleistä ja animaatioista käyttää. Näin ollen se ei kyennyt luomaan uskottavaa liikkeen vaikutelmaa. 8-bittisiä värikanavia käyttämällä kuvataajuus saatiin kasvatettua lähes 60 Hz:iin, mutta se pienensi kuvanlaadussa saatuja hyötyjä entisestään.

Suorituskykyä rajoittavana tekijänä on hyperspektraalisten karttojen vaatima todella korkea muistikaistan käyttö. Grafiikkasuorittimen täytyy jokaista kuvaa renderöidessä lukea yli 40-kertainen määrän tekstuuri-dataa tavallisten karttojen avulla suoritettuun renderöintiin verrattuna. Suorituskykyä voisi näin ollen parantaa vähentämällä käytettyjen aallonpituusalueiden määrää, esimerkiksi jättämällä simuloidun kameran matalimpia spektraalisia herkkyysalueita vastaavat aallonpituusalueet kokonaan pois. Aallonpituusalueiden määrää voisi vähentää myös yhdistämällä vierekkäisiä aallonpituusalueita ennen renderöintiä suoritettavan esiprosessin avulla ja näin ollen pienentää spektraalista erottelukykä. Muistikaistan käyttöä olisi mahdollista vähentää myös pienentämällä hyperspektraalista dataa omaavien kuvapisteen lukumäärää. Näin voitaisiin tehdä esimerkiksi pienentämällä käytettyjen karttatekstuurien avaruudellista erottelukykä tai rajoittamalla hyperspektraalisen tiedon soveltaminen ainoastaan niihin kuvapisteisiin, joissa siitä saadaan eniten hyötyä.

Hyperspektrikuvantaminen tuo tietokonegrafiikkaan eniten hyötyjä tapauksissa, joissa mal-

linnettujen valonlähteiden säteilemät spektrit tai renderöitävien kohteiden spektraaliset sormenjäljet ovat yksityiskohtaisia ja monimutkaisia, jolloin ilman korkeaa spektraalista erotelukykyä hukataan tarvittavaa tietoa. Hyperspektraalisten karttojen tuoma hyöty on nähtävissä myös tapauksissa, joissa renderöitävien kohteiden materiaalit päästävät valoa osittain lävitseen ja läpäisemiskyky riippuu valon aallonpituudesta. Näiden lisäksi hyperspektrikuvantamista voi olla hyödyllistä käyttää tietokonegraafiikassa myös yleisemmissä tapauksissa jos käytettävän renderöijän ei tarvitse olla reaaliaikainen, jolloin suuret renderöintiajat eivät ole ongelma ja pienetkin kuvanlaadulliset parannukset toivottuja.

5.4.2 Hyperspektrikuvantaminen fotometrisessä stereossa

Kromipallon avulla määritetyissä valonlähteiden suunnissa olleet heilahtelut jäivät merkityksettömän pieniksi. Suuntien elevaatio- sekä atsimuuttikulmien keskivirheet olivat radiaalin tuhannesosan luokkaa, joten vaihtelut jätettiin huomiotta ja tutkimuksessa käytettiin ainoastaan keskiarvoja. Koska tutkimuksessa käytetty hyperspektrikamera kuvaa eri aallonpituusalueet eri ajanhetkillä, saattoivat suuntien vaihtelut johtua valonlähteiden, kameran ja/tai kromipallon pienistä heilahduksista hyperspektrikuvien ottamisen aikana.

Tutkittavien kohteiden hyperspektrikuvien avulla määritettyjen normaalivektoreiden heilahtelut taas noudattavat tiettyjä säännönmukaisuuksia. Aallonpituuden muuttuessa normaali-vektori kääntyy jollakin välillä pääsääntöisesti samaan suuntaan. Tämän voidaan arvioida johtuvan siitä, että valo läpäisee kohteen materiaalin uloimman pinnan ja heijastuu takaisin vasta sisemmistä rakenteista. Täten jos valo tunkeutuu eri aallonpituuksilla eri syvyyksille, voi myös heijastuksen aiheuttaman syvyyden orientaatio muuttua aallonpituuden suhteen. Tulokset vastaavat jossain määrin myös oletuksia, koska tutkittavien kohteiden pinnat ovat suhteellisen sileitä, mutta heijastavat valoa silti lähes Lambertin pinnan tavoin, joten diffuusin heijastumisen on johduttava valon siroamisesta materiaalin sisärakenteissa. Normaalivektoreiden elevaatio- ja atsimuuttikulmissa on säännönmukaisten vaihteluiden lisäksi myös korkeataajuisia kohinaa. Kohinan voidaan arvioida johtuvan ainakin osittain samoista syistä kuin valonlähteiden suuntien tapauksessa, mutta lisäksi materiaalin sisärakenteissa tapahtuvan valon siroamisen satunnaisuudesta.

Tutkittavien kohteiden hyperspektrikuviissa on valon diffuusin heijastumisen lisäksi havaittavissa myös spekulaaarisia huippukohtia. Näin ollen tutkimuksessa käytetty oletus Lambertin pinnasta ei ole täysin oikeutettu ja se aiheuttaa luotuihin karttoihin sekä renderöityihin kuviin virheitä. Nämä ovat kuitenkin varjojen aiheuttamiin virheisiin verrattuna erittäin pieniä. Valonlähteiden käsitteleminen suuntaisvaloina on suhteellisen hyvä approksimaatio, koska valonlähteiden etäisyys tutkittavasta kohteesta oli monikymmenkertainen kohteiden kokoon verrattuna. Myös kameran etäisyys kromipallosta oli yli 18-kertainen suhteessa kromipallon halkaisijaan, joten valonlähteiden suuntia määritettäessä käytetty oletus ortogonaaliprojektioista voidaan nähdä oikeutetuksi. Valkoreferenssikuvissa käytetyn tulostuspaperin albedon oletettiin olevan yksi. Tämän oletuksen oikeellisuus ei ole kovin merkittävä, koska se vaikuttaa ainoastaan lopputuloksen kuvapisteestä ja aallonpituudesta riippumattomaan kokonaiskirkkauteen. Tärkeämpää olisi arvioida, oliko tulostuspaperin albedo vakio koko kerätyn spektrin yli, mutta se jätettiin tämän tutkimuksen ulkopuolelle. Tutkittavien kohteiden albedojen, normaalivektoreiden ja syvyysarvojen oletettiin olevan vakioita yksittäisten aallonpituusalueiden yli. Jos näiden suureiden korkeataajuuksinen kohina jätetään huomiotta, niin havaitaan, että muutokset yhden aallonpituusalueen yli ovat todella pieniä, mikä tukee oletuksia.

5.4.3 Fotometrisen stereon suorituskyky

Vaihe, jossa hyperspektrikuvat jaetaan luvuilla \hat{E}_m , oli Matlab:lla toteutettuna jopa hieman nopeampi kuin Armadillo-kirjastolla. Tämä johtuu luultavasti siitä, että tutkimuksessa käytetty Matlabin versio osaa hyödyntää keskussuorittimen AVX-käskyjä, joiden avulla vektorijä matriisioperaatiot käyttävät useita ytimiä yhtäaikaaisesti SIMD-luokan tietokoneiden tavoin. Tästä syystä Armadillo-kirjaston kyky suorittaa rinnakkaislaskentaa ei tuo enää lisähyötyä. ViennaCL-toteutus osoittautui pienellä erolla kaikista hitaimmaksi. Tämä johtuu oletettavasti siitä, että suoritusajassa on mukana todella suuren datamäärän siirtäminen keskusmuistin ja grafiikkamuistin välillä itse grafiikkasuorittimella suoritettuna aritmeettisen operaation kuitenkin ollessa nopeampi kuin keskussuorittimella suoritettuna. Tämän mittaaminen ei kuitenkaan ollut mahdollista ViennaCL-kirjaston rajoittuneen ohjelmointirajapinnan ansiosta.

Fotometrinen stereo oli lähes yhtä nopea Matlab:lla ja Armadillo-kirjastolla toteutettuina. Tämä johtuu luultavasti osittain samasta syystä kuin edellisen vaiheen tapauksessa. Lisäksi fotometrisen stereon toteutuksessa ratkaistaan silmukkarakenteen sisässä useita pieniä yhtälöryhmiä, jolloin Armadillo-kirjasto ei pysty hyödyntämään rinnakkaislaskentaa yhtä hyvin kuin ison yhtälöryhmän tapauksessa. Tästä samasta syystä myös ViennaCL-toteutus jäi todella hitaaksi. Silmukkarakenteen jokaisella kierroksella on kopioitava data keskusmuistista grafiikkamuistiin ja pysäytettävä keskussuoritin siksi aikaa kun grafiikkasuoritin ratkaisee pienikokoisen yhtälöryhmän sekä kopioi tuloksen takaisin keskusmuistiin. Grafiikkasuorittimet on suunniteltu juuri päinvastaiseen tarkoitukseen, jossa käsitellään suuria määriä alkioita kerralla ja keskussuorittimen kanssa asynkronisesti. Vaikka kaikkien hyperspektrikuvan siivujen käsitteleminen keralla pienentää tätä ongelmaa, se ei nähtävästi ole vielä tarpeeksi luomaan eroa sarjallisen ja rinnakkaisen laskennan välille. Sekä Armadillo- että ViennaCL-toteutuksen suorituskykyä voisi olla mahdollista parantaa asettamalla ongelma uuteen muotoon siten, että silmukkarakenteesta päästäisiin eroon ja ratkaistavan yhtälöryhmän koko kasvaisi. ViennaCL-toteutusta voisi parantaa myös toteuttamalla oman mukautetun ydinohjelman, joka kykenisi ratkaisemaan useita pienikokoisia yhtälöryhmiä rinnakkaisesti.

Syvyyskartan luontivaiheen suoritusajat tukevat arvioita edellisen vaiheen ViennaCL-toteutuksen hitaudesta. Hyperspektraalisen syvyyskartan siivu määritetään ratkaisemalla vain yksi erittäin suuri lineaarinen yhtälöryhmä, mikä voidaan suorittaa grafiikkasuorittimella hyvin nopeasti. Lisäksi kun ViennaCL-kirjasto mahdollistaa pohjustinmatriisin käytön, on suoritus aika yli 13 kertaa niin nopea kuin Matlab-toteutuksella. Tämän logiikan mukaisesti voidaan arvioida, että syvyyskartan luontivaiheessa myös Armadillo-toteutus olisi voinut olla Matlab-toteutusta nopeampi. Tämä rinnakkaislaskennan tuoma etu on merkittävä juuri hyperspektraalisten syvyyskarttojen tapauksessa, jossa ratkaistavia yhtälöryhmiä voi olla satoja.

Tulevaisuudessa olisi kannattavaa tutkia millä materiaaleilla ja virtuaalisilla valonlähteillä hyperspektrikuvantamisen hyöty tietokonegraafikassa maksimoituu, jolloin käytännön sovelluksissa voitaisiin valita missä tilanteissa sitä kannattaa käyttää. Lisäksi olisi hyödyllistä tutkia itse toteutettujen, hyperspektraaliin fotometriseen stereoon mukautettujen, grafiikkasuorittimella suoritettavien ydinohjelmien vaikutusta mallien luomisen suorituskyvyssä.

6 Yhteenveto

Tässä tutkielmassa tutkittiin, kuinka paljon hyperspektrikuvantaminen parantaa fotometrillä stereolla luoduista malleista renderöityjen kuvien kuvanlaatua. Tutkimuksessa kuvattiin hyperspektrikameralla kolme eri kohdetta, ja niistä luotiin kolmiulotteiset mallit otettujen kuvien sekä fotometrisen stereon avulla. Malleista renderöitiin kahta eri virtuaalista valonlähdettä käyttäen kuvia, joita verrattiin kontrollikuviiin, jotka oli luotu ilman hyperspektraalista dataa.

Subjektiiivisen vertailun tuloksena hyperspektrikuvantamisen havaittiin tekevän värisävyyttä luonnollisempia ja näin ollen parantavan kuvanlaatua. Lisäksi luotujen mallien muotojen havaittiin riippuvan valon aallonpituudesta, jota ei tavallisten valokuvien avulla luoduissa malleissa oteta yhtä tarkasti huomioon. Näin ollen myös hyperspektrikuvia käyttäen renderöidyt varjostukset vastaavat tarkemmin reaalia maailmaa. Vaikutukset jäivät kuitenkin hyvin pieniksi ja vaikeasti havaittaviksi. Hyperspektrikuvien avulla luotujen mallien renderöimisen havaittiin lisäksi olevan moninkerroin hitaampaa kuin kontrollikuvien avulla luotujen mallien. Tämä rajoittaa tutkimuksessa toteutetun menetelmän käyttämisen ei-reaaliaikaisiin renderöijiin.

Tutkielmassa tutkittiin lisäksi hyperspektrikuvantamisen avulla toteutetun fotometrisen stereon nopeuttamista moniydin- ja grafiikkasuorittimilla suoritettavalla rinnakkaislaskennalla. Tutkimuksen rinnakkaislaskentaa hyödyntävät toteutukset luotiin käyttäen valmiita numeerisen lineaarialgebran kirjastoja. Näiden toteutuksien suoritusajoja verrattiin sarjallisten toteutuksien suoritusajoihin.

Tutkimuksen rinnakkaislaskentatoteutukset rinnakkaistivat laskentaa vain osittain ja siten, että rinnakkaistetut tehtävät olivat pieniä verrattuna koko tehtävään. Näin ollen tutkimuksen toteutukset eivät hyödyntäneet rinnakkaislaskentaa optimaalisesti. Lisäksi kun sarjalliset toteutukset käyttivät suorittimen AVX-vektorikäskyjä, ei rinnakkaislaskennalla saatu pintojen orientaatioiden määrittämisen suoritusajoja lainkaan pienemmiksi. Kuitenkin pintojen muotojen määrittäminen orientaatioiden avulla nopeutui grafiikkasuorittimella suoritettavalla rinnakkaislaskennalla yli 13-kertaisesti sarjalliseen toteutukseen verrattuna.

Lähteet

- Akenine-Möller, Tomas, Eric Haines ja Naty Hoffman. 2008. *Real-Time Rendering 3rd Edition*. 3. painos. 1045. Natick, MA, USA: A. K. Peters, Ltd. ISBN: 987-1-56881-424-7.
- Ashdown, Ian. 2002. "Photometry and Radiometry, A Tour Guide for Computer Graphics Enthusiasts" (lokakuu). Viitattu 23. toukokuuta 2017. <http://www.helios32.com/Measuring%20Light.pdf>.
- Bailey, Mike, ja Steve Cunningham. 2009. *Graphics Shaders: Theory and Practice*. Natick, MA, USA: A. K. Peters, Ltd. ISBN: 1568813341, 9781568813349.
- Barsky, Svetlana, ja Maria Petrou. 2003. "The 4-source photometric stereo technique for three-dimensional surfaces in the presence of highlights and shadows". *IEEE Transactions on Pattern Analysis and Machine Intelligence* 25 (10): 1239–1252. Viitattu 1. kesäkuuta 2017. <http://www2.ee.ic.ac.uk/publications/p4689.pdf>.
- Chandraker, M., S. Agarwal ja D. Kriegman. 2007. "ShadowCuts: Photometric Stereo with Shadows". Teoksessa *2007 IEEE Conference on Computer Vision and Pattern Recognition*, 1–8. Kesäkuu. doi:10.1109/CVPR.2007.383288.
- Chung, Hin-Shun, ja Jiaya Jia. 2008. "Efficient photometric stereo on glossy surfaces with wide specular lobes". Teoksessa *2008 IEEE Conference on Computer Vision and Pattern Recognition*, 1–8. Kesäkuu. doi:10.1109/CVPR.2008.4587771.
- Coffey, Valerie C. 2012. "Multispectral Imaging Moves into the Mainstream". *Opt. Photon. News* 23, numero 4 (huhtikuu): 18–24. doi:10.1364/OPN.23.4.000018. <http://www.osa-opn.org/abstract.cfm?URI=opn-23-4-18>.
- Du, Peng, Rick Weber, Piotr Luszczek, Stanimire Tomov, Gregory Peterson ja Jack Dongarra. 2012. "From CUDA to OpenCL: Towards a performance-portable solution for multi-platform GPU programming". *Parallel Computing* 38 (8): 391–407. ISSN: 0167-8191. doi:<https://doi.org/10.1016/j.parco.2011.10.002>. <http://www.sciencedirect.com/science/article/pii/S0167819111001335>.

Eskelinen, Matti A., Ilkka Pölönen, Billy Braithwaite, Anna-Leena Erkkilä ja Tero Tuovinen. 2016. "Photometric stereo imaging of skin with a frame based spectral imager". Maaliskuu. doi:10.13140/RG.2.1.1076.9527.

Gao, Jiangning. 2016. "3D Face Recognition Using Multicomponent Feature Extraction from the Nasal Region and its Environs". Tohtorinväitöskirja, The Department of Electronic ja Electrical Engineering University of Bath. Viitattu 1. kesäkuuta 2017. http://opus.bath.ac.uk/55046/1/Thesis_Jiangning.pdf.

Garini, Yuval, Ian T. Young ja George McNamara. 2006. "Spectral imaging: Principles and applications". *Cytometry Part A* 69A (8): 735–747. ISSN: 1552-4930. doi:10.1002/cyto.a.20311. <http://dx.doi.org/10.1002/cyto.a.20311>.

Ghorpade, Jayshree, Jitendra Parande, Madhura Kulkarni ja Amit Bawaskar. 2012. "GPGPU Processing in CUDA Architecture". *CoRR* abs/1202.4347. <http://arxiv.org/abs/1202.4347>.

Govender, M, K Chetty, V Naiken ja H Bulcock. 2008. "A comparison of satellite hyperspectral and multispectral remote sensing imagery for improved classification and mapping of vegetation". *Water SA* 34 (helmikuu): 147–154. ISSN: 1816-7950. http://www.scielo.org.za/scielo.php?script=sci_arttext&pid=S1816-795020080002000nrm=iso.

Gustavson, Stefan. 2017. *Lighting*. Viitattu 23. toukokuuta 2017. http://weber.itn.liu.se/~stegu/TNM061-2017/04_lights.pdf.

Hanrahan, Pat, ja Wolfgang Krueger. 1993. "Reflection from Layered Surfaces due to Sub-surface Scattering". Viitattu 23. toukokuuta 2017. <https://cseweb.ucsd.edu/~ravir/6998/papers/p165-hanrahan.pdf>.

Hartikainen, Juha, ja Reijo Kouhia. 2010. "Elementtimenetelmän lineaarisen yhtälösystemin iteratiivisesta ratkaisusta". *Rakenteiden Mekaniikka* 43 (2): 94–126. Viitattu 22. toukokuuta 2017. http://rmseura.tkk.fi/rmlehti/2010/nro2/RakMek_43_2_2010_2.pdf.

- Harvey, David. 2012. *Chapter 10, Spectroscopic Methods*. Heinäkuu. Viitattu 23. toukokuuta 2017. <https://www.saylor.org/site/wp-content/uploads/2012/07/Chapter1011.pdf>.
- Hearn, Donald D., ja M. Pauline Baker. 2003. *Computer Graphics with OpenGL*. 3. painos. Prentice Hall Professional Technical Reference. ISBN: 0130153907.
- Horn, Berthold K. P. 1977. *Understanding Image Intensities*. Viitattu 28. helmikuuta 2017. https://www.cs.bgu.ac.il/~ben-shahar/Teaching/Computational-Vision/Readings/1977-Horn-Understanding_Image_Intensities.pdf.
- Horn, Berthold KP. 1989. "Obtaining shape from shading information". Teoksessa *Shape from shading*, 123–171. MIT press. Viitattu 28. helmikuuta 2017. https://www.cs.bgu.ac.il/~ben-shahar/Teaching/Computational-Vision/Readings/1977-Horn-Understanding_Image_Intensities.pdf.
- Horn, Berthold KP, ja Robert W Sjoberg. 1979. "Calculating the reflectance map". *Applied optics* 18 (11): 1770–1779. Viitattu 8. maaliskuuta 2017. <http://people.csail.mit.edu/bkph/AIM/AIM-498-OPT.pdf>.
- Kampouris, Christos, Stefanos Zafeiriou, Abhijeet Ghosh ja Sotiris Malassiotis. 2016. "Fine-Grained Material Classification Using Micro-geometry and Reflectance". Teoksessa *Computer Vision – ECCV 2016: 14th European Conference, Amsterdam, The Netherlands, October 11-14, 2016, Proceedings, Part V*, toimittanut Bastian Leibe, Jiri Matas, Nicu Sebe ja Max Welling, 778–792. Cham: Springer International Publishing. ISBN: 978-3-319-46454-1. doi:10.1007/978-3-319-46454-1_47. http://dx.doi.org/10.1007/978-3-319-46454-1_47.
- Kapasi, Ujval J., Scott Rixner, William J. Dally, Brucek Khailany, Jung Ho Ahn, Peter Mattson ja John D. Owens. 2003. "Programmable Stream Processors". *Computer* (Los Alamitos, CA, USA) 36, numero 8 (elokuu): 54–62. ISSN: 0018-9162. doi:10.1109/MC.2003.1220582. <http://dx.doi.org/10.1109/MC.2003.1220582>.
- Khronos Group. 2016a. "OpenGL Overview". Viitattu 24. toukokuuta 2017. <https://www.opengl.org/about/>.

Khronos Group. 2016b. “OpenGL Overview”. Viitattu 24. toukokuuta 2017. https://www.opengl.org/documentation/current_version/.

———. 2017. “Khronos OpenCL Registry”. Viitattu 24. toukokuuta 2017. <https://www.khronos.org/registry/OpenCL/>.

Using VIS/NIR and IR spectral cameras for detecting and separating crime scene details. 2012. Nide 8359. doi:10.1117/12.918555. <http://dx.doi.org/10.1117/12.918555>.

Layton, William, ja Myron Sussman. 2014. *Numerical Linear Algebra*. ISBN: 978-1-312-32985-0.

Lu, Guolan, ja Baowei Fei. 2014. “Medical hyperspectral imaging: a review”. *Journal of Biomedical Optics* 19, numero 1 (tammikuu): 10901–10901. doi:10.1117/1.JBO.19.1.010901. <http://dx.doi.org/10.1117/1.JBO.19.1.010901>.

Löyttyniemi, Tommi, Seyhan Nuyan, Marko Toskala ja Jari Alm. 2017. “On-line Topography Analysis By Photometric Stereo Method – New Tools For Tissue, Paper And Board Makers”. *O Papel* 78, numero 3 (maaliskuu): 76–81. Viitattu 1. kesäkuuta 2017. http://www.revistaopapel.org.br/noticia-anexos/1490151315_799a87f0e9688f51eb656e531146345.pdf.

Martonchik, John V, Carol J Bruegge ja Alan H Strahler. 2000. “A review of reflectance nomenclature used in remote sensing”. *Remote Sensing Reviews* 19 (1-4): 9–20. doi:10.1080/02757250009532407.

MathWorks. 2017. “Matlab Documentation, QR Solver”. Viitattu 24. toukokuuta 2017. <https://se.mathworks.com/help/dsp/ref/qrsolver.html>.

Nam, G., ja M. H. Kim. 2014. “Multispectral Photometric Stereo for Acquiring High-Fidelity Surface Normals”. *IEEE Computer Graphics and Applications* 34, numero 6 (marraskuu): 57–68. ISSN: 0272-1716. doi:10.1109/MCG.2014.108.

Nicodemus, F.E., NBS., Stati Uniti d'America. National bureau of standards, J.C. Richmond, J.J. Hsia, I.W. Ginsberg, T. Limperis ja United States. National Bureau of Standards. 1977. *Geometrical Considerations and Nomenclature for Reflectance*. NBS monograph. U.S. Government Printing Office. Viitattu 28. helmikuuta 2017. <https://graphics.stanford.edu/courses/cs448-05-winter/papers/nicodemus-brdf-nist.pdf>.

Ozawa, Keisuke, Imari Sato ja Masahiro Yamaguchi. 2017. "Hyperspectral photometric stereo for a single capture". *J. Opt. Soc. Am. A* 34, numero 3 (maaliskuu): 384–394. doi:10.1364/JOSAA.34.000384.

Palmer, James M, ja Lewis Carroll. 1999. "Radiometry and photometry FAQ". URL: <http://www.optics.arizona.edu/Palmer/rpfag/rpfag.htm#motivation>. Viitattu 28. helmikuuta 2017. https://employeepages.scad.edu/~kwitte/documents/Photometry_FAQ.PDF.

Pasquini, L., G. Avila, A. Blecha, C. Cacciari, V. Cayatte, M. Colless, F. Damiani ym. 2002. "Installation and commissioning of FLAMES, the VLT Multifibre Facility". *The Messenger* 110 (joulukuu): 1–9. Viitattu 23. toukokuuta 2017. <http://esoads.eso.org/abs/2002MsngR.110....1P>.

Pevar, Andrew, Lieven Verswyvel, Stamatios Georgoulis, Nico Cornelis, Marc Proesmans, Luc Van Gool ja Leuven. 2015. "Real-time Photometric Stereo". Viitattu 19. toukokuuta 2017. <http://www.ifp.uni-stuttgart.de/publications/phow015/190VanGool.pdf>.

Polak, Adam, Timothy Kelman, Paul Murray, Stephen Marshall, David J.M. Stothard, Nicholas Eastaugh ja Francis Eastaugh. 2017. "Hyperspectral imaging combined with data classification techniques as an aid for artwork authentication". *Journal of Cultural Heritage*. ISSN: 1296-2074. doi:<https://doi.org/10.1016/j.culher.2017.01.013>. <http://www.sciencedirect.com/science/article/pii/S1296207417301218>.

Puhakka, Antti. 2008. *3D-grafikka*. Talentum Media / Antti Puhakka. ISBN: 978-952-14-1192-2.

Rissanen, Anna, ja Heikki Saari. 2014. “Fabry-Perot Interferometer technologies”. Toukokuu. Viitattu 24. toukokuuta 2017. <http://www.vttresearch.com/Impulse/Pages/Fabry-Perot-Interferometer-technologies.aspx>.

Miniaturized hyperspectral imager calibration and UAV flight campaigns. 2013. Nide 8889. doi:10.1117/12.2028972. <http://dx.doi.org/10.1117/12.2028972>.

Schaepman-Strub, Gabriela, ME Schaepman, TH Painter, S Dangel ja JV Martonchik. 2006. “Reflectance quantities in optical remote sensing—Definitions and case studies”. *Remote sensing of environment* 103 (1): 27–42. doi:10.1016/j.rse.2006.03.002.

Smith, Randall B. 2012. *Introduction to Hyperspectral Imaging*. Verkkosivulla, tammikuu. Viitattu 23. toukokuuta 2017. <http://www.microimages.com/documentation/Tutorials/hyprspec.pdf>.

Tekatch, Anthony. 2009. “Electromagnetic Radiation Spectrum poster”. Helmikuu. Viitattu 23. toukokuuta 2017. http://unihedron.com/projects/spectrum/downloads/spectrum_20090210.pdf.

Teke, M., H. S. Deveci, O. Haliloğlu, S. Z. Gürbüz ja U. Sakarya. 2013. “A short survey of hyperspectral remote sensing applications in agriculture”. Teoksessa *2013 6th International Conference on Recent Advances in Space Technologies (RAST)*, 171–176. Kesäkuu. doi:10.1109/RAST.2013.6581194.

TUWien. 2016a. “A manual and reference documentation of ViennaCL”. Viitattu 22. toukokuuta 2017. <http://viennacl.sourceforge.net/doc/>.

———. 2016b. “ViennaCL - The Vienna Computing Library”. Viitattu 24. toukokuuta 2017. <http://viennacl.sourceforge.net/doc/manual-algorithms.html>.

Unnc, M., Y. Inoue ja H. Asar. 2009. “GPGPU-FDTD method for 2-dimensional electromagnetic field simulation and its estimation”. Teoksessa *2009 IEEE 18th Conference on Electrical Performance of Electronic Packaging and Systems*, 239–242. Lokakuu. doi:10.1109/EPEPS.2009.5338432.

Varnavas, A., V. Argyriou, J. Ng ja A. A. Bharath. 2010. "Dense photometric stereo reconstruction on many core GPUs". Teoksessa *2010 IEEE Computer Society Conference on Computer Vision and Pattern Recognition - Workshops*, 59–65. Kesäkuu. doi:10.1109/CVPRW.2010.5543152.

Woodham, Robert J. 1980. "Photometric method for determining surface orientation from multiple images". *Optical engineering* 19 (1): 191139–191139. doi:10.1016/j.rse.2006.03.002.

Wu, Ying. 1978. "Radiometry, BRDF and Photometric Stereo". Viitattu 8. maaliskuuta 2017. <http://people.csail.mit.edu/bkph/AIM/AIM-498-OPT.pdf>.

Yuen, P WT, ja M Richardson. 2010. "An introduction to hyperspectral imaging and its application for security, surveillance and target acquisition". *The Imaging Science Journal* 58 (5): 241–253. doi:10.1179/174313110X12771950995716. <http://dx.doi.org/10.1179/174313110X12771950995716>.

Zheludev, Valery, Ilkka Pölönen, Noora Neittaanmäki-Perttu, Amir Averbuch, Pekka Neittaanmäki, Mari Grönroos ja Heikki Saari. 2015. "Delineation of malignant skin tumors by hyperspectral imaging using diffusion maps dimensionality reduction". *Biomedical Signal Processing and Control* 16:48–60. ISSN: 1746-8094. doi:<https://doi.org/10.1016/j.bspc.2014.10.010>. <http://www.sciencedirect.com/science/article/pii/S1746809414001608>.

Liitteet

A Valojen suuntien laskennan Matlab-lähdekoodi

```
1 function [L, theta, phi] = CalculateLightDirections()
2     mask = imread('.../programming/data/calib/calib_mask.bmp');
3
4     % Find the center and radius of the mask ball
5     [maskRows, maskCols] = find(mask);
6     left = min(maskCols);
7     right = max(maskCols);
8     top = min(maskRows);
9     radius = (right - left) / 2;
10    center = [left + radius, top + radius];
11
12    disp('Started_calculating_light_directions');
13    [L1, theta1, phi1] = LightDirection(1, center, radius);
14    [L2, theta2, phi2] = LightDirection(2, center, radius);
15    [L3, theta3, phi3] = LightDirection(3, center, radius);
16
17    L = [L1;L2;L3];
18
19    theta = [theta1; theta2; theta3];
20    phi = [phi1; phi2; phi3];
21
22    save L.mat L;
23 end
24
25 function [L, theta, phi] = LightDirection(index, center, radius)
26     % Find the brightest spot on the chrome ball
27     calibFiles = {'.../programming/data/calib/NE-kuula_RAD', ...
28                 '.../programming/data/calib/S-kuula_RAD', ...
29                 '.../programming/data/calib/NW-kuula_RAD'};
30     [ballBands, numBands] = ReadENVI(calibFiles{index});
31
32     theta = zeros(1, numBands);
33     phi = zeros(1, numBands);
34
35     % The direction to the camera
36     camera = [0, 0, 1];
37
38     L = [0,0,0];
39     for i = 1:numBands
40         ball = squeeze(ballBands(:, :, i));
41         [~, brightestX] = max(max(ball));
42         [~, brightestY] = max(ball(:, brightestX));
```

```

43
44     % Calculate the normal vector at the brightest spot
45     n = [brightestX - center(1), center(2) - brightestY, 0];
46     n(3) = sqrt(radius^2 - n(1)^2 - n(2)^2);
47     n = n / radius;
48
49     % Calculate the light direction when the reflection vector
50     % is the same as the camera vector
51     bandL = 2 * dot(camera, n) * n - camera;
52     bandL = bandL / norm(bandL);
53     L = L + bandL;
54
55     theta(i) = atan(sqrt((n(1)^2 + n(2)^2) / n(3)));
56     phi(i) = atan(n(2)/n(1));
57 end
58 L = L / norm(L);
59 end

```

B Fotometrisen stereon Matlab-toteutuksen lähdekoodi

```

1 function [NormalMap, AlbedoMap] = CalculateAlbedosAndNormals(L, imageFiles, wrFiles)
2     % Calculate reflectances I by dividing the radiances
3     % by the white reference radiances
4     [image, bands, width, height] = ReadENVI(imageFiles{1});
5     hatE = ReadENVI(wrFiles{1}) / dot(L(1,:), [0, 0, 1]);
6     I1 = image ./ hatE;
7     image = ReadENVI(imageFiles{2});
8     hatE = ReadENVI(wrFiles{2}) / dot(L(2,:), [0, 0, 1]);
9     I2 = image ./ hatE;
10    image = ReadENVI(imageFiles{3});
11    hatE = ReadENVI(wrFiles{3}) / dot(L(3,:), [0, 0, 1]);
12    I3 = image ./ hatE;
13
14    clearvars image hatE;
15
16    % Calculate normals and albedos using photometric stereo
17    disp('Photometric_stereo_starts_now!');
18    tic
19    NormalMap = single(zeros(height, width, 3, bands));
20    AlbedoMap = single(zeros(height, width, bands));
21    for x = 1:width
22        for y = 1:height
23            I = squeeze([I1(y,x,:); I2(y,x,:); I3(y,x,:)]);
24
25            G = L \ I;
26
27            normals = single(zeros(3, bands));

```



```

28         albedos = single(zeros(1, bands));
29         for band = 1:bands
30             albedos(band) = norm(G(:,band));
31             normals(:,band) = G(:,band) / albedos(band);
32         end
33
34         NormalMap(y,x,,:) = normals;
35         AlbedoMap(y,x,,:) = albedos;
36     end
37 end
38 toc
39
40 save NormalMap.mat -v7.3 NormalMap;
41 save AlbedoMap.mat -v7.3 AlbedoMap;
42 end

```

C Syvyyskartan laskennan Matlab-toteutuksen lähdekoodi

```

1 function [] = CalculateAndSaveDepths(NormalMap, Folder)
2     dimensions = size(NormalMap);
3     width = dimensions(2);
4     height = dimensions(1);
5     bands = dimensions(4);
6     pixels = width * height;
7
8     signs = ones(2 * pixels, 1);
9     signs(2:2:length(signs)) = -1; % Positive y points up but we move down
10    % Left steps
11    for i = 1:height
12        signs(i * 2 * width - 1) = -1;
13    end
14    % Up steps
15    for i = 0:width - 1
16        signs((pixels - width + 1) * 2 + 2 * i) = 1;
17    end
18
19    % Two non-zero elements per row
20    Mrows = zeros(4 * pixels - 1, 1);
21    Mcolumns = zeros(4 * pixels - 1, 1);
22    Mvalues = ones(4 * pixels - 1, 1);
23    Mvalues(2 * pixels + 1:4 * pixels - 1) = -1;
24    % Positives
25    for i = 1:pixels
26        % x
27        Mrows(2 * i - 1) = 2 * i - 1;
28        Mcolumns(2 * i - 1) = i;
29        % y

```

```

30     Mrows(2 * i) = 2 * i;
31     Mcolumns(2 * i) = i;
32     end
33     % Negatives
34     for i = 1:pixels
35         % x
36         Mrows(2 * pixels + 2 * i - 1) = 2 * i - 1;
37         if signs(2 * i - 1) == 1
38             Mcolumns(2 * pixels + 2 * i - 1) = i + 1; % Right step
39         else
40             Mcolumns(2 * pixels + 2 * i - 1) = i - 1; % Left step
41         end
42         % y
43         if i ~= pixels % Down from the bottom right corner z = 0
44             Mrows(2 * pixels + 2 * i) = 2 * i;
45             if signs(2 * i) == -1
46                 Mcolumns(2 * pixels + 2 * i) = i + width; % Down step
47             else
48                 Mcolumns(2 * pixels + 2 * i) = i - width; % Up step
49             end
50         end
51     end
52     M = sparse(Mrows, Mcolumns, Mvalues);
53
54     for band = 1:bands
55         tic
56         n = zeros(2 * pixels, 1); %n_x and n_y divided by n_z
57         for i = 1:pixels
58             normal = squeeze(NormalMap(ceil(i / width), rem(i, width) + 1, :, band));
59             n(i * 2 - 1) = normal(1) / normal(3);
60             n(i * 2) = normal(2) / normal(3);
61         end
62         n = signs.*n;
63
64         z = M\ n;
65
66         % Save depth maps to files
67         name = ['./results/', Folder, '/matlab/depth_map_', num2str(band), '.float'];
68         minDepth = min(z);
69         maxDepth = max(z);
70         z = (z - minDepth) / (maxDepth - minDepth); % Scale to [0,1]
71         fileID = fopen(name, 'w');
72         fwrite(fileID, z, 'float32');
73         fclose(fileID);
74         toc
75         disp(name);
76

```

```

77     Z = reshape(z, [width, height]);
78     Z = Z';
79     save Z63.mat Z;
80 end
81 end

```

D Fotometrisen stereon ViennalCL-toteutuksen lähdekoodi

```

1 #include <iostream>
2 #include <cstdlib>
3 #include <cmath>
4
5 #include <boost/numeric/ublas/matrix.hpp>
6
7 #define VIENNACL_WITH_OPENCL
8 #include "viennacl/scalar.hpp"
9 #include "viennacl/vector.hpp"
10 #include "viennacl/matrix.hpp"
11 #include "viennacl/linalg/lu.hpp"
12 #include "viennacl/linalg/prod.hpp"
13 #include "viennacl/linalg/inner_prod.hpp"
14 #include "viennacl/linalg/matrix_operations.hpp"
15 #include "viennacl/tools/timer.hpp"
16
17 struct Vector4
18 {
19     float x = 0, y = 0, z = 0, w = 0;
20 };
21
22 static const int WIDTH = 1920;
23 static const int HEIGHT = 1200;
24 static const int BAND_COUNT = 133;
25 static const int BAND_SIZE = WIDTH * HEIGHT;
26 static const int CUBE_SIZE = BAND_SIZE * BAND_COUNT;
27 static const int LIGHT_COUNT = 3;
28
29 static const int MATRIX_COLUMNS = 13300;
30 static const int MATRIX_ROWS = 11520;
31
32 static const float gLightDirections[] =
33     { 0.5737252f, 0.1018354f, 0.8126924f, // Light 1
34       -0.1972557f, -0.8252646f, 0.5291772f, // Light 2
35       -0.5274715f, 0.2341063f, 0.8166811f }; // Light 3
36
37 static viennacl::vector<float> L1(3);
38 static viennacl::vector<float> L2(3);
39 static viennacl::vector<float> L3(3);

```

```

40
41 static viennacl::matrix<float> L(LIGHT_COUNT, 3); // 3 dimensional space
42
43 viennacl::tools::timer gTimer;
44
45 typedef unsigned char byte;
46
47 using namespace boost::numeric;
48
49 float* readENVI(const char* filename)
50 {
51     std::ifstream file(filename, std::ios::binary);
52     if (!file.good())
53     {
54         std::cout << "Failed_to_open_" << filename << std::endl;
55         std::terminate();
56     }
57
58     unsigned int size = WIDTH * HEIGHT * BAND_COUNT * sizeof(float);
59     char* data = new char[size];
60
61     file.seekg(0, std::ios::beg);
62     printf("start_reading_file\n");
63     gTimer.start();
64     file.read(data, size);
65     double exec_time = gTimer.get();
66     std::cout << "end_reading_file:" << exec_time << std::endl;
67     file.close();
68
69     return (float*)data;
70 }
71
72 void writeBandTo8BitFile(float* pSrc, const char* filename)
73 {
74     std::ofstream file(filename, std::ios::out | std::ios::app | std::ios::binary);
75     if (!file.good())
76     {
77         std::cout << "Failed_to_open_" << filename << std::endl;
78         std::terminate();
79     }
80
81     byte* pDst = new byte[BAND_SIZE];
82
83     for (int i = 0; i < BAND_SIZE; ++i)
84     {
85         pDst[i] = fmin(pSrc[i], 1.0f) * 255;
86     }

```

```

87
88     file.write((char*)pDst, BAND_SIZE);
89     file.close();
90 }
91
92 void writeBandTo32BitFile(Vector4* pSrc, const char* filename)
93 {
94     std::ofstream file(filename, std::ios::out | std::ios::app | std::ios::binary);
95     if (!file.good())
96     {
97         std::cout << "Failed_to_open_" << filename << std::endl;
98         std::terminate();
99     }
100
101     byte* pDst = new byte[BAND_SIZE * 4];
102
103     for (int i = 0; i < BAND_SIZE; ++i)
104     {
105         Vector4 albedoAndNormal = pSrc[i];
106         pDst[i * 4 + 0] = fmin(albedoAndNormal.x, 1.0f) * 255;
107         pDst[i * 4 + 1] = fmin(albedoAndNormal.y, 1.0f) * 255;
108         pDst[i * 4 + 2] = fmin(albedoAndNormal.z, 1.0f) * 255;
109         pDst[i * 4 + 3] = fmin(albedoAndNormal.w, 1.0f) * 255;
110     }
111
112     file.write((char*)pDst, BAND_SIZE);
113     file.close();
114 }
115
116 class GpuCube
117 {
118 public:
119     GpuCube(char* filename)
120     {
121         float* data = readENVI(filename);
122         printf("start_uploading_to_gpu\n");
123         gTimer.start();
124         for (int i = 0; i < 2; ++i)
125         {
126             ublas::matrix<float> cpuData(MATRIX_ROWS, MATRIX_COLUMNS);
127             float* dst = &cpuData.data()[0];
128             memcpy(dst,
129                 data + i * MATRIX_ROWS * MATRIX_COLUMNS,
130                 MATRIX_ROWS * MATRIX_COLUMNS * sizeof(float));
131
132             gpuData[i] = viennacl::matrix<float>(MATRIX_ROWS, MATRIX_COLUMNS);
133             viennacl::copy(cpuData, gpuData[i]);

```

```

134     }
135     double exec_time = gTimer.get();
136     std::cout << "end_uploading_to_gpu:" << exec_time << std::endl;
137     delete [] data;
138
139     cpuData = ublas::matrix<float>(MATRIX_ROWS, MATRIX_COLUMNS);
140 }
141
142 void update(char* filename)
143 {
144     float* data = readENVI(filename);
145     for (int i = 0; i < 2; ++i)
146     {
147         ublas::matrix<float> cpuData(MATRIX_ROWS, MATRIX_COLUMNS);
148         float* dst = &cpuData.data()[0];
149         memcpy(dst,
150             data + i * MATRIX_ROWS * MATRIX_COLUMNS,
151             MATRIX_ROWS * MATRIX_COLUMNS * sizeof(float));
152         viennacl::copy(cpuData, gpuData[i]);
153     }
154     delete [] data;
155     cpuDataDirty = true;
156 }
157
158 void devideBy(const GpuCube& cube)
159 {
160     printf("division_starts\n");
161     gTimer.start();
162     for (int i = 0; i < 2; ++i)
163     {
164         gpuData[i] = viennacl::linalg::element_div(gpuData[i], cube.gpuData[i]);
165     }
166     // viennacl::backend::finish();
167     double exec_time = gTimer.get();
168     std::cout << "division_ends:" << exec_time << std::endl;
169     cpuDataDirty = true;
170 }
171
172 void devideBy(float value)
173 {
174     for (int i = 0; i < 2; ++i)
175     {
176         gpuData[i] = gpuData[i] / value;
177     }
178 }
179
180 void testWriteToFile(int band)

```

```

181     {
182         ublas::matrix<float> cpuData0(MATRIX_ROWS, MATRIX_COLUMNS);
183         viennacl::copy(gpuData[0], cpuData0);
184         ublas::matrix<float> cpuData1(MATRIX_ROWS, MATRIX_COLUMNS);
185         viennacl::copy(gpuData[1], cpuData1);
186         float* data0 = &cpuData0.data()[0];
187         float* data1 = &cpuData1.data()[0];
188         float* sliceData = new float[WIDTH * HEIGHT];
189         for (int i = 0; i < WIDTH * HEIGHT / 2; ++i)
190         {
191             float value = data0[band + BAND_COUNT * i];
192             sliceData[i] = value;
193         }
194         for (int i = 0; i < WIDTH * HEIGHT / 2; ++i)
195         {
196             float value = data1[band + BAND_COUNT * i];
197             sliceData[WIDTH * HEIGHT / 2 + i] = value;
198         }
199         writeBandTo8BitFile(sliceData, "/Users/markus/testImage.jee");
200     }
201
202     const float* getCpuData()
203     {
204         if (cpuDataDirty)
205         {
206             viennacl::copy(gpuData[0], cpuData);
207             cpuDataDirty = false;
208         }
209         return &cpuData.data()[0];
210     }
211
212 private:
213     viennacl::matrix<float> gpuData[2];
214     ublas::matrix<float> cpuData; //(MATRIX_ROWS, MATRIX_COLUMNS);
215     bool cpuDataDirty = true;
216 };
217
218 Vector4* calculateAlbedosAndNormals()
219 {
220     std::cout << "Device Name:" << viennacl::ocl::current_device().name() << std::endl;
221
222     std::vector<float> cpuZaxis;
223     cpuZaxis.push_back(0);
224     cpuZaxis.push_back(0);
225     cpuZaxis.push_back(1);
226     viennacl::vector<float> zAxis;
227     viennacl::copy(cpuZaxis, zAxis);

```

```

228
229 GpuCube gpuWr("/Users/markus/gradu/programming/data/wr/converted/NE-wr_RAD.dat");
230 gpuWr.devideBy(viennacl::linalg::inner_prod(L1, zAxis));
231 GpuCube gpuReflectance1("/Users/markus/gradu/programming/data/smurf/converted/NE-
Smurf_RAD.dat");
232 gpuReflectance1.devideBy(gpuWr);
233 const float* reflectanceSlices1 = gpuReflectance1.getCpuData();
234
235 gpuWr.update("/Users/markus/gradu/programming/data/wr/converted/S-wr_RAD.dat");
236 gpuWr.devideBy(viennacl::linalg::inner_prod(L2, zAxis));
237 GpuCube gpuReflectance2("/Users/markus/gradu/programming/data/smurf/converted/S-
Smurf_RAD.dat");
238 gpuReflectance2.devideBy(gpuWr);
239 const float* reflectanceSlices2 = gpuReflectance2.getCpuData();
240
241 gpuWr.update("/Users/markus/gradu/programming/data/wr/converted/NW-wr_RAD.dat");
242 gpuWr.devideBy(viennacl::linalg::inner_prod(L3, zAxis));
243 GpuCube gpuReflectance3("/Users/markus/gradu/programming/data/smurf/converted/NW-
Smurf_RAD.dat");
244 gpuReflectance3.devideBy(gpuWr);
245 const float* reflectanceSlices3 = gpuReflectance3.getCpuData();
246
247 Vector4* albedosAndNormals = new Vector4[CUBE_SIZE];
248
249 ublas::matrix<float> cpuI(LIGHT_COUNT, BAND_COUNT);
250 viennacl::matrix<float> I(LIGHT_COUNT, BAND_COUNT);
251 for (int y = 0; y < HEIGHT / 2; ++y)
252 {
253     printf("Start_calculating_albedos_and_normals_for_row_%d", y);
254     gTimer.start();
255     for (int x = 0; x < WIDTH; ++x)
256     {
257         float* dst = &cpuI.data()[0];
258         memcpy(dst + BAND_COUNT * 0,
259             reflectanceSlices1 + (y * WIDTH + x) * BAND_COUNT,
260             BAND_COUNT * sizeof(float));
261         memcpy(dst + BAND_COUNT * 1,
262             reflectanceSlices2 + (y * WIDTH + x) * BAND_COUNT,
263             BAND_COUNT * sizeof(float));
264         memcpy(dst + BAND_COUNT * 2,
265             reflectanceSlices3 + (y * WIDTH + x) * BAND_COUNT,
266             BAND_COUNT * sizeof(float));
267         viennacl::copy(cpuI, I);
268
269         viennacl::linalg::lu_substitute(L, I);
270
271         viennacl::copy(I, cpuI);

```



```

272         float* Gdata = &cpuL.data()[0];
273         for (int band = 0; band < BAND_COUNT; ++band)
274         {
275             float normalX = Gdata[band + BAND_COUNT * 0];
276             float normalY = Gdata[band + BAND_COUNT * 1];
277             float normalZ = Gdata[band + BAND_COUNT * 2];
278             float albedo = sqrt(normalX*normalX + normalY*normalY + normalZ*normalZ);
279             normalX /= albedo;
280             normalY /= albedo;
281             normalZ /= albedo;
282             albedosAndNormals[WIDTH * y + x].x = normalX;
283             albedosAndNormals[WIDTH * y + x].y = normalY;
284             albedosAndNormals[WIDTH * y + x].z = normalZ;
285             albedosAndNormals[WIDTH * y + x].w = albedo;
286         }
287     }
288     double exec_time = gTimer.get();
289     std::cout << "One_row_of_albedos_and_normals_calculated:" << exec_time << std::
endl;
290 }
291
292 return albedosAndNormals;
293 }
294
295 void initL ()
296 {
297     ublas::matrix<float> cpuL(LIGHT_COUNT, 3);
298     float* dst = &cpuL.data()[0];
299     memcpy(dst, gLightDirections, LIGHT_COUNT * 3 * sizeof(float));
300     viennacl::copy(cpuL, L);
301     viennacl::linalg::lu_factorize(L);
302
303     ublas::vector<float> cpuLightDir(3);
304     float* dst2 = &cpuLightDir.data()[0];
305     memcpy(dst2, &gLightDirections[0], 3 * sizeof(float));
306     viennacl::copy(cpuLightDir, L1);
307     memcpy(dst2, &gLightDirections[3], 3 * sizeof(float));
308     viennacl::copy(cpuLightDir, L2);
309     memcpy(dst2, &gLightDirections[6], 3 * sizeof(float));
310     viennacl::copy(cpuLightDir, L3);
311 }
312
313 int main()
314 {
315     initL();
316     Vector4* albedosAndNormals = calculateAlbedosAndNormals();
317     writeBandTo32BitFile(albedosAndNormals + BAND_SIZE * 63, "/Users/markus/

```

```

    testiAlbedoNormal.jee");
318 delete [] albedosAndNormals;
319
320 return EXIT_SUCCESS;
321 }

```

E Syvyyskartan laskennan ViennaCL-toteutuksen lähdekoodi

```

1 void calculateAndWriteDepthMaps ()
2 {
3     // Calculate depths
4     fcolvec signs = ones<fcolvec>(2 * BAND_SIZE);
5     for (int i = 1; i < 2 * BAND_SIZE; i += 2)
6     {
7         signs(i) = -1; // Positive y points up but we move down
8     }
9     // Left steps
10    for (int i = 1; i <= HEIGHT; ++i)
11    {
12        signs(i * 2 * WIDTH - 2) = -1;
13    }
14    // Up steps
15    for (int i = 0; i < WIDTH - 1; ++i)
16    {
17        signs((BAND_SIZE - WIDTH + 1) * 2 + 2 * i - 1) = 1;
18    }
19
20    sp_fmat Mt; // Transposed M
21    viennacl::compressed_matrix<float> vclMtM; // Mt * M;
22    {
23        int rows = 2 * BAND_SIZE;
24        int cols = BAND_SIZE;
25        int value_count = 2 * rows - 1;
26        fcolvec values = ones<fcolvec>(value_count);
27        values.rows(2 * BAND_SIZE, value_count - 1) *= -1;
28        umat locations(2, value_count);
29
30        // Positives
31        for (int i = 0; i < BAND_SIZE; ++i)
32        {
33            // x
34            locations(0, 2 * i) = 2 * i;
35            locations(1, 2 * i) = i;
36            // y
37            locations(0, 2 * i + 1) = 2 * i + 1;
38            locations(1, 2 * i + 1) = i;
39        }

```

```

40     // Negatives
41     for (int i = 0; i < BAND_SIZE; ++i)
42     {
43         // x
44         locations(0, 2 * BAND_SIZE + 2 * i) = 2 * i;
45         if (signs(2 * i) == 1)
46         {
47             locations(1, 2 * BAND_SIZE + 2 * i) = i + 1; // Right step
48         }
49         else
50         {
51             locations(1, 2 * BAND_SIZE + 2 * i) = i - 1; // Left step
52         }
53         // y
54         if (i != BAND_SIZE - 1) // Down from the bottom right corner z = 0
55         {
56             locations(0, 2 * BAND_SIZE + 2 * i + 1) = 2 * i + 1;
57             if (signs(2 * i + 1) == -1)
58             {
59                 locations(1, 2 * BAND_SIZE + 2 * i + 1) = i + WIDTH; // Down step
60             }
61             else
62             {
63                 locations(1, 2 * BAND_SIZE + 2 * i + 1) = i - WIDTH; // Up step
64             }
65         }
66     }
67
68     sp_fmat M(locations, values, rows, cols, true, false);
69     Mt = trans(M);
70     sp_fmat MtM = Mt * M;
71
72     viennacl::copy(MtM, vclMtM);
73 }
74
75 // configuration of preconditioner:
76 viennacl::linalg::chow_patel_tag chow_patel_ichol_config;
77 chow_patel_ichol_config.sweeps(3); // three nonlinear sweeps
78 chow_patel_ichol_config.jacobi_iters(2); // two Jacobi iterations per triangular 'solve
79 ' Rx=r
80 // create and compute preconditioner:
81 viennacl::linalg::chow_patel_icc_precond< viennacl::compressed_matrix<float> >
82 chow_patel_ichol(vclMtM, chow_patel_ichol_config);
83
84 for (int band = 0; band < BAND_COUNT; ++band)
85 {
86     printf("Started_calculating_depth_map_%d\n", band + 1);

```

```

85     gTimer.start();
86     fcolvec n(2 * BAND_SIZE); // n_x and n_y divided by n_z
87     for (int i = 0; i < BAND_SIZE; ++i)
88     {
89         Vec3 normal = normalMaps[band][i];
90         n(i * 2) = normal.x / normal.z;
91         n(i * 2 + 1) = normal.y / normal.z;
92     }
93     n = signs % n;
94     n = Mt*n;
95     printf("It took %f seconds to generate the n and Mt*n for band %d\n", gTimer.
elapsed(), band + 1);
96
97     viennacl::vector<float> vclMtn; // Mt*n on GPU
98     viennacl::copy(n, vclMtn);
99
100    gTimer.start();
101    viennacl::vector<float> vclZ = viennacl::linalg::solve(vclMtM, vclMtn, viennacl::
linalg::cg_tag(1e-10, 100), chow_patel_ichol); // GPU
102    printf("It took %f seconds to solve the depth system for band %d\n", gTimer.elapsed
(), band + 1);
103
104    fcolvec z(BAND_SIZE);
105    viennacl::copy(vclZ, z);
106
107    float minDepth = z.min();
108    float maxDepth = z.max();
109    printf("minZ=%f, maxZ=%f", minDepth, maxDepth);
110    z = (z - minDepth) / (maxDepth - minDepth); // Scale to [0,1]
111
112    char depthFile[200];
113 #ifdef WRITE_FLOAT_TEXTURES
114     // sprintf(depthFile, "/Users/markus/gradu/programming/results/smurf/cpp_float/
depth_map_%d.float", band + 1);
115     sprintf(depthFile, "/Users/markus/gradu/programming/results/cyprus/cpp_float/
depth_map_%d.float", band + 1);
116     // sprintf(depthFile, "/Users/markus/gradu/programming/results/lego/cpp_float/
depth_map_%d.float", band + 1);
117     // sprintf(depthFile, "/Users/markus/gradu/programming/results/smurf/control/
depth_map_%d.float", band + 1);
118     writeBandToFloatTexture(z.memptr(), depthFile, 1);
119 #else
120     sprintf(depthFile, "/Users/markus/gradu/programming/results/smurf/cpp_float/
depth_map_%d.bmp", band + 1);
121     // sprintf(depthFile, "/Users/markus/gradu/programming/results/smurf/control/
depth_map_%d.bmp", band + 1);
122     writeBandTo8BitBMP(z.memptr(), depthFile);

```

```

123 #endif
124     }
125 }

```

F Fotometrisen stereon Armadillo-toteutuksen lähdekoodi

```

1 #include <iostream>
2 #include <armadillo>
3 #include <chrono>
4
5 #define VIENNA_CL_WITH_OPENCL
6 #define VIENNA_CL_WITH_ARMADILLO 1
7 #include "viennacl/scalar.hpp"
8 #include "viennacl/vector.hpp"
9 #include "viennacl/matrix.hpp"
10 #include "viennacl/linalg/lu.hpp"
11 #include "viennacl/linalg/prod.hpp"
12 #include "viennacl/linalg/matrix_operations.hpp"
13 #include "viennacl/tools/timer.hpp"
14 #include "viennacl/linalg/cg.hpp"
15 #include "viennacl/linalg/gmres.hpp"
16
17 using namespace std;
18 using namespace arma;
19
20 typedef unsigned char byte;
21
22 const int WIDTH = 1920;
23 const int HEIGHT = 1200;
24 const int BAND_COUNT = 133; // Use 3 for control
25 const int BAND_SIZE = WIDTH * HEIGHT;
26 const int CUBE_SIZE = BAND_SIZE * BAND_COUNT;
27
28 const int LIGHT_COUNT = 3;
29 const int DIMENSION_COUNT = 3;
30
31 const std::string normalMapsFile =
32     // "/Users/markus/gradu/programming/results/smurf/raw/normal_maps.raw";
33     "/Users/markus/gradu/programming/results/cyprus/raw/normal_maps.raw";
34     // "/Users/markus/gradu/programming/results/lego/raw/normal_maps.raw";
35 const std::string albedoMapsFile =
36     // "/Users/markus/gradu/programming/results/smurf/raw/albedo_maps.raw";
37     "/Users/markus/gradu/programming/results/cyprus/raw/albedo_maps.raw";
38     // "/Users/markus/gradu/programming/results/lego/raw/albedo_maps.raw";
39
40 struct Vec3 {
41     float x = 0;

```

```

42     float y = 0;
43     float z = 0;
44 };
45
46 fcube albedoMaps(HEIGHT, WIDTH, BAND_COUNT); // Column-major
47 Vec3* normalMaps[BAND_COUNT]; // Row-major
48
49                                     // Light1      Light2      Light3
50 float gLightDirections[] = { 0.5737252f,  -0.1972557f,  -0.5274715f,  // x
51                               0.1018354f,  -0.8252646f,   0.2341063f,  // y
52                               0.8126924f,   0.5291772f,   0.8166811f }; // z
53
54 float gL1[] = { 0.5737252f,  0.1018354f,  0.8126924f };
55 float gL2[] = { -0.1972557f, -0.8252646f,  0.5291772f };
56 float gL3[] = { -0.5274715f,  0.2341063f,  0.8166811f };
57 float gZaxis[] = { 0, 0, 1};
58
59 // #define LOAD_NORMALS_FROM_DISK
60 #define WRITE_FLOAT_TEXTURES
61
62 class Timer
63 {
64 public:
65     Timer() : beg_(clock_::now()) {}
66     void start() { beg_ = clock_::now(); }
67     double elapsed() const {
68         return std::chrono::duration_cast<second_>
69             (clock_::now() - beg_).count(); }
70
71 private:
72     typedef std::chrono::high_resolution_clock clock_;
73     typedef std::chrono::duration<double, std::ratio<1> > second_;
74     std::chrono::time_point<clock_> beg_;
75 };
76
77 Timer gTimer;
78
79 // Armadillo documentation is available at:
80 // http://arma.sourceforge.net/docs.html
81
82 float* readENVI(const char* filename, float* pData = nullptr)
83 {
84     std::ifstream file(filename, std::ios::binary);
85     if (!file.good())
86     {
87         std::cout << "Failed_to_open_" << filename << std::endl;
88         std::terminate();

```

```

89     }
90
91     float* data;
92     if (pData)
93     {
94         data = pData;
95     }
96     else
97     {
98         data = new float[CUBE_SIZE];
99     }
100    file.seekg(0, std::ios::beg);
101    file.read((char*)data, CUBE_SIZE * sizeof(float));
102    file.close();
103
104    return data;
105 }
106
107 char* gBMP24Header;
108 int gBMP24HeaderSize;
109 char* gBMP8Header;
110 int gBMP8HeaderSize;
111
112 void initBMPHeaders()
113 {
114     const char* filename24 =
115         "/Users/markus/gradu/programming/results/smurf/normal_map_64.bmp";
116     std::ifstream file24(filename24, std::ios::binary);
117
118     if (!file24.good())
119     {
120         std::cout << "Failed_to_open_" << filename24 << std::endl;
121         std::terminate();
122     }
123
124     file24.seekg(10);
125     file24.read((char*)&gBMP24HeaderSize, 4);
126     gBMP24Header = new char[gBMP24HeaderSize];
127     file24.seekg(0, std::ios::beg);
128     file24.read(gBMP24Header, gBMP24HeaderSize);
129     file24.close();
130
131     const char* filename8 =
132         "/Users/markus/gradu/programming/results/smurf/albedo_map_64.bmp";
133     std::ifstream file8(filename8, std::ios::binary);
134
135     if (!file8.good())

```

```

136     {
137         std::cout << "Failed_to_open_" << filename8 << std::endl;
138         std::terminate();
139     }
140
141     file8.seekg(10);
142     file8.read((char*)&gBMP8HeaderSize, 4);
143     gBMP8Header = new char[gBMP8HeaderSize];
144     file8.seekg(0, std::ios::beg);
145     file8.read(gBMP8Header, gBMP8HeaderSize);
146     file8.close();
147
148 }
149
150 void writeBandTo8BitBMP(float* pSrc, const char* filename)
151 {
152     std::ofstream file(filename, std::ios::out | std::ios::app | std::ios::binary);
153     if (!file.good())
154     {
155         std::cout << "Failed_to_open_" << filename << std::endl;
156         std::terminate();
157     }
158
159     byte* pDst = new byte[BAND_SIZE];
160
161     for (int x = 0; x < WIDTH; ++x)
162     {
163         for (int y = 0; y < HEIGHT; ++y)
164         {
165             int srcIdx = (HEIGHT - 1 - y) * WIDTH + x;
166             int dstIdx = y * WIDTH + x;
167             pDst[dstIdx] = fmin(pSrc[srcIdx], 1.0f) * 255;
168         }
169     }
170     file.write(gBMP8Header, gBMP8HeaderSize);
171     file.write((char*)pDst, BAND_SIZE);
172     file.close();
173 }
174
175 void writeBandTo24BitBMP(Vec3* pSrc, const char* filename)
176 {
177     std::ofstream file(filename, std::ios::out | std::ios::app | std::ios::binary);
178     if (!file.good())
179     {
180         std::cout << "Failed_to_open_" << filename << std::endl;
181         std::terminate();
182     }

```



```

183
184 byte* pDst = new byte[BAND_SIZE * 3];
185
186 for (int x = 0; x < WIDTH; ++x)
187 {
188     for (int y = 0; y < HEIGHT; ++y)
189     {
190         int srcIdx = (HEIGHT - 1 - y) * WIDTH + x;
191         int dstIdx = y * WIDTH + x;
192         pDst[dstIdx * 3 + 0] = fmin(pSrc[srcIdx].z, 1.0f) * 255;
193         pDst[dstIdx * 3 + 1] = fmin(pSrc[srcIdx].y, 1.0f) * 255;
194         pDst[dstIdx * 3 + 2] = fmin(pSrc[srcIdx].x, 1.0f) * 255;
195     }
196 }
197 file.write(gBMP24Header, gBMP24HeaderSize);
198 file.write((char*)pDst, BAND_SIZE * 3);
199 file.close();
200 }
201
202 void writeBandToFloatTexture(void* pSrc, const char* filename, int componentCount)
203 {
204     std::ofstream file(filename, std::ios::out | std::ios::app | std::ios::binary);
205     if (!file.good())
206     {
207         std::cout << "Failed_to_open_" << filename << std::endl;
208         std::terminate();
209     }
210
211     file.write((char*)pSrc, BAND_SIZE * componentCount * sizeof(float));
212     file.close();
213 }
214
215 void saveRawNormalMaps()
216 {
217     std::ofstream file(normalMapsFile, std::ios::out | std::ios::app | std::ios::binary);
218     if (!file.good())
219     {
220         std::cout << "Failed_to_open_" << normalMapsFile << std::endl;
221         std::terminate();
222     }
223
224     for (int band = 0; band < BAND_COUNT; ++band)
225     {
226         file.write((char*)normalMaps[band], BAND_SIZE * sizeof(Vec3));
227     }
228     file.close();
229 }

```

```

230
231 void saveRawAlbedoMaps ()
232 {
233     std::ofstream file(albedoMapsFile, std::ios::out | std::ios::app | std::ios::binary);
234     if (!file.good())
235     {
236         std::cout << "Failed_to_open_" << albedoMapsFile << std::endl;
237         std::terminate();
238     }
239
240     for (int band = 0; band < BAND_COUNT; ++band)
241     {
242         file.write((char*)albedoMaps.slice(band).memptr(), BAND_SIZE * sizeof(float));
243     }
244     file.close();
245 }
246
247 void loadRawNormalMaps ()
248 {
249     std::ifstream file(normalMapsFile, std::ios::binary);
250
251     if (!file.good())
252     {
253         std::cout << "Failed_to_open_" << normalMapsFile << std::endl;
254         std::terminate();
255     }
256
257     file.seekg(0, std::ios::beg);
258
259     for (int band = 0; band < BAND_COUNT; ++band)
260     {
261         normalMaps[band] = new Vec3[BAND_SIZE];
262         file.read((char*)normalMaps[band], BAND_SIZE * sizeof(Vec3));
263     }
264     file.close();
265 }
266
267 void loadRawAlbedoMaps ()
268 {
269     std::ifstream file(albedoMapsFile, std::ios::binary);
270
271     if (!file.good())
272     {
273         std::cout << "Failed_to_open_" << albedoMapsFile << std::endl;
274         std::terminate();
275     }
276

```

```

277     file.seekg(0, std::ios::beg);
278
279     for (int band = 0; band < BAND_COUNT; ++band)
280     {
281         file.read((char*)albedoMaps.slice(band).memptr(), BAND_SIZE * sizeof(float));
282     }
283     file.close();
284 }
285
286 void calculateAlbedosAndNormals()
287 {
288     fvec L1(gL1, 3, false, true);
289     fvec L2(gL2, 3, false, true);
290     fvec L3(gL3, 3, false, true);
291     fvec zAxis(gZaxis, 3, false, true);
292
293     // North east
294     float* radData1 =
295         //readENVI("/Users/markus/gradu/programming/data/smurf/float/column_major/NE-
Smurf_RAD.dat");
296         readENVI("/Users/markus/gradu/programming/data/cyprus/float/column_major/NE-
Cyprus_RAD.dat");
297         //readENVI("/Users/markus/gradu/programming/data/lego/float/column_major/NE-
Lego_RAD.dat");
298     // float* radData1 =
299         //readENVI("/Users/markus/gradu/programming/data/smurf/control/NE-Smurf_RAD.dat");
300     fcube reflectance1(radData1, HEIGHT, WIDTH, BAND_COUNT, false, true);
301     float* wrData =
302         readENVI("/Users/markus/gradu/programming/data/wr/float/column_major/NE-wr_RAD.dat"
);
303     // float* wrData =
304         //readENVI("/Users/markus/gradu/programming/data/wr/control/NE-wr_RAD.dat");
305     fcube wr(wrData, HEIGHT, WIDTH, BAND_COUNT, false, true);
306     wr /= dot(L1, zAxis);
307     gTimer.start();
308     reflectance1 /= wr;
309     printf("It_took_%f_seconds_to_divide_by_E\n", gTimer.elapsed());
310
311     // South
312     float* radData2 =
313         //readENVI("/Users/markus/gradu/programming/data/smurf/float/column_major/S-
Smurf_RAD.dat");
314         readENVI("/Users/markus/gradu/programming/data/cyprus/float/column_major/S-
Cyprus_RAD.dat");
315         //readENVI("/Users/markus/gradu/programming/data/lego/float/column_major/S-Lego_RAD
.dat");
316     // float* radData2 =

```

```

317     //readENVI("/Users/markus/gradu/programming/data/smurf/control/S-Smurf_RAD.dat");
318     fcube reflectance2(radData2, HEIGHT, WIDTH, BAND_COUNT, false, true);
319     readENVI("/Users/markus/gradu/programming/data/wr/float/column_major/S-wr_RAD.dat",
320             wrData);
321     //readENVI("/Users/markus/gradu/programming/data/wr/control/S-wr_RAD.dat", wrData);
322     wr /= dot(L2, zAxis);
323     reflectance2 /= wr;
324
325     // North west
326     float* radData3 =
327         //readENVI("/Users/markus/gradu/programming/data/smurf/float/column_major/NW-
328         Smurf_RAD.dat");
329         readENVI("/Users/markus/gradu/programming/data/cyprus/float/column_major/NW-
330         Cyprus_RAD.dat");
331         //readENVI("/Users/markus/gradu/programming/data/lego/float/column_major/NW-
332         Lego_RAD.dat");
333         //float* radData3 =
334         //readENVI("/Users/markus/gradu/programming/data/smurf/control/NW-Smurf_RAD.dat");
335         fcube reflectance3(radData3, HEIGHT, WIDTH, BAND_COUNT, false, true);
336         readENVI("/Users/markus/gradu/programming/data/wr/float/column_major/NW-wr_RAD.dat",
337                 wrData);
338         //readENVI("/Users/markus/gradu/programming/data/wr/control/NW-wr_RAD.dat", wrData);
339         wr /= dot(L3, zAxis);
340         reflectance3 /= wr;
341         delete [] wrData;
342
343     for (int band = 0; band < BAND_COUNT; ++band)
344     {
345         normalMaps[band] = new Vec3[BAND_SIZE];
346     }
347
348     fmat L(gLightDirections, LIGHT_COUNT, DIMENSION_COUNT, false, true);
349     fmat I(LIGHT_COUNT, BAND_COUNT);
350     printf("Start_photometric_stereo!\n");
351     gTimer.start();
352     for (int x = 0; x < WIDTH; ++x)
353     {
354         for (int y = 0; y < HEIGHT; ++y)
355         {
356             I.row(0) = (frowvec) reflectance1.tube(y, x);
357             I.row(1) = (frowvec) reflectance2.tube(y, x);
358             I.row(2) = (frowvec) reflectance3.tube(y, x);
359
360             fmat G = solve(L, I);
361
362             int band = 0;
363             G.each_col([&](fcolvec& columnVec) {

```

```

359         float albedo = norm(columnVec);
360         columnVec /= albedo;
361         columnVec += 1.0;
362         columnVec *= 0.5;
363         normalMaps[band][WIDTH * y + x] = *(Vec3*)columnVec.memptr();
364         albedoMaps(y, x, band) = albedo;
365         band++;
366     });
367 }
368 }
369 printf("It took %f seconds to complete the photometric stereo\n", gTimer.elapsed());
370
371 delete [] radData1;
372 delete [] radData2;
373 delete [] radData3;
374
375 saveRawNormalMaps();
376 saveRawAlbedoMaps();
377 }
378
379 void writeAlbedosToFiles()
380 {
381     for (int band = 0; band < BAND_COUNT; ++band)
382     {
383         char albedoFile[200];
384         fmat albedoMap = trans(albedoMaps.slice(band));
385 #ifdef WRITE_FLOAT_TEXTURES
386         // sprintf(albedoFile, "/Users/markus/gradu/programming/results/smurf/cpp_float/
albedo_map_%d.float", band + 1);
387         sprintf(albedoFile, "/Users/markus/gradu/programming/results/cyprus/cpp_float/
albedo_map_%d.float", band + 1);
388         // sprintf(albedoFile, "/Users/markus/gradu/programming/results/lego/cpp_float/
albedo_map_%d.float", band + 1);
389         // sprintf(albedoFile, "/Users/markus/gradu/programming/results/smurf/control/
albedo_map_%d.float", band + 1);
390         writeBandToFloatTexture(albedoMap.memptr(), albedoFile, 1);
391 #else
392         sprintf(albedoFile, "/Users/markus/gradu/programming/results/smurf/cpp_float/
albedo_map_%d.bmp", band + 1);
393         // sprintf(albedoFile, "/Users/markus/gradu/programming/results/smurf/control/
albedo_map_%d.bmp", band + 1);
394         writeBandTo8BitBMP(albedoMap.memptr(), albedoFile);
395 #endif
396     }
397 }
398
399 void writeNormalsToFiles()

```

```

400 {
401     for (int band = 0; band < BAND_COUNT; ++band)
402     {
403         char normalFile[200];
404 #ifdef WRITE_FLOAT_TEXTURES
405         // sprintf(normalFile, "/Users/markus/gradu/programming/results/smurf/cpp_float/
normal_map_%d.float", band + 1);
406         sprintf(normalFile, "/Users/markus/gradu/programming/results/cyprus/cpp_float/
normal_map_%d.float", band + 1);
407         // sprintf(normalFile, "/Users/markus/gradu/programming/results/lego/cpp_float/
normal_map_%d.float", band + 1);
408         // sprintf(normalFile, "/Users/markus/gradu/programming/results/smurf/control/
normal_map_%d.float", band + 1);
409         writeBandToFloatTexture(normalMaps[band], normalFile, 3);
410 #else
411         sprintf(normalFile, "/Users/markus/gradu/programming/results/smurf/cpp_float/
normal_map_%d.bmp", band + 1);
412         // sprintf(normalFile, "/Users/markus/gradu/programming/results/smurf/control/
normal_map_%d.bmp", band + 1);
413         writeBandTo24BitBMP(normalMaps[band], normalFile);
414 #endif
415     }
416 }
417
418 void calculateAndWriteDepthMaps()
419 {
420     // Calculate depths
421     fcolvec signs = ones<fcolvec>(2 * BAND_SIZE);
422     for (int i = 1; i < 2 * BAND_SIZE; i += 2)
423     {
424         signs(i) = -1; // Positive y points up but we move down
425     }
426     // Left steps
427     for (int i = 1; i <= HEIGHT; ++i)
428     {
429         signs(i * 2 * WIDTH - 2) = -1;
430     }
431     // Up steps
432     for (int i = 0; i < WIDTH - 1; ++i)
433     {
434         signs((BAND_SIZE - WIDTH + 1) * 2 + 2 * i - 1) = 1;
435     }
436
437     sp_fmat Mt; // Transposed M
438     viennacl::compressed_matrix<float> vclMtM; // Mt * M;
439     {
440         int rows = 2 * BAND_SIZE;

```

```

441     int cols = BAND_SIZE;
442     int value_count = 2 * rows - 1;
443     fcolvec values = ones<fcolvec>(value_count);
444     values.rows(2 * BAND_SIZE, value_count - 1) *= -1;
445     umat locations(2, value_count);
446
447     // Positives
448     for (int i = 0; i < BAND_SIZE; ++i)
449     {
450         // x
451         locations(0, 2 * i) = 2 * i;
452         locations(1, 2 * i) = i;
453         // y
454         locations(0, 2 * i + 1) = 2 * i + 1;
455         locations(1, 2 * i + 1) = i;
456     }
457     // Negatives
458     for (int i = 0; i < BAND_SIZE; ++i)
459     {
460         // x
461         locations(0, 2 * BAND_SIZE + 2 * i) = 2 * i;
462         if (signs(2 * i) == 1)
463         {
464             locations(1, 2 * BAND_SIZE + 2 * i) = i + 1; // Right step
465         }
466         else
467         {
468             locations(1, 2 * BAND_SIZE + 2 * i) = i - 1; // Left step
469         }
470         // y
471         if (i != BAND_SIZE - 1) // Down from the bottom right corner z = 0
472         {
473             locations(0, 2 * BAND_SIZE + 2 * i + 1) = 2 * i + 1;
474             if (signs(2 * i + 1) == -1)
475             {
476                 locations(1, 2 * BAND_SIZE + 2 * i + 1) = i + WIDTH; // Down step
477             }
478             else
479             {
480                 locations(1, 2 * BAND_SIZE + 2 * i + 1) = i - WIDTH; // Up step
481             }
482         }
483     }
484
485     sp_fmat M(locations, values, rows, cols, true, false);
486     Mt = trans(M);
487     sp_fmat MtM = Mt * M;

```

```

488         viennacl::copy(MtM, vclMtM);
489     }
490
491
492     // configuration of preconditioner:
493     viennacl::linalg::chow_patel_tag chow_patel_ichol_config;
494     chow_patel_ichol_config.sweeps(3); // three nonlinear sweeps
495     chow_patel_ichol_config.jacobi_iters(2); // two Jacobi iterations per triangular 'solve
496     ' Rx=r
497     // create and compute preconditioner:
498     viennacl::linalg::chow_patel_icc_precond< viennacl::compressed_matrix<float> >
499     chow_patel_ichol(vclMtM, chow_patel_ichol_config);
500
501     for (int band = 0; band < BAND_COUNT; ++band)
502     {
503         printf("Started_calculating_depth_map_%d\n", band + 1);
504         gTimer.start();
505         fcolvec n(2 * BAND_SIZE); // n_x and n_y divided by n_z
506         for (int i = 0; i < BAND_SIZE; ++i)
507         {
508             Vec3 normal = normalMaps[band][i];
509             n(i * 2) = normal.x / normal.z;
510             n(i * 2 + 1) = normal.y / normal.z;
511         }
512         n = signs % n;
513         n = Mt*n;
514         printf("It_took_%f_seconds_to_generate_the_n_and_Mt*n_for_band_%d\n", gTimer.
515         elapsed(), band + 1);
516
517         viennacl::vector<float> vclMtn; // Mt*n on GPU
518         viennacl::copy(n, vclMtn);
519
520         gTimer.start();
521         viennacl::vector<float> vclZ = viennacl::linalg::solve(vclMtM, vclMtn, viennacl::
522         linalg::cg_tag(1e-10, 100), chow_patel_ichol); // GPU
523         printf("It_took_%f_seconds_to_solve_the_depth_system_for_band_%d\n", gTimer.elapsed
524         (), band + 1);
525
526         fcolvec z(BAND_SIZE);
527         viennacl::copy(vclZ, z);
528
529         float minDepth = z.min();
530         float maxDepth = z.max();
531         printf("minz_=%f, _maxZ_=%f", minDepth, maxDepth);
532         z = (z - minDepth) / (maxDepth - minDepth); // Scale to [0,1]
533
534         char depthFile[200];

```



```

530 #ifdef WRITE_FLOAT_TEXTURES
531     // sprintf(depthFile , "/Users/markus/gradu/programming/results/smurf/cpp_float/
depth_map_%d.float" , band + 1);
532     sprintf(depthFile , "/Users/markus/gradu/programming/results/cyprus/cpp_float/
depth_map_%d.float" , band + 1);
533     // sprintf(depthFile , "/Users/markus/gradu/programming/results/lego/cpp_float/
depth_map_%d.float" , band + 1);
534     // sprintf(depthFile , "/Users/markus/gradu/programming/results/smurf/control/
depth_map_%d.float" , band + 1);
535     writeBandToFloatTexture(z.mempr() , depthFile , 1);
536 #else
537     sprintf(depthFile , "/Users/markus/gradu/programming/results/smurf/cpp_float/
depth_map_%d.bmp" , band + 1);
538     // sprintf(depthFile , "/Users/markus/gradu/programming/results/smurf/control/
depth_map_%d.bmp" , band + 1);
539     writeBandTo8BitBMP(z.mempr() , depthFile);
540 #endif
541 }
542 }
543
544 int main(int argc , char** argv)
545 {
546     cout << "Armadillo_ version:_" << arma_version::as_string() << endl;
547
548     initBMPHeaders();
549
550 #ifdef LOAD_NORMALS_FROM_DISK
551     printf("Start_loading_normals\n");
552     loadRawNormalMaps();
553 #else
554     calculateAlbedosAndNormals();
555     printf("Start_writing_normal_and_albedo_maps\n");
556     writeNormalsToFiles();
557     writeAlbedosToFiles();
558 #endif
559
560     delete [] albedoMaps.mempr();
561
562     printf("Start_calculating_depth_maps\n");
563     calculateAndWriteDepthMaps();
564
565     return 0;
566 }

```

G Renderöijän CPU-osuuden lähdekoodi

```
1 #include <stdlib.h>
```

```

2 #include <iostream>
3 #include <fstream>
4 #include <cmath>
5
6 #include <GLUT/glut.h>
7 #include <OpenGL/g13.h>
8
9 #include "Shaders.h"
10 #include "BMPReader.h"
11 #include "SpectrumData.h"
12
13 #define USE_FLOAT_TEXTURES
14 #define USE_SUN_SPECTRUM
15 // #define USE_CONTROL
16
17 #ifdef USE_CONTROL
18 static const int RED_START_BAND = 3;
19 static const int GREEN_START_BAND = 2;
20 static const int BLUE_START_BAND = 1;
21
22 static const int RED_BAND_COUNT = 1;
23 static const int GREEN_BAND_COUNT = 1;
24 static const int BLUE_BAND_COUNT = 1;
25 #else
26 static const int RED_START_BAND = 48;
27 static const int GREEN_START_BAND = 18;
28 static const int BLUE_START_BAND = 1;
29
30 static const int RED_BAND_COUNT = 45;
31 static const int GREEN_BAND_COUNT = 45;
32 static const int BLUE_BAND_COUNT = 38;
33 #endif
34
35 static const char* object = "smurf";
36 // static const char* object = "cyprus";
37 // static const char* object = "lego";
38
39 int gProgramHandle;
40 unsigned int gVaoHandle;
41 unsigned int gVboHandle;
42
43 GLuint gRedTextures;
44 GLuint gGreenTextures;
45 GLuint gBlueTextures;
46
47 float gSpectralSensitivityRed[RED_BAND_COUNT];
48 float gSpectralSensitivityGreen[GREEN_BAND_COUNT];

```

```

49 float gSpectralSensitivityBlue [BLUE_BAND_COUNT];
50
51 float gLightSpectrumRed [RED_BAND_COUNT];
52 float gLightSpectrumGreen [GREEN_BAND_COUNT];
53 float gLightSpectrumBlue [BLUE_BAND_COUNT];
54
55 float calcGaussianWeight(float dist, float sigma)
56 {
57     float weight = 1.0f;
58     if (sigma > 0)
59     {
60         float g = 1.0f / sqrt(2.0f * 3.14159 * sigma * sigma);
61         weight = (g * exp(-(dist * dist) / (2 * sigma * sigma)));
62     }
63     return weight;
64 }
65
66 class Timer
67 {
68 public:
69     Timer() : beg_(clock_::now()) {}
70     void start() { beg_ = clock_::now(); }
71     double elapsed() const {
72         return std::chrono::duration_cast<second_>
73             (clock_::now() - beg_).count(); }
74
75 private:
76     typedef std::chrono::high_resolution_clock clock_;
77     typedef std::chrono::duration<double, std::ratio<1> > second_;
78     std::chrono::time_point<clock_> beg_;
79 };
80
81 Timer gTimer;
82
83 void render()
84 {
85     glColorMask(GL_TRUE, GL_TRUE, GL_TRUE, GL_TRUE);
86     glClear(GL_COLOR_BUFFER_BIT | GL_DEPTH_BUFFER_BIT);
87
88     GLuint lightPosHandle = glGetUniformLocation(gProgramHandle, "lightPos");
89     static float angle = 0.0f;
90     angle += 3.1415927f / 60.0f;
91     if (angle >= 2 * 3.1415927f) angle = 0.0f;
92     static const float r = 20.0f;
93     float x = cos(angle) * r;
94     float y = sin(angle) * r;
95     //glUniform3f(lightPosHandle, 20, 20, -20.0f*sin(angle));

```

```

96     glUniform3f(lightPosHandle , x, y, -10.0f);
97
98     GLuint spectralSensitivityHandle = glGetUniformLocation(gProgramHandle , "
    spectralSensitivity");
99     GLuint lightIrradianceHandle = glGetUniformLocation(gProgramHandle , "lightIrradiance");
100
101     glColorMask(GL_TRUE, GL_FALSE, GL_FALSE, GL_FALSE);
102     glBindTexture(GL_TEXTURE_2D_ARRAY, gRedTextures);
103     glUniform1fv(spectralSensitivityHandle , RED_BAND_COUNT, gSpectralSensitivityRed);
104     glUniform1fv(lightIrradianceHandle , RED_BAND_COUNT, gLightSpectrumRed);
105     glDrawArrays(GL_TRIANGLE_STRIP, 0, 4);
106
107     glColorMask(GL_FALSE, GL_TRUE, GL_FALSE, GL_FALSE);
108     glBindTexture(GL_TEXTURE_2D_ARRAY, gGreenTextures);
109     glUniform1fv(spectralSensitivityHandle , GREEN_BAND_COUNT, gSpectralSensitivityGreen);
110     glUniform1fv(lightIrradianceHandle , GREEN_BAND_COUNT, gLightSpectrumGreen);
111     glDrawArrays(GL_TRIANGLE_STRIP, 0, 4);
112
113     glColorMask(GL_FALSE, GL_FALSE, GL_TRUE, GL_FALSE);
114     glBindTexture(GL_TEXTURE_2D_ARRAY, gBlueTextures);
115     glUniform1fv(spectralSensitivityHandle , BLUE_BAND_COUNT, gSpectralSensitivityBlue);
116     glUniform1fv(lightIrradianceHandle , BLUE_BAND_COUNT, gLightSpectrumBlue);
117     glDrawArrays(GL_TRIANGLE_STRIP, 0, 4);
118
119     glutSwapBuffers();
120
121     printf("It took %f seconds to render a frame\n", gTimer.elapsed());
122     gTimer.start();
123 }
124
125 void initOpenGL(int argc , char **argv)
126 {
127     glutInit(&argc , argv);
128     glutInitDisplayMode(GLUT_3_2_CORE_PROFILE | GLUT_DEPTH | GLUT_DOUBLE | GLUT_RGBA);
129     glutInitWindowPosition(0, 0);
130     glutInitWindowSize(WIDTH, HEIGHT);
131     glutCreateWindow("Hyperspectral_Renderer");
132     glDisable(GL_DEPTH_TEST);
133     glEnable(GL_CULL_FACE);
134     glFrontFace(GL_CW);
135     glClearColor(0, 0, 0, 0);
136
137     // Always use the same shaders
138     gProgramHandle = CreateProgram("VertexShader.glsl", "PixelShader.glsl");
139     glUseProgram(gProgramHandle);
140
141     glPolygonMode(GL_FRONT_AND_BACK, GL_FILL);

```

```

142     glutIdleFunc((void (__cdecl*)(void))glutPostRedisplay);
143     glutDisplayFunc(render);
144     glReadBuffer(GL_LEFT);
145 }
146
147 void createVertexBuffer()
148 {
149     glGenVertexArrays(1, &gVaoHandle);
150     glBindVertexArray(gVaoHandle);
151
152     glGenBuffers(1, &gVboHandle);
153     glBindBuffer(GL_ARRAY_BUFFER, gVboHandle);
154     GLfloat vertexData[] = {
155         // X    Y
156         -1.0f, -1.0f,
157         -1.0f,  1.0f,
158          1.0f, -1.0f,
159          1.0f,  1.0f
160     };
161     glBufferData(GL_ARRAY_BUFFER, sizeof(vertexData), vertexData, GL_STATIC_DRAW);
162     glEnableVertexAttribArray(0);
163     glVertexAttribPointer(0, 2, GL_FLOAT, GL_FALSE, 0, (void*)0);
164 }
165
166 void createTexturesForChannel(GLuint* textureHandle, int startBand, int bandCount)
167 {
168     glGenTextures(1, textureHandle);
169     glBindTexture(GL_TEXTURE_2D_ARRAY, *textureHandle);
170
171     #ifdef USE_FLOAT_TEXTURES
172         glTexImage3D(GL_TEXTURE_2D_ARRAY, 0, GL_RGBA16F,
173                     WIDTH, HEIGHT, bandCount, 0, GL_RGBA, GL_FLOAT, nullptr);
174     #else
175         glTexImage3D(GL_TEXTURE_2D_ARRAY, 0, GL_RGBA,
176                     WIDTH, HEIGHT, bandCount, 0, GL_RGBA, GL_UNSIGNED_BYTE, nullptr);
177     #endif
178
179     char normalFile[200];
180     char albedoFile[200];
181     char depthFile[200];
182
183     for (int band = startBand; band < startBand + bandCount; ++band)
184     {
185         memset(normalFile, 0, sizeof(normalFile));
186         memset(albedoFile, 0, sizeof(albedoFile));
187         memset(depthFile, 0, sizeof(depthFile));
188     }
189     #ifdef USE_FLOAT_TEXTURES

```

```

189 #ifdef USE_CONTROL
190     sprintf(normalFile ,
191             "/Users/markus/gradu/programming/results/%s/control/normal_map_%d.float" ,
192             object , band);
193     sprintf(albedoFile ,
194             "/Users/markus/gradu/programming/results/%s/control/albedo_map_%d.float" ,
195             object , band);
196     sprintf(depthFile ,
197             "/Users/markus/gradu/programming/results/%s/control/depth_map_%d.float" ,
198             object , band);
199 #else
200     sprintf(normalFile ,
201             "/Users/markus/gradu/programming/results/%s/cpp_float/normal_map_%d.float" ,
202             object , band);
203     sprintf(albedoFile ,
204             "/Users/markus/gradu/programming/results/%s/cpp_float/albedo_map_%d.float" ,
205             object , band);
206     sprintf(depthFile ,
207             "/Users/markus/gradu/programming/results/%s/cpp_float/depth_map_%d.float" ,
208             object , band);
209 #endif
210 #else
211     sprintf(normalFile ,
212             "/Users/markus/gradu/programming/results/%s/cpp_float/normal_map_%d.bmp" ,
213             object , band);
214     sprintf(albedoFile ,
215             "/Users/markus/gradu/programming/results/%s/cpp_float/albedo_map_%d.bmp" ,
216             object , band);
217     sprintf(depthFile ,
218             "/Users/markus/gradu/programming/results/%s/depth_map_%d.bmp" ,
219             object , band);
220 #endif
221
222 #ifdef USE_FLOAT_TEXTURES
223     float* normalData = readFloat(normalFile);
224     float* albedoData = readFloat(albedoFile);
225     float* depthData = readFloat(depthFile);
226 #else
227     byte* normalData = readBMP(normalFile);
228     byte* albedoData = readBMP(albedoFile);
229     byte* depthData = readBMP(depthFile);
230 #endif
231
232 #ifdef USE_FLOAT_TEXTURES
233     float* textureData = new float[WIDTH*HEIGHT*4];
234 #else
235     byte* textureData = new byte[WIDTH*HEIGHT*4];

```

```

236 #endif
237
238     for (int normalSrcIdx = 0, albedoSrcIdx = 0, dstIdx = 0;
239         albedoSrcIdx < WIDTH*HEIGHT;
240         normalSrcIdx += 3, albedoSrcIdx++, dstIdx += 4)
241     {
242 #ifdef USE_FLOAT_TEXTURES
243         textureData[dstIdx + 0] = normalData[normalSrcIdx + 0];
244 #else
245         textureData[dstIdx + 0] = normalData[normalSrcIdx + 2];
246 #endif
247         textureData[dstIdx + 1] = normalData[normalSrcIdx + 1];
248         textureData[dstIdx + 2] = albedoData[albedoSrcIdx + 0];
249         textureData[dstIdx + 3] = depthData[albedoSrcIdx + 0];
250     }
251
252 #ifdef USE_FLOAT_TEXTURES
253     glTexSubImage3D(GL_TEXTURE_2D_ARRAY, 0, 0, 0, band - startBand,
254                   WIDTH, HEIGHT, 1, GL_RGBA, GL_FLOAT, textureData);
255 #else
256     glTexSubImage3D(GL_TEXTURE_2D_ARRAY, 0, 0, 0, band - startBand,
257                   WIDTH, HEIGHT, 1, GL_RGBA, GL_UNSIGNED_BYTE, textureData);
258 #endif
259
260     delete [] normalData;
261     delete [] albedoData;
262     delete [] depthData;
263 }
264
265 glTexParameteri(GL_TEXTURE_2D_ARRAY, GL_TEXTURE_MIN_FILTER, GL_NEAREST);
266 glTexParameteri(GL_TEXTURE_2D_ARRAY, GL_TEXTURE_MAG_FILTER, GL_NEAREST);
267 glTexParameteri(GL_TEXTURE_2D_ARRAY, GL_TEXTURE_WRAP_S, GL_CLAMP_TO_EDGE);
268 glTexParameteri(GL_TEXTURE_2D_ARRAY, GL_TEXTURE_WRAP_T, GL_CLAMP_TO_EDGE);
269 }
270
271 void createTextures()
272 {
273     createTexturesForChannel(&gRedTextures, RED_START_BAND, RED_BAND_COUNT);
274     createTexturesForChannel(&gGreenTextures, GREEN_START_BAND, GREEN_BAND_COUNT);
275     createTexturesForChannel(&gBlueTextures, BLUE_START_BAND, BLUE_BAND_COUNT);
276 }
277
278 void initializeSpectralSensitivity()
279 {
280 #ifdef USE_CONTROL
281     gSpectralSensitivityRed[0] = 1.0f;
282     gSpectralSensitivityGreen[0] = 1.0f;

```

```

283     gSpectralSensitivityBlue[0] = 1.0f;
284 #else
285     float sum = 0;
286     for (int i = 0; i < RED_BAND_COUNT; ++i)
287     {
288         float peakWavelength = wavelengths[RED_START_BAND + RED_BAND_COUNT / 2 - 1];
289         float wavelength = wavelengths[i + RED_START_BAND - 1];
290         float nextWavelength = wavelengths[i + RED_START_BAND];
291         float distToNext = nextWavelength - wavelength;
292         float distToPeak = fabsf(wavelength - peakWavelength);
293         gSpectralSensitivityRed[i] = calcGaussianWeight(distToPeak, 20.0f) * distToNext;
294         sum += gSpectralSensitivityRed[i];
295         printf("%d. peak=%f, wavelength=%f, dist=%f, sensitivity=%f\n",
296             i, peakWavelength, wavelength, distToPeak, gSpectralSensitivityRed[i]);
297     }
298     printf("sum=%f\n", sum);
299     sum = 0;
300     for (int i = 0; i < GREEN_BAND_COUNT; ++i)
301     {
302         float peakWavelength = wavelengths[GREEN_START_BAND + GREEN_BAND_COUNT / 2 - 1];
303         float wavelength = wavelengths[i + GREEN_START_BAND - 1];
304         float nextWavelength = wavelengths[i + GREEN_START_BAND];
305         float distToNext = nextWavelength - wavelength;
306         float distToPeak = fabsf(wavelength - peakWavelength);
307         gSpectralSensitivityGreen[i] = calcGaussianWeight(distToPeak, 20.0f) * distToNext;
308         sum += gSpectralSensitivityGreen[i];
309         printf("%d. peak=%f, wavelength=%f, dist=%f, sensitivity=%f\n",
310             i, peakWavelength, wavelength, distToPeak, gSpectralSensitivityGreen[i]);
311     }
312     printf("sum=%f\n", sum);
313     sum = 0;
314     for (int i = 0; i < BLUE_BAND_COUNT; ++i)
315     {
316         float peakWavelength = wavelengths[BLUE_START_BAND + BLUE_BAND_COUNT / 2 - 1];
317         float wavelength = wavelengths[i + BLUE_START_BAND - 1];
318         float nextWavelength = wavelengths[i + BLUE_START_BAND];
319         float distToNext = nextWavelength - wavelength;
320         float distToPeak = fabsf(wavelength - peakWavelength);
321         gSpectralSensitivityBlue[i] = calcGaussianWeight(distToPeak, 18.0f) * distToNext;
322         sum += gSpectralSensitivityBlue[i];
323         printf("%d. peak=%f, wavelength=%f, dist=%f, sensitivity=%f\n",
324             i, peakWavelength, wavelength, distToPeak, gSpectralSensitivityBlue[i]);
325     }
326     printf("sum=%f\n", sum);
327 #endif
328 }
329

```



```

330 void initializeLightSpectrum()
331 {
332 #ifdef USE_SUN_SPECTRUM
333     const float* spectrum = solarSpectrum;
334     float scale = 1.2e-7;
335 #else
336     const float* spectrum = lightBulbSpectrum;
337     float scale = 3.0f / 1.0870e+5;
338 #endif
339
340 #ifdef USE_CONTROL
341     static const int HYPERSPECTRAL_RED_START_BAND = 48;
342     static const int HYPERSPECTRAL_GREEN_START_BAND = 18;
343     static const int HYPERSPECTRAL_BLUE_START_BAND = 1;
344     static const int HYPERSPECTRAL_RED_BAND_COUNT = 45;
345     static const int HYPERSPECTRAL_GREEN_BAND_COUNT = 45;
346     static const int HYPERSPECTRAL_BLUE_BAND_COUNT = 38;
347
348     float spectralSensitivityRed[HYPERSPECTRAL_RED_BAND_COUNT];
349     float spectralSensitivityGreen[HYPERSPECTRAL_GREEN_BAND_COUNT];
350     float spectralSensitivityBlue[HYPERSPECTRAL_BLUE_BAND_COUNT];
351
352     float sum = 0;
353     for (int i = 0; i < HYPERSPECTRAL_RED_BAND_COUNT; ++i)
354     {
355         float peakWavelength = wavelengths[HYPERSPECTRAL_RED_START_BAND +
HYPERSPECTRAL_RED_BAND_COUNT / 2 - 1];
356         float wavelength = wavelengths[i + HYPERSPECTRAL_RED_START_BAND - 1];
357         float nextWavelength = wavelengths[i + HYPERSPECTRAL_RED_START_BAND];
358         float distToNext = nextWavelength - wavelength;
359         float distToPeak = fabsf(wavelength - peakWavelength);
360         spectralSensitivityRed[i] = calcGaussianWeight(distToPeak, 20.0f) * distToNext;
361         sum += spectralSensitivityRed[i];
362         printf("control: %d. peak = %f, wavelength = %f, dist = %f, sensitivity = %f\n",
363             i, peakWavelength, wavelength, distToPeak, spectralSensitivityRed[i]);
364     }
365     printf("sum = %f\n", sum);
366     sum = 0;
367     for (int i = 0; i < HYPERSPECTRAL_GREEN_BAND_COUNT; ++i)
368     {
369         float peakWavelength = wavelengths[HYPERSPECTRAL_GREEN_START_BAND +
HYPERSPECTRAL_GREEN_BAND_COUNT / 2 - 1];
370         float wavelength = wavelengths[i + HYPERSPECTRAL_GREEN_START_BAND - 1];
371         float nextWavelength = wavelengths[i + HYPERSPECTRAL_GREEN_START_BAND];
372         float distToNext = nextWavelength - wavelength;
373         float distToPeak = fabsf(wavelength - peakWavelength);
374         spectralSensitivityGreen[i] = calcGaussianWeight(distToPeak, 20.0f) * distToNext;

```

```

375     sum += spectralSensitivityGreen[i];
376     printf("control: %d. peak = %f, wavelength = %f, dist = %f, sensitivity = %f\n",
377           i, peakWavelength, wavelength, distToPeak, spectralSensitivityGreen[i]);
378 }
379 printf("sum = %f\n", sum);
380 sum = 0;
381 for (int i = 0; i < HYPERSPECTRAL_BLUE_BAND_COUNT; ++i)
382 {
383     float peakWavelength = wavelengths[HYPERSPECTRAL_BLUE_START_BAND +
HYPERSPECTRAL_BLUE_BAND_COUNT / 2 - 1];
384     float wavelength = wavelengths[i + HYPERSPECTRAL_BLUE_START_BAND - 1];
385     float nextWavelength = wavelengths[i + HYPERSPECTRAL_BLUE_START_BAND];
386     float distToNext = nextWavelength - wavelength;
387     float distToPeak = fabsf(wavelength - peakWavelength);
388     spectralSensitivityBlue[i] = calcGaussianWeight(distToPeak, 18.0f) * distToNext;
389     sum += spectralSensitivityBlue[i];
390     printf("control: %d. peak = %f, wavelength = %f, dist = %f, sensitivity = %f\n",
391           i, peakWavelength, wavelength, distToPeak, spectralSensitivityBlue[i]);
392 }
393 printf("sum = %f\n", sum);
394
395 gLightSpectrumRed[0] = 0;
396 for (int i = 0; i < HYPERSPECTRAL_RED_BAND_COUNT; ++i)
397     gLightSpectrumRed[0] += spectrum[i] * scale * spectralSensitivityRed[i];
398 gLightSpectrumGreen[0] = 0;
399 for (int i = 0; i < HYPERSPECTRAL_GREEN_BAND_COUNT; ++i)
400     gLightSpectrumGreen[0] += spectrum[i] * scale * spectralSensitivityGreen[i];
401 gLightSpectrumBlue[0] = 0;
402 for (int i = 0; i < HYPERSPECTRAL_BLUE_BAND_COUNT; ++i)
403     gLightSpectrumBlue[0] += spectrum[i] * scale * spectralSensitivityBlue[i];
404 #else
405 for (int i = 0; i < RED_BAND_COUNT; ++i)
406 {
407     gLightSpectrumRed[i] = spectrum[i + RED_START_BAND - 1] * scale;
408 }
409 for (int i = 0; i < GREEN_BAND_COUNT; ++i)
410 {
411     gLightSpectrumGreen[i] = spectrum[i + GREEN_START_BAND - 1] * scale;
412 }
413 for (int i = 0; i < BLUE_BAND_COUNT; ++i)
414 {
415     gLightSpectrumBlue[i] = spectrum[i + BLUE_START_BAND - 1] * scale;
416 }
417 #endif
418 }
419
420 int main (int argc, char **argv)

```

```

421 {
422     initOpenGL(argc, argv);
423
424     createVertexBuffer();
425
426     createTextures();
427
428     initializeSpectralSensitivity();
429
430     initializeLightSpectrum();
431
432     glutMainLoop();
433
434     return 0;
435 }

```

H Renderöijän verteksivarjostinohjelma

```

1 #version 410 core
2
3 #define USE_FLOAT_TEXTURES
4
5 in vec2 pos;
6
7 out vec2 pixelPos;
8 out vec2 texCoord;
9
10 void main()
11 {
12     texCoord = (pos + 1.0f) * 0.5f;
13 #ifdef USE_FLOAT_TEXTURES
14     texCoord.y = -texCoord.y + 1.0f;
15 #endif
16     pixelPos = pos;
17     gl_Position = vec4(pos, 0.0, 1.0f);
18 }

```

I Renderöijän kuvapistevarjostinohjelma

```

1 #version 410 core
2
3 uniform sampler2DArray sampler;
4 uniform vec3 lightPos;
5 uniform float lightIrradiance[45];
6 uniform float spectralSensitivity[45];
7
8 in vec2 texCoord;

```

```

9 in vec2 pixelPos;
10
11 out vec4 color;
12
13 const float WIDTH = 1920.0f;
14 const float HEIGHT = 1200.0f;
15 const float DIST_TO_CAM = 29.0f; // in centimeters
16 const float PI = 3.1415927f;
17 const float DEGS_TO_RADS = 0.0174533f;
18 const float VERTICAL_FOV = 15.8f * DEGS_TO_RADS;
19 const float HORIZONTAL_FOV = 20.9f * DEGS_TO_RADS;
20 const vec2 FOV = vec2(HORIZONTAL_FOV, VERTICAL_FOV);
21 const vec2 TAN_FOV_PER_2 = tan(FOV / 2.0f);
22 const float PIXEL_IN_CENTIMETERS = DIST_TO_CAM * TAN_FOV_PER_2.x * 2.0f / WIDTH;
23 const float DEPTH_SCALE = 200.0f;
24
25 void main(void)
26 {
27     color = vec4(0, 0, 0, 0);
28     int bandCount = textureSize(sampler, 0).z;
29
30     for (int band = 0; band < bandCount; ++band)
31     {
32         vec4 data = texture(sampler, vec3(texCoord, band));
33
34         vec3 N = vec3(0, 0, 0);
35         N.xy = data.rg * 2.0f - 1.0f;
36         N.z = sqrt(1 - dot(N.xy, N.xy));
37
38         float albedo = data.b;
39         float depth = data.a * DEPTH_SCALE;
40
41         float wsZ = -DIST_TO_CAM + depth * PIXEL_IN_CENTIMETERS;
42         vec3 wsPos = vec3(pixelPos * TAN_FOV_PER_2 * abs(wsZ), wsZ);
43
44         vec3 L = normalize(lightPos - wsPos);
45
46         float E_0 = lightIrradiance[band];
47
48         float radiance = albedo / PI * E_0 * dot(L, N) * spectralSensitivity[band];
49
50         color += vec4(radiance, radiance, radiance, 1.0f);
51     }
52 }

```